



Universidad Nacional Autónoma de México

Facultad de Química

Búsqueda y Análisis de Funciones de
Error en Métodos Numéricos.

120

T E S I S

Que para obtener el título de:

INGENIERO QUÍMICO

p r e s e n t a :

ANTONIO FRANCISCO DIAZ GARCIA



UNAM – Dirección General de Bibliotecas

Tesis Digitales
Restricciones de uso

DERECHOS RESERVADOS ©
PROHIBIDA SU REPRODUCCIÓN TOTAL O PARCIAL

Todo el material contenido en esta tesis está protegido por la Ley Federal del Derecho de Autor (LFDA) de los Estados Unidos Mexicanos (México).

El uso de imágenes, fragmentos de videos, y demás material que sea objeto de protección de los derechos de autor, será exclusivamente para fines educativos e informativos y deberá citar la fuente donde la obtuvo mencionando el autor o autores. Cualquier uso distinto como el lucro, reproducción, edición o modificación, será perseguido y sancionado por el respectivo titular de los Derechos de Autor.

CLAS Tesi
AÑO 1996
FECHA
PROG H1
119



QUIMICA

UNIVERSIDAD NACIONAL AUTONOMA DE MEXICO

FACULTAD DE QUIMICA

BUSQUEDA Y ANALISIS DE FUNCIONES
DE ERROR EN METODOS NUMERICOS

ANTONIO FRANCISCO DIAZ GARCIA

1976

JURADO ASIGNADO ORIGINALMENTE
SEGUN EL TEMA.

PRSIDENTE: PROF. HECTOR SIERRA ELIZONDO
V O C A L : PROF. JORGE LUDLOW LANDERO
SECRETARIO: PROF. JAIME NORIEGA BENECHEA
1er.SUPLENTE: PROF. ENRICUE VELASCO PUEDA
2do.SUPLENTE: PROF. ALEJANDRO RAMIREZ GREYCUCK

SITIO DONDE SE DESARROLLO EL TEMA:

DIVISION DE ESTUDIOS SUPERIORES
DE LA FACULTAD DE QUIMICA

NOMBRE COMPLETO Y FIRMA DEL SUSTENTANTE:
J. Diaz F.G.
AMONIO FRANCISCO DIAZ GARCIA

NOMBRE COMPLETO Y FIRMA DEL ASESOR DEL
TEMA:
J. Noriega
PROF. JAIME NORIEGA BENECHEA

BUSQUEDA Y ANALISIS DE FUNCIONES
DE ERROR EN METODOS NUMERICOS.

ANTONIO FRANCISCO DIAZ GARCIA.

INDICE.

I.-	Introducción.	1
II.-	Tipos de Error.	7
III.-	Funciones de Error para la Fórmula de Newton-Cotes.	16
IV.-	Funciones de Error para métodos de un paso y pasos múltiples.	28
V.-	Soluciones Analíticas.	43
VI.-	Resultados y Conclusiones.	49
VII.-	Bibliografía.	60

Apéndice I

Programa de Cálculo.

Apéndice II

Resultados del Programa.

INTRODUCCION.

INTRODUCCION:

Con frecuencia, la solución de un problema de Ingeniería Química se obtiene a partir de la resolución de un modelo matemático que pretende representar con tanta precisión como es deseable a un conjunto de fenómenos físicos o químicos. Tal modelo a veces corresponde a una o varias ecuaciones diferenciales (generalmente de segundo orden) y en muchas ocasiones su resolución no puede ser obtenida comodamente por el camino analítico en virtud de que gran parte de estos problemas no tienen soluciones analíticas sencillas conocidas.

Por lo anterior nos avocamos al problema de analizar la alternativa (aplicación de soluciones numéricas), desde el punto de vista de la precisión de la respuesta que para un esfuerzo dado podemos obtener. El compromiso en cuanto a la precisión se hará a cambio de obtener una solución práctica, la cual solo cumplirá con esta propiedad si en alguna forma se puede conocer su confiabilidad, es decir, si existe algún criterio eficiente para estimar el error que se introduce al aplicar el método numérico.

Algunos ejemplos son:

1.- La ecuación diferencial

$$\frac{d^2X}{dz^2} - N_{Pe} \frac{dX}{dz} + N_{Pe} W X = 0$$

que corresponde al modelo de un reactor empacado tubular, isotérmico, en la cual N_{Pe} es el número de Peclét, z es el diámetro adimensional de la partícula de catalizador y W es el término círtico pseudo homogéneo.

2.- La ecuación

$$\frac{d^2C}{d\tau^2} + 2 \frac{dC}{\tau d\tau} - \frac{\phi_s^2}{R^2} C = 0$$

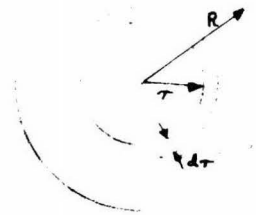
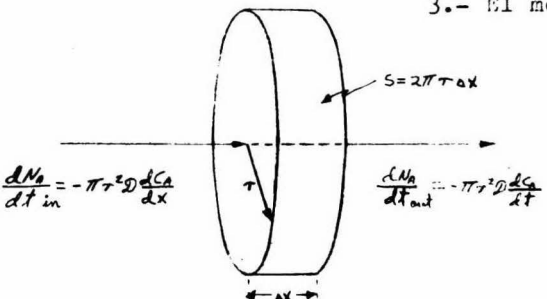


FIGURA No. 1.

que se deriva del modelo esférico de difusión para partículas de catalizador y en la cual C es la concentración del reactivo, ϕ_s es el módulo de difusión de Thiele, R es el radio de la partícula de catalizador, τ es la distancia del centro de la partícula al lugar donde se efectue el balance de materia. (2), (34).

3.- El modelo de un poro cilíndrico ideal con una reacción de primer orden en la superficie interna del poro puede representarse por la ecuación,

$$\frac{d^2C_A}{dx^2} - 2 \frac{k_s}{D\tau} C_A = 0$$



FIGUR/ No. 2

k_s es la constante cinética de la reacción y D la constante de difusión. La variable X es la longitud del poro (3).

4.- Para un modelo de secado en el período de decrecimiento en la rapidez de secado, de partículas esféricas, se aplica la ecuación.

$$\frac{\partial Q_m}{\partial t} = D_m \left(\frac{\partial^2 Q_m}{\partial \tau^2} + \frac{2}{\tau} \frac{\partial Q_m}{\partial \tau} \right)$$

donde t es la variable tiempo, τ la variable posición, Q_m es la mesa que se transfiere, D_m la constante de difusividad. (5)

5.- El modelo para la difusión de un fluido en estado gaseoso se representa por la ecuación

$$\frac{\partial C_A}{\partial t} = \frac{D_r}{\tau} \frac{\partial}{\partial \tau} \left(\tau \frac{\partial C_A}{\partial \tau} \right) + D_a \frac{\partial^2 C_A}{\partial l^2}$$

donde C_A es la concentración, t el tiempo, τ el radio, l la longitud, D_r la constante de difusión radial, D_a la constante de difusión axial.

6.- Las ecuaciones que se derivan de la teoría de la capa de separación para un flujo en dos direcciones sobre una placa son:

$$u \frac{\partial u}{\partial x} + v \frac{\partial u}{\partial y} = - \frac{1}{\rho} \frac{dp}{dx} + \sqrt{\frac{\partial^2 u}{\partial y^2}}$$

$$\frac{\partial u}{\partial x} + \frac{\partial v}{\partial y} = 0$$

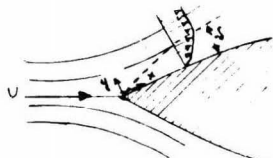


FIGURA No. 3.

en las cuales u y v son las componentes de la velocidad u en dos direcciones, ρ la densidad, $\sqrt{\nu}$ la viscosidad cinemática y p la presión. (6)

7.- El modelo para dos direcciones de un reactor catalítico tubular proporciona las ecuaciones diferenciales simultáneas siguientes:

para el balance de energía:

$$\frac{\partial t}{\partial z} + \frac{R_c}{6C_p} \left(\frac{1}{r} \frac{\partial r}{\partial t} + \frac{\partial^2 r}{\partial t^2} \right) - \frac{T_p \rho \Delta H}{6C_p} = 0$$

para el balance de masa:

$$\frac{\partial X}{\partial z} - \frac{dp}{P_{ER}} \left(\frac{1}{r} \frac{\partial X}{\partial r} + \frac{\partial^2 X}{\partial r^2} \right) - \frac{T_p \rho \bar{M}}{6 \gamma_0} = 0$$

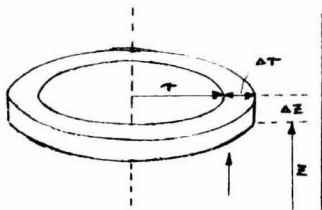


FIGURA No. 4.

donde T_p es la velocidad de reacción global por unidad de masa de catalizador, ρ es la densidad del catalizador, u la velocidad superficial en la dirección axial, r es el radio del elemento anular, X es la concentración,

$(\frac{G}{M})\gamma_0$ es la velocidad de reacción por unidad de área de reactor, \bar{M} el peso molecular promedio, P_{ER} y P_{EL} los números de Peclét en dirección radial y axial definidos por las ecuaciones

$$P_{ER} = \frac{udP}{D_r} \quad P_{EL} = \frac{udP}{D_L}$$

donde D_r es la difusividad radial, D_L la difusividad axial, z es el espesor del elemento anular, ΔH la entalpía de reacción, C_p la capacidad calorífica y R_c la constante cinética. (4).

8.-

$$\frac{dc}{dx} = \frac{D}{V} \left(\frac{\partial^2 c}{\partial r^2} + \frac{1}{r} \frac{\partial c}{\partial r} \right)$$

Es la ecuación que representa el balance de materiales para una reacción que ocurre en la superficie del

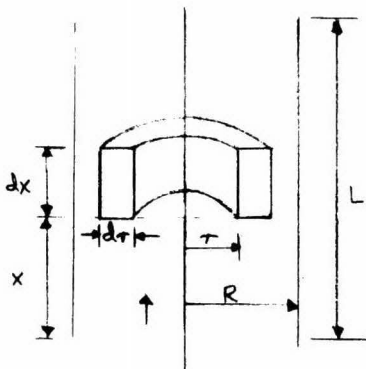


FIGURA N°. 5

Para resolver las ecuaciones anteriores lo que se hace en la práctica es emplear algún método numérico (sí se conocen las condiciones en la frontera o las condiciones límite), pues los coeficientes de estas ecuaciones pueden ser variables y están definidos por funciones con las cuales se dificulta el obtener una solución analítica.

Los coeficientes variables de las ecuaciones anteriores pueden aproximarse a la ecuación de una parábola si consideramos que de su naturaleza se puede decir que los límites de la ecuación son cercanos y en el rango de integración los coeficientes sean continuos, aplicando un criterio semejante al de la regla de Simpson, con lo cual podríamos representar las ecuaciones antes mencionadas en la forma:

$$y'' + B(Bc+x)^{wl} y' + C(Cc+x)^{wll} y = 0$$

de la cual podemos hacer las siguientes consideraciones:

Si $wl=wll=0$ la ecuación se convierte en una ecuación diferencial de segundo orden con coeficientes constantes, de la que es fácil comparar su solución por algún método numérico con su correspondiente solución analítica, la cual no presenta dificultades para ser obtenida.

catalizador dentro de un tubo de radio R y largo L en un proceso isotérmico, para un gas que pase a velocidad V y sigue una reacción del tipo $A \rightarrow B$, donde D es la difusividad. (29).

Sí $WL \neq 0$, $WLL \neq 0$ se transforma en una ecuación con coeficientes variables en la que se dificulta comparar los resultados por tener una solución más complicada. Sin embargo es posible hacer una comparación accesible si se hacen $WL=WLL=1$. y se obtiene una solución analítica empleando el método de series de Taylor.

El objeto de este trabajo es detectar el mejor método numérico de integración, para lo que seleccionamos los más usuales dentro del campo de la Ingeniería Química , son el de Euler, el Euler modificado o de Heuns, el Runge, el de Milme, el Runge-Kutta y el de Merson.

También es muy importante el obtener estimaciones cualitativas de las condiciones determinantes del error en que se incurre al aplicarlos y sí es posible encontrar alguna regla práctica para conocer el error que se deriva de la aplicación de cada método numérico.

GENERALIDADES:

Al usar métodos numéricos para la solución de modelos en Ingeniería Química, nos damos cuenta, por la naturaleza de aquellos que en la realidad obtenemos no una solución sino una aproximación a ella. A la diferencia entre la solución, la aproximación se le denomina comúnmente como error. Es obvio que este error puede ser conocido con precisión solo después de tener tanto la solución como la aproximación y por consiguiente su naturaleza es experimental o empírica. Por lo anterior, el conocimiento preciso del error es casuístico, lo que nos limita en cuanto a las decisiones de selección del método numérico más conveniente y en la estimación del tiempo razonable para obtener una respuesta buena.

Con frecuencia se enfrenta uno a problemas en los cuales el desconocimiento de la magnitud del error y de sus propiedades pueden dificultarnos mucho la solución del modelo planteado o bien dedicamos demasiadas energías en busca de un resultado que no podremos obtener después de todo o puede no tener sentido.

Este trabajo representa un esfuerzo para tratar de entender los orígenes del error, sus propiedades y de descubrir en lo posible, relaciones entre las variables de los modelos a resolver y las variables de los métodos numéricos que pudieran darnos a priori una luz sobre el comportamiento del error en casos dados y cuya solución nos interesa.

La solución y la aproximación son finalmente un número y en este trabajo los denominaremos en la siguiente forma: Al número que representa la solución exacta el cual denotaremos como $\bar{\rho}$, se le asocia el valor de un número ρ que corresponde a la solución aproximada al número $\bar{\rho}$. En-

tre los dos valores mencionados en el párrafo anterior, existe una diferencia a la cual se le conoce como ERROR ABSOLUTO y se denota por E_A .

El número ρ tiene m cifras decimales exactas si su error absoluto no supera a la mitad de la unidad decimal de orden enésimo.

Sí al error absoluto se le divide entre el valor ρ , se obtiene como resultado lo que es llamado ERROR RELATIVO y se denota por E_R .

Ambas representaciones de la medición del error reflejan el grado de confiabilidad de los resultados.

CASAS DEL ERROR:

Las causas que introducen errores en los procesos matemáticos aproximados son:

I.- Cuando los datos originales contienen error, lo hacen repercutir sensiblemente en los resultados del proceso matemático aproximado. También en conocido este tipo de repercusión del error cuando afecta mucho al resultado final, entonces se dice que el problema está mal condicionado.

II.- Cuando una función infinita o complicada se representa por una finita o más sencilla para poder obtener una solución aproximada del problema original se presenta un error que se denomina por TRUNCACION. La magnitud de este error depende de un parámetro N , tal que si $N \rightarrow \infty$ la solución se acerca a lo real, es decir que el error tiende a cero.

El error por truncación también se presenta cuando

en un proceso de iteración se elimina alguno de sus pasos que se requería para tener una solución exacta.

Solo es conveniente introducir un error por truncación en el caso de poderlo controlar o que por alguna razón se pueda considerar despreciable en comparación con los resultados exactos, siendo un ejemplo de este proceso el caso de una serie convergente, la cual se puede calcular tomando en cuenta sólo sus primeros términos, pues a medida que se calcula un término superior, éste se acerca más al valor de cero. Para determinar hasta qué término se debe calcular es necesario analizar conjuntamente el grado de exactitud requerido y la magnitud de los términos inmediatos al escogido como último del cálculo de la serie.

III.- Cuando se requiere limitar una expresión a un cierto número m de dígitos, proceso que se denomina REDONDEO.

Para efectuar un redondeo se han establecido las siguientes reglas:

Cuando el dígito $m+1$ es menor de 5, el dígito m no se altera (operación que se denomina redondeo hacia abajo).

Cuando el dígito $m+1$ es de 5, el dígito m se aumenta en una unidad si es non, no se aumenta si es par.

Cuando el dígito $m+1$ es mayor que 5, se aumenta m en uno, lo que se denomina redondeo hacia arriba.

Las anteriores reglas fijan el valor del dígito m , faltando solo marcar el criterio para escoger el número de términos que deben quedar en el redondeo.

Sí $E_{A_1}, E_{A_2}, E_{A_3}, \dots, E_{A_m}$ son los límites de los errores absolutos de los números aproximados $P_1, P_2, P_3, \dots, P_m$; el límite del error absoluto del resultado de sustituir los valores aproximados en la función F (de los números exactos) está dado por:

$$E_A = \left| \frac{\partial F}{\partial \bar{P}_1} \right| E_{A_1} + \left| \frac{\partial F}{\partial \bar{P}_2} \right| E_{A_2} + \left| \frac{\partial F}{\partial \bar{P}_3} \right| E_{A_3} + \dots + \left| \frac{\partial F}{\partial \bar{P}_m} \right| E_{A_m}$$

donde:

4

$$F = f(\bar{P}_1, \bar{P}_2, \bar{P}_3, \dots, \bar{P}_m)$$

Esta ecuación proviene de las siguientes consideraciones:

$$F + E_T = f(P_1, P_2, P_3, \dots, P_m)$$

$$P_1 = \bar{P}_1 + E_1$$

$$P_2 = \bar{P}_2 + E_2$$

$$P_3 = \bar{P}_3 + E_3$$

$$P_m = \bar{P}_m + E_m$$

donde $E_1, E_2, E_3, \dots, E_m$ son errores de redondeo para los valores $\bar{P}_1, \bar{P}_2, \bar{P}_3, \dots, \bar{P}_m$ a $P_1, P_2, P_3, \dots, P_m$ como se representan en la siguiente ecuación:

$$f(P_1, P_2, P_3, \dots, P_m) = f(\bar{P}_1 + E_1, \bar{P}_2 + E_2, \dots, \bar{P}_m + E_m)$$

expandiendo por series de Taylor tendremos:

$$f(P_1, P_2, P_3, \dots, P_m) = f(P_1, P_2, P_3, \dots, P_m) + E_1 \frac{\partial f}{\partial E_1}$$

$$E_2 \frac{\partial f}{\partial E_2} + E_3 \frac{\partial f}{\partial E_3} + \dots + E_m \frac{\partial f}{\partial E_m}$$

$$\frac{1}{2} \left(E_1^2 \frac{\partial^2 F}{\partial E_1^2} + \dots + E_n^2 \frac{\partial^2 F}{\partial E_n^2} + \right.$$

$$\left. 2 E_1 E_2 \frac{\partial^2 F}{\partial E_1 \partial E_2} + \dots \right)$$

Sí se considera que $E_1, E_2, E_3, \dots, E_n$ son números pequeños, $E_1^2, E_2^2, \dots, E_n^2$ serán números aún más pequeños y pueden ser despreciables, razón por la cual el error total en el redondeo de una función está dado por:

$$E_T = \left| \frac{\partial F}{\partial P_1} \right| E_1 + \left| \frac{\partial F}{\partial P_2} \right| E_2 + \dots + \left| \frac{\partial F}{\partial P_n} \right| E_n$$

El error relativo estará dado por:

$$E_R = \left| \frac{\partial F}{\partial P_1} \right| \frac{E_1}{F} + \left| \frac{\partial F}{\partial P_2} \right| \frac{E_2}{F} + \dots + \left| \frac{\partial F}{\partial P_n} \right| \frac{E_n}{F}$$

Esta fórmula presenta un inconveniente, el de no poderse conocer F ; problema que se resuelve obteniendo un valor cercano a él y es $F+E_T$, con lo cual se obtiene una aproximación del error relativo.

Los alcances de la anterior fórmula quedará aclarados si la aplicamos para la obtención de un resultado aproximado en alguna expresión.

Supongamos, se quiere obtener el valor de la ecuación

$$F = a + \ln b + \sqrt{c}$$

para cuando los valores son

$$a = 43.245321723 \dots$$

$$\delta = 4.0213346\dots$$

$$c = .0043452\dots$$

teniendo como limitación que el error absoluto no pase de .0001,

$$E_A \leq .0001$$

De la ecuación se obtiene:

$$\frac{\partial F}{\partial a} = 1 \quad \frac{\partial F}{\partial b} = \frac{1}{b} \quad \frac{\partial F}{\partial c} = \frac{1}{2\sqrt{c}}$$

9

Ahora bien si redondeamos hasta la cuarta cifra decimal

$$x' = 43.2453$$

$$b' = 4.0213$$

$$c' = .0043$$

De donde una aproximación del error de las diferencias de los datos originales a los empleados será:

$$E_{A_a} = |a - a'| = .00003$$

$$E_{A_b} = |b - b'| = .00004$$

$$E_{A_c} = |c - c'| = .00005$$

Para el cálculo de estos errores se efectuó un redondeo por arriba, considerando este error como límite mayor de las diferencias entre los datos.

De lo anterior se puede obtener una expresión para el error límite máximo que puede tener la ecuación, el cual sería como sigue:

$$E_F = | 1. | (.00003) + \left| \frac{1.}{4.0213} \right| (.00004) + \left| \frac{1.}{21.0043} \right| (.00005)$$

$$E_F = .00003 + .0000099 + .0003812 = .00045$$

de aquí se puede concluir que el primer redondeo fue malo, es decir, no tiene los resultados con la suficiente exactitud como para ser esa la respuesta con una incertidumbre menor de **.0001**. Por lo tanto nos vemos en la necesidad de aumentar el número de cifras para los datos aproximados y si lo hacemos hasta la quinta cifra decimal tendremos:

$$a' = 43.24532$$

$$b' = 4.02133$$

$$c' = .00435$$

$$E_{Ra} = .000002$$

$$E_{Rb} = .000005$$

$$E_{Rc} = .000005$$

$$E_F = .00002 + \left| \frac{1.}{4.02133} \right| (.000005) + \left| \frac{1.}{21.00435} \right| (.000005)$$

$$E_F = .000002 + .0000012 + .00003$$

$$E_F < .0001$$

Por lo tanto se puede concluir que las operaciones a efectuarse, para obtener F con el grado de aproximación antes descrito, deber llevarse a cabo realizando el redondeo hasta la quinta cifra decimal.

Para los efectos de este trabajo vale la pena aclarar que la máquina computadora, en que se efectuó la parte experimental, redondea automáticamente hasta la octava cifra significativa y cuando se emplea la doble precisión hasta la décimo sexta cifra.

Finalmente como causa del error en la aplicación de algún método numérico tendremos:

IV.- Cuando se separa en partes el intervalo continuo de una función y se representa por una serie finita de puntos, proceso denominado DISCRETIZACION, motivo por el cual su error característico es llamado por el mismo nombre.

La lógica nos dice que este error disminuirá si en el proceso numérico se hace menor la diferencia entre el modelo teórico y el numérico, es decir, a mayor fraccionamiento del intervalo de la función el error será menor. Pero los criterios que podrían conducir a resultados en muchas ocasiones no son aplicables, lo cual se explicará en forma más amplia cuando se traten las funciones de error.

El análisis de este tipo de error es prudente efectuarlo en procesos numéricos de diferenciación e integración.

FUNCIONES DE ERROR PARA LA
FORMULA DE NEWTON-COTES.

FUNCIONES DE ERROR.

Este trabajo partió de la idea prevaleciente en la literatura, que para cada método numérico se puede encontrar alguna fórmula, la cual nos proporcione el error máximo en que se incurre al aplicar el método sobre un problema. La magnitud de este error estimado dependerá fundamentalmente de la exactitud del método y además de las condiciones del problema como son las condiciones en la frontera, valor de los coeficientes, etc....

A la fórmula que nos proporciona la cuantificación del error para cada método numérico y serie de condiciones del problema se le denomina función de error.

Los casos más sencillos de la obtención de fórmulas de error corresponden a los métodos de integración derivados de la aplicación de la fórmula de Newton-Cotes.

REGLA DE LOS TRAPECIOS:

Las integrales definidas pueden ser interpretadas como el área bajo la curva y de ésto que algunos métodos buscan el área, para con ella conocer el valor de la integral.

El método de la regla de los trapecios o regla trapezoidal recibe ese nombre porque el criterio con el cual se llega a conseguir el valor del área es el de hacer la sumatoria del área de una serie de trapecios en que se puede descomponer el área total. Para cada trapecio se calcula el valor de la altura de sus lados utilizando la función a integrar y se multiplica el promedio o media de las alturas de cada trapecio por el tamaño de cada subdivisión del intervalo en el cual se desea obtener el valor de la integral.

Supongamos la función $\int_a^b f(x)dx$ de la cual se quiere conocer su valor numérico. Si se grafica $f(x)$ se obtendrá una curva la cual podría representarse por la figura N°. 5.

A esta gráfica podemos hacerle la representación de la división de su intervalo $[a:b]$ en n partes iguales, obteniendo trapecios cuya superficie se puede calcular mediante su fórmula:

$$A = \frac{\Delta X}{2} (f(x_1) + f(x_2))$$

donde ΔX es el ancho de cada trapecio, y está dado por:

$$\Delta X = \frac{1}{n} (b - a)$$

10

"

pero dependiendo de su mayor o menor valor se puede aumentar o disminuir el error de este método. En forma gráfica se puede explicar como el error proveniente de las áreas que escapan a ser cuantificadas al calcular las superficies de los trapecios, y se encuentran bajo la curva. Puede distinguirse el área que no se cuantifica como la superficie sombreada en la figura N°. 6.

La figura N°. 6 y la N°. 7 corresponden a la integración de la misma curva, pero en el primer caso se emplean un número menor de trapecios, en el segundo caso se hace la integración con un número mayor de trapecios; las superficies sombreadas corresponden a las áreas bajo la curva que no quedan comprendidas en las superficies de los trapecios.

Como podrá notarse cuantos más sean los trapezios, el error de la integración será menor.

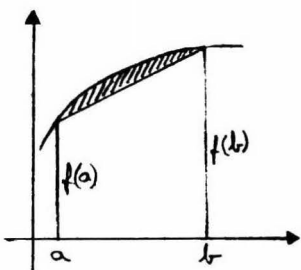


FIGURA N°. 5

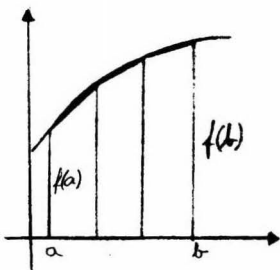


FIGURA N°. 6

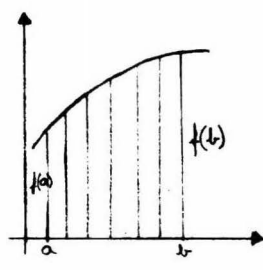


FIGURA N°. 7

Se pueden calcular las áreas que escapan de considerarse, en forma de una función del área y las condiciones determinantes del área, a la cual se denomina función de ERROR PARA LA REGLA TRAPEZOIDAL, misma que puede expresarse como sigue:

$$\epsilon = f(\Delta x, \frac{\partial f'(x)}{\partial x})$$

Para determinar la función de error con mayor precisión haremos su deducción.

El área de cada trapecio es:

$$\frac{\Delta x}{2} (f(x_1) + f(x_2))$$

, la suma de todas estas áreas será:

$$\int_a^b f(x) dx = \frac{\Delta x}{2} (f(a) + 2f(a+\Delta x) + 2f(a+2\Delta x) + \dots + f(b))$$

donde el error ϵ que se origina por las áreas no sumadas es:

$$\epsilon = \frac{\Delta x}{2} (f(a) + 2f(x_1) + 2f(x_2) + \dots + f(b)) - \int_a^b f(x) dx$$

, se pueden hacer las siguientes consideraciones:

si $f(x)$ es lineal $\epsilon = 0$ pues $f'(x)$ es constante y $f''(x) = 0$ para todo valor de x . Es posible que para una función general $f''(x)$ sea una constante, si $m = l$ y $t = b$

$$\epsilon_t = \frac{t-a}{2} (f(a) + f(t)) - \int_a^t f(x) dx$$

diferenciando

$$\epsilon'_t = \frac{1}{2} (f(a) + f(t)) + \frac{(t-a)}{2} f'(t) - f(t)$$

$$\epsilon'(a) = 0 \quad \epsilon''(t) = \frac{1}{2}(t-a)f''(t)$$

y este es el error que hay en un trapezio; si tomamos el trapezio con mayor error posible y llamamos al máximo valor de $f''(t)$ como M_2 y el mínimo valor de $f''(t)$ como m_2 en $a \leq t \leq b$ tendremos:

$$\frac{1}{2}(t-a)m_2 \leq \epsilon''(t) \leq \frac{1}{2}(t-a)M_2$$

19

integrando obtendremos:

$$\frac{1}{4}(t-a)m_2 \leq \epsilon'(t) \leq \frac{1}{4}(t-a)^2 M_2$$

$$\epsilon'(t) - \epsilon'(a) = \epsilon'(t) \quad \epsilon'(a) = 0$$

$$\frac{1}{12}h^3 m_2 \leq \epsilon(a+h) \leq \frac{1}{12}h^3 M_2$$

20

como $\epsilon(a) = 0$, $t = a+h$, $h = \Delta x$ para n

desigualdades

$$h = \frac{b-a}{n} \quad y \quad b-a = nh$$

21

$$\frac{(b-a)^3}{12n^2} m_2 \leq \epsilon \leq \frac{(b-a)^3}{12n^2} M_2$$

22

$$\frac{h^2}{12}(b-a)m_2 \leq \epsilon \leq \frac{h^2}{12}(b-a)M_2$$

23

$$\frac{h^3 n}{12} m_2 \leq \epsilon \leq \frac{h^3 n}{12} M_2$$

24

y para cada problema específico, el mayor valor de M_2 está determinado, ($b-a$) también muestra invariancia, por lo cual el error solo será función directa de ΔX o de m es decir:

$$\epsilon = f(m) = \frac{K}{m^2}$$

25

De la anterior ecuación, si se fija el error máximo permisible para el problema se puede determinar el valor de m que nos da resultados con el rango de incertidumbre antes fijado.

REGLA DE SIMPSON:

Otra forma de obtener el área bajo la curva es por la aproximación a una secuencia de arcos parabólicos en cada tres puntos continuos. En este caso el intervalo se debe dividir en un número par.

El arco parabólico de una parte de la curva se ilustra en la figura 8, considerandola como una sección de una parábola deberá seguir la ecuación:

$$y = ax^2 + bx + c$$

misma que es fácil de integrar directamente para ese sub-intervalo.

El área bajo la curva será:

$$A = \int_{-h}^h (ax^2 + bx + c) dx = \left(\frac{1}{3}ax^3 + \frac{1}{2}bx^2 + cx \right) \Big|_{-h}^h$$

26

$$A = \frac{2}{3}ah^3 + 2ch$$

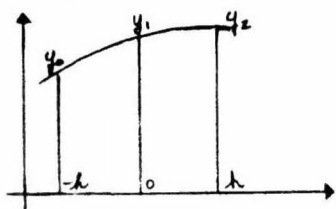


FIGURA No. 8.

Como se conocen en cada sub-intervalo tres puntos se pueden obtener tres ecuaciones simultáneas con tres incógnitas:

$$\begin{aligned} y_0 &= ah^2 - bh + c \\ y_1 &= c \\ y_2 &= ah^2 + bh + c \end{aligned}$$

28

resolviendo simultáneamente las ecuaciones No. 28 se obtiene:

$$2ah^2 = y_0 + y_2 - 2y_1.$$

y de la ecuación No. 29 podemos deducir que:

$$A = \frac{h}{3} (y_0 + y_2 - 2y_1) + 2ahy_1,$$

y finalmente obtenemos:

$$A = \frac{h}{3} (y_0 + 4y_1 + y_2)$$

la ecuación No. 31 es conocida como la fórmula prismoidal y la suma de las áreas sería:

$$S = \frac{h}{3} (y_0 + 4y_1 + y_2) + \frac{h}{3} (y_2 + 4y_3 + y_4) + \dots + \frac{h}{3} (y_{2n-2} + 4y_{2n-1} + y_{2n})$$

ecuación que arreglada quedaría en la forma

$$S = \frac{h}{3} (y_0 + 4y_1 + 2y_2 + 4y_3 + 2y_4 + \dots + 4y_{2n-1} + y_{2n})$$

que es conocida como la REGLA DE SIMPSON.

$\lambda = x$ Ahora bien, para obtener su fórmula de error: si

$$\epsilon = g(x) = \int_{c-x}^{c+x} f(t) dt - \frac{x}{3} (f(c-x) + 4f(c) + f(c+x))$$

será el error máximo ϵ bajo una parábola y para la suma de los errores tendríamos:

$$\epsilon_{\text{total}} = \int_{c-h}^{c+h-b} f(t) dt - \frac{h}{3} (f(a) + 4f(a+h) + 2f(a+2h) + \dots + 2f(a+(m-2)h) + 4f(a+(m-1)h) + f(b))$$

sí F es una función tal que $F' = f(x)$ sobre $[c-h, c+h]$ entonces

$$\int_{c-x}^{c+x} f(x) dx = F(c+x) - F(c-x) \quad y \quad x \in (0, h)$$

$$g(x) = F(c+x) - F(c-x) - \frac{x}{3} (f(c+x) + 4f(c) + f(c-x))$$

obteniendo por diferenciación

$$g'(x) = \frac{2}{3}(f(x+c) + f(x-c)) - \frac{4}{3}f(c) - \frac{x}{3}(f'(c+x) - f'(c-x)) \quad 38$$

$$g''(x) = \frac{1}{3}(f'(c+x) - f'(c-x)) - \frac{x}{3}(f''(c+x) + f''(c-x)) \quad 39$$

$$g'''(x) = -\frac{x}{3}(f'''(c+x) - f'''(c-x)) = -\frac{2x^2}{3}\left(\frac{f'''(c+x) - f'''(c-x)}{2x}\right) \quad 40$$

como f''' existe sobre $[a, b]$ podemos aplicar el teorema del valor medio para obtener:

$$g'''(x) = \frac{-2x^2}{3}f'''(t) \quad t \in [c-x, c+x]$$

sí M_4 es el máximo valor de $f'''(t)$ y el valor mínimo de $f'''(t) = m_4$

$$\frac{2x^2m_4}{3} \leq g'''(x) \leq \frac{2x^2M_4}{3} \quad 42$$

como $g''(0) = g'(0) = g(0) = 0$

$$\int_0^t g'''(t) dt \leq \int_0^t \frac{2}{3}t^2 M_4 dt = \frac{2}{9}t^3 M_4$$

$$\int_0^t g''(t) dt \leq \int_0^t \frac{2}{9}t^3 M_4 dt = \frac{1}{18}t^4 M_4$$

$$g(x) = \int_0^t g'(t) dt \leq \int_0^t \frac{1}{18}t^4 M_4 dt = \frac{1}{90}t^5 M_4 \quad 45$$

Si tomamos los m subintervalos, que deben ser un número par,

$$t = a + \frac{b-a}{n}(2i-1) \quad 46$$

sumando desde $i=1$ hasta $i = \frac{n}{2}$

$$E_{total} \leq \frac{n}{2} \left[\frac{1}{90} h^5 M_4 \right] = \frac{h^4}{180} (b-a) M_4 \quad 47$$

$$E_{total} \geq \frac{n}{2} \left[\frac{1}{90} h^5 m_4 \right] = \frac{h^4}{180} (b-a) m_4 \quad 48$$

Las reglas trapecoidal y de Simpson son los casos más corrientes de la fórmula de Newton-Cotes, pero existen

ter muchos más, pues se ha establecido:

$$\int_0^{nk} f(x)dx = k, f(k_1 f(0) + k_2 f(h) + k_3 f(2h) + \dots + k_{n+1} f(nh))$$

ecuación en la cual $k_1, k_2, k_3, \dots, k_{n+1}$ son constantes que se pueden hallar mediante una expansión por la serie de Taylor.

Como ejemplo señalaremos el caso particular de la regla de Simpson, para la cual la expansión se efectúa de la siguiente forma:

Se debe fijar al número de constantes en la fórmula de Newton-Cotes, dándoles a las constantes que sobren el valor de cero; efectuando esto podemos escribir:

$$\int_{-1}^1 f(x)dx = k_{-1} f(-1) + k_0 f(0) + k_1 f(1) \quad 50$$

empleando la fórmula de la serie de Taylor, la cual establece:

$$f(x) = f(0) + x f'(0) + \frac{x^2}{2} f''(0) + \frac{x^3}{3!} f'''(0) + \dots \quad 51$$

se puede obtener que el término de la derecha de la ecuación No. 50 muestra la siguiente equivalencia,

$$\int_{-1}^1 f(x)dx = 2f(0) + \frac{2}{3!} f''(0) + \frac{2}{5!} f''''(0) + \dots \quad 52$$

si consideramos que el término de la izquierda en la ecuación No. 50 puede modificarse al emplear lo establecido por la ecuación No. 51 podremos obtener lo siguiente:

$$\begin{aligned} k_{-1} f(-1) &= k_{-1} f(0) - k_{-1} f'(0) + \frac{k_{-1}}{2!} f''(0) - \\ &\quad \frac{k_{-1}}{3!} f'''(0) + \dots \end{aligned} \quad 53$$

$$k_0 f(0) = k_0 f(0)$$

$$k_1 f(1) = k_1 f(0) + k_1 f'(0) + \frac{k_1}{2!} f''(0) + \frac{k_1}{3!} f'''(0) + \dots$$

sí igualamos los términos en $f(0), f'(0)$ y $f''(0)$ de la ecuación 50 una vez sustituidos sus valores por lo señalado en la ecuación No. 52 y No. 53 tendremos por lo tanto:

$$\begin{aligned} 2f(0) + \frac{2}{3!} f''(0) + \frac{2}{5!} f''''(0) + \frac{2}{7!} f''''''(0) + \dots &= k_{-1} f(0) - \\ k_1 f'(0) + \frac{k_{-1}}{2!} f''(0) - \frac{k_{-1}}{3!} f'''(0) + \frac{k_{-1}}{4!} f''''(0) - \\ \frac{k_{-1}}{5!} f''''(0) + k_0 f(0) + k_1 f'(0) + k_1 f''(0) + \frac{k_1}{2!} f''''(0) + \\ \frac{k_1}{3!} f''''''(0) + \frac{k_1}{4!} f''''''(0) + \dots \end{aligned}$$

54

de donde se obtiene:

$$\begin{aligned} 2 &= k_{-1} + k_0 + k_1, \\ 0 &= -k_{-1} + k_1, \\ \frac{2}{3!} &= \frac{k_{-1}}{2!} + \frac{k_1}{2!} \end{aligned}$$

55

ecuaciones que al ser resueltas nos dan:

$$k_0 = \frac{4}{3}$$

$$k_{-1} = \frac{1}{3}$$

$$k_1 = \frac{1}{3}$$

56

proporcionando estos resultados la fórmula

$$\int_{-1}^1 f(x) dx = \frac{1}{6} (2f(-1) + 4f(0) + 2f(1))$$

57

la cual corresponde a la fórmula prismoidal, pero en este caso se obtuvo a partir de la fórmula de Newton-Cotes.

Losotros truncamos a partir del término $m-1$ de la ecuación No. 54, pero podemos notar que el coeficiente de $f'''(0)$ del lado derecho de la ecuación es cero, por lo cual podemos eliminarlo sin introducir error. Luego lo que nos interesa calcular es el error por truncación a partir de los términos $f''(0)$.

Los errores introducidos al truncar las series pueden expresarse en la siguiente forma, a partir de la ecuación No. 50

$$\begin{aligned}\int_{-1}^1 f(x) dx &= \int_{-1}^1 (f(0) + hf'(0) + h^2 f''(0) + h^3 f'''(0) + \dots) dh \\ &= \int_{-1}^1 (f(0) + hf'(0) + h^2 f''(0)) dx + \int_{-1}^1 R_4(h) dh \\ \int_{-1}^1 R_4(h) dh &= 2 \frac{M_4}{5(4!)} h^5\end{aligned}$$

59

en la ecuación No. 54 solo se truncaron dos de las tres series por lo que el error de truncación será:

$$\epsilon = \frac{2}{3} \left(2 \frac{M_4}{5(4!)(5)} h^5 \right) = \frac{1}{90} M_4 h^5$$

60

El cálculo del error resulta relativamente fácil para estos sistemas sencillos pero cuando llegamos a tener la necesidad de calcular una ecuación diferencial con coeficientes variables como las señaladas en la introducción de este trabajo, resulta muy complicado el obtener su función de error y nos encontramos sin ningún criterio eficiente para conocer la naturaleza del error que nos da en sus resultados.

Para los métodos empleados en la parte experimental faremos mención de su error al describirlos en el siguiente capítulo.

Al igual que para este caso se pueden calcular los coeficientes para mayor número de términos en la fórmula de Newton-Cotes, dando conjuntos de coeficientes y pudiéndose calcular el error en que se incurre empleando la expresión para el residuo en la serie de Taylor.

La tabla siguiente nos reporta los coeficientes que pueden ser empleados en la fórmula de Newton-Cotes y el error máximo posible para cada conjunto de coeficientes.

TABLA NO. 1

k_1	k_2	k_3	k_4	k_5	k_6	k_7	$\epsilon = \text{ERROR}$
$\frac{1}{2}$	1	1	0	0	0	0	$\frac{1}{12} h^3 M_2$
$\frac{1}{3}$	1	4	1	0	0	0	$\frac{1}{90} h^5 M_4$
$\frac{3}{8}$	1	3	3	1	0	0	$\frac{3}{80} h^5 M_4$
$\frac{2}{45}$	7	32	12	32	7	0	$\frac{8}{945} h^7 M_6$
$\frac{5}{288}$	19	75	50	50	75	19	$\frac{275}{13088} h^7 M_6$
$\frac{1}{140}$	41	216	27	276	27	216	$\frac{9}{1400} h^9 M_8$
$\frac{1}{17280}$	751	3577	1323	2989	2989	1323	$\frac{8183}{518400} h^9 M_8$
$\frac{3}{2}$	0	1	1	0	0	0	$\frac{3}{4} h^3 M_2$
$\frac{4}{3}$	0	2	-1	2	0	0	$\frac{14}{45} h^5 M_4$
$\frac{5}{24}$	0	11	1	1	11	0	$\frac{95}{144} h^5 M_4$
$\frac{3}{70}$	0	11	-14	26	-14	0	$\frac{41}{140} h^7 M_6$

Las primeras siete fórmulas se conocen como cerradas, y las últimas cuatro como abiertas, debido a que las primeras utilizar el valor de la función en su límite inicial y final. Las fórmulas cerradas tienen coeficiente cero aplicado a los valores de la función en sus límites inicial y final de la integral.

La aplicación de las fórmulas de error de la tabla anterior presentan entre las dificultades que tienen para su empleo las siguientes:

A veces es necesario aplicar alguna fórmula de integración sobre algún problema, del cual no se puede obtener el valor de la derivada (de tercer a noveno orden) pues no está definida. En este caso no se podrá aplicar la fórmula de la función de error.

Otro inconveniente es el hecho de que estas fórmulas reportan el error máximo posible, es decir, se emplea el valor máximo de la derivada de orden marcado por la función de error, mismo que está lejano de un valor promedio de dicha derivada, y en consecuencia se obtienen predicciones del error incurrido demasiado exageradas.

Este resultado puede sugerirnos volver a hacer el cálculo de la integral en un intervalo con mayor cantidad de subintervalos, y en la realidad podemos haber obtenido ya una buena solución.

El error por truncación de una serie de Taylor está dado por la fórmula del residuo de Lagrange, la cual establece que el error máximo por truncación desde el término n está dado por:

$$R_n = \frac{f''(x)}{n!} (x)^n$$

FUNCIONES DE ERROR PARA
TODOS DE UN PISO Y PASOS
MULTIPLES.

Dentro de los métodos numéricos existen dos grupos, los cuales se han denominado métodos de un paso y métodos de pasos múltiples.

Los primeros presentan como propiedad fundamental la característica de solo requerir información del punto anterior para obtener los datos del punto siguiente, lo cual permite el cambiar el tamaño o separación entre los puntos original y resultante (h), conforme convenga, sin más limitación que el tamaño de (h) sea lo suficientemente pequeño para obtener una solución exacta y a la vez sea lo suficientemente grande para que la solución sea práctica.

Los segundos necesitan más que la información en un solo punto anterior, es decir de dos o más, para obtener el siguiente, motivo por el cual (h) no puede cambiarse con la libertad de los primeros.

Dentro del primer grupo podemos señalar los métodos de Euler, Heuns, Runge, Runge-Kutta y Merson. Podemos señalar como integrante del segundo grupo los métodos de Milme.

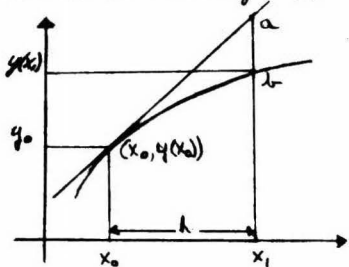
Método de Euler:

El método de Euler es el más sencillo de todos los de un paso y la interpretación más sencilla de él es la geométrica, la cual es como sigue:

Se quiere la solución en el intervalo $[x_0; x]$ para una ecuación diferencial ordinaria superior que por el punto inicial x_0 puede representarse tangente a la solución general en la ecuación $y' = g(x)$.

En la figura No. 9, se tiene representada dicha curva (solución general) y la linea tangente que pasa por el punto (x_0, y_0) . La predicción del valor de y , en X , la podemos denotar por $y(x_i)$, y estará determinada por el valor del punto que está sobre la linea tangente y la cual tiene como primer elemento la abscisa $x_i = x_0 + h$, por eso el punto se puede denotar como $(x_0 + h, y(x_0 + h)) = (x_i, y(x_i))$

La pendiente de la linea tangente estará dada por la derivada de la función en el punto x_0 , misma que se escribe en la forma $y'(x_0)$.



Como punto **a** denotaremos en la figura No. 9 al valor de la solución numérica aproximada y como **b** a la solución exacta.

FIGURA No. 9

Este procedimiento es equivalente a emplear la ecuación:

$$y(x_i) = y(x_0) + y'(x_0)h \quad 63$$

donde

$$h = x_i - x_0$$

Esta aproximación presenta un error que puede calcularse si se lleva la serie de Taylor sobre el punto $(x_0, y(x_0))$ y se observa cuál es la truncación de la serie.

$$y(x_i) = y(x_0) + y'(x_0)h + \frac{y''(x_0)}{2!}h^2 + \frac{y'''(x_0)}{3!}h^3 + \dots + R_n \quad 65$$

La diferencia entre las ecuaciones No. 63 y No. 65 es el término de truncamiento que se denota en la ecuación por el error R_n , que viene igual a cero para

truncación está dado por el residuo de Lagrange que será:

$$R_2 = \frac{y''(x_*)}{2} h^2 \geq \frac{y''(x_0)}{2!} h^2 + \frac{y'''(x_0)}{3!} h^3 + \dots$$

Donde $y''(x_*)$ es el valor de $y''(x)$ que es máximo en el intervalo.

La integración de la ecuación diferencial se pue de hacer subdividiendo el intervalo en n partes iguales de tal forma que $\Delta = \frac{x_n - x_0}{n}$, $(x_i, y(x_i)) = (x_0 + (i-1)\Delta, y(x_i))$

67

Se efectua el primer paso consistente en obtener (x_1, y_1) partiendo de los valores $(x_0, y(x_0))$, a continuación el punto $(x_2, y(x_2))$ puede ser calculado si se considera al punto condición inicial para obtener $(x_2, y(x_2))$.

En esta integración para obtener $(x_n, y(x_n))$ se requerirán n pasos anteriores, por lo que el error puede ser estimado en la siguiente forma:

Para cada paso se calcula el valor del error con la ecuación N°. 66 y una vez calculados todos los errores para cada paso se suman y nos da como respuesta el error máximo posible de la integración para un valor de h .

El objeto de calcular el error será el determinar si el tamaño de h es lo suficientemente pequeño como para obtener buenos resultados, por lo cual el procedimiento se puede modificar en la siguiente forma:

Se calcula el error en cada paso, pero si este error rebasa el valor del error máximo permisible entre el número de pasos, se necesita reducir el valor de h , lo que por lo regular se hace al cambiar su valor por su mitad.

Existe otro procedimiento el cual consiste en multiplicar el máximo error en un paso, el cual debe ser el mayor de todos, por el número de pasos lo que se puede expresar como sigue:

$$\epsilon_1 = \frac{n}{2} y''(x_*) h^2$$

68

ecuación que se puede escribir en la forma:

$$\epsilon_1 = y''(x_*) \frac{(x_n - x_0)}{2h} h^2$$

69

Si observamos que para un problema dado $y''(x_*)$ y $(x_n - x_0)$ son constantes se puede reducir esta ecuación a

$$\epsilon_1 = \mu h$$

70

de donde se puede calcular los errores totales con una sola ecuación.

Algunos autores (32) deducen por otro camino una fórmula equivalente, está dada por:

$$\epsilon_1 = \frac{M}{2K} e^{LK}$$

donde

$$L = x_n - x_0 = nh \quad M \geq |y''(x)|$$

$$K |y^* - y| \geq |f(x, y^*) - f(x, y)| = \left| \frac{\partial f(x, y)}{\partial y} \right| |y^* - y|$$

En ambos casos se puede observar que la forma de reducir el error es disminuyendo el valor de h es decir

$$\lim_{h \rightarrow 0} \epsilon_1 = \lim_{h \rightarrow 0} \mu h = 0$$

71

pues en estos procedimientos μ, M, K, L son constantes.

De forma de aplicar la ecuación No. 70 para un problema, el cual tiene un valor μ , que es constante, se obtiene dos soluciones numéricas, la primera empleando h y en la segunda $2h$ con lo cual se cumplen las ecuaciones siguientes:

$$y(x_n)_1 = y(x_n) + \epsilon,$$

$$y(x_n)_2 = y(x_n) + \epsilon_2$$

73

las cuales se pueden modificar empleando la ecuación No. 69 para dar:

$$y(x_n)_1 = y(x_n) + \mu(h)$$

$$y(x_n)_2 = y(x_n) + \mu(2h)$$

mismas que al resolverse simultáneamente implican:

$$\mu = \frac{y(x_n)_2 - y(x_n)_1}{h}$$

74

y con este valor de μ se puede calcular el error máximo posible para un valor dado de h .

Método de Heuns:

A este método también se le conoce como el método de Euler modificado, consiste esencialmente en aplicar el método de Euler con un valor promedio para $y'(x)$ en el intervalo de cada paso.

Este promedio puede representarse por la ecuación:

$$y_1 = y_0 + h(a k_1 + b k_2)$$

75

donde $k_1 = f(x_0, y_0)$. $k_2 = f(x_0 + ah, y_0 + bh, k_1)$

ecuaciones en las cuales a y b son constantes que se pueden obtener de efectuar la expansión de k_2 mediante la serie de Taylor, la cual establece:

$$k_2 = f(x_0, y_0) + ah f_x(x_0, y_0) + bh f(x_0, y_0) f_y(x_0, y_0) + R_3$$

de donde

$$\begin{aligned} y_1 &= y_0 + h [A f(x_0, y_0) + B f(x_0, y_0)] + h^2 [B a f_x(x_0, y_0) \\ &\quad + B b f(x_0, y_0) f_y(x_0, y_0)] + R_4 \end{aligned}$$

78

y como

$$y(x_0 + h) = y(x_1) = y(x_0) + h f(x_0, y_0) + \frac{h^2}{2!} f''(x_0, y_0) + R_4$$

$$f''(x_0, y_0) = f_{xx}(x_0, y_0) + f_y(x_0, y_0) f_x(x_0, y_0)$$

79

se pueden igualar los términos que tienen igual potencia de h planteándose el siguiente sistema de ecuaciones simultáneas:

$$A + B = 1$$

$$Ba = \frac{1}{2}$$

$$Bb = \frac{1}{2}$$

80

y como este sistema tiene un grado de libertad se puede resolver fijando algún valor. Si fijamos $B = \frac{1}{2}$

se obtienen

$$A = \frac{1}{2} \quad a = 1 \quad b = 1$$

Obteniéndose que la ecuación N°. 75 se transforma en:

$$y_1 = y_0 + \frac{h}{2} [f(x_0, y_0) + f(x_1, y_1)]$$

81

donde

$$y_1^* = y_0 + h f(x_0, y_0)$$

La interpretación geométrica de este método se presenta en la figura N°. 10 y consiste en promediar la pendiente en (x_1, y_1) y en (x_0, y_0) para obtener una representatividad mayor del intervalo que se integra.

De la forma en que se planteó obtener los coeficientes podemos decir que ésta no es la única solución y como ejemplo podemos mencionar que si hubieramos fijado $B=1$ se habría obtenido que $A=0, a=b=\frac{1}{2}$ dando como resultados las fórmulas

$$y_1 = y_0 + h f\left(x_0 + \frac{h}{2}, \bar{y}\right)$$

$$\bar{y} = y_0 + \frac{h}{2} f(x_0, y_0)$$

83

ambas soluciones tienen una función de error semejante, pues se obtuvieron de la misma serie truncada, sin embargo es ilógico esperar que ambas soluciones tengan la misma exactitud.

En la parte experimental de este trabajo, se diseño la sub-rutina Heuns con una modificación del método de Heuns que consiste en efectuar el promedio varias veces como puede indicarse con el conjunto de ecuaciones siguiente:

$$\bar{y}_a = y_0 + h f(x_0, y_0)$$

$$\bar{y}_b = y_0 + \frac{h}{2} [f(x_0, y_0) + f(x_1, \bar{y}_a)]$$

$$\bar{y}_c = y_0 + \frac{h}{2} [f(x_0, y_0) + f(x_1, \bar{y}_b)]$$

$$\bar{y}_d = y_0 + \frac{h}{2} [f(x_0, y_0) + f(x_1, \bar{y}_c)]$$

$$y_1 = y_0 + \frac{h}{2} [f(x_0, y_0) + f(x_1, \bar{y}_d)]$$

84

esta modificación permite reducir el error, con resultados mejores, siendo menor el error real que el de truncación de la serie el cual estará dado por

$$\epsilon_r = \frac{f'''(x_*, y(x_*))}{3!} h^3 = K h^3$$

85

y como se necesita calcular el error del método para después de integrar con n pasos, el error total será:

$$\epsilon_T = n K h^3$$

esta fórmula nos hace ver que para valores pequeños de h debe tener menor error este método que el de Euler, es decir, tiene mayor grado de convergencia.

Como existe una propagación del error la forma definitiva para el error total para n pasos del método de Heuns será $\epsilon_T = L h^2 + M h^3$ fórmula que se puede aproximar a $\epsilon_T = L h^2$ pues para valores de h pequeños el segundo término es despreciable.

Las fórmulas No. 85 y 89 se pueden aplicar en forma idéntica a las ecuaciones No. 67 y 70 respectivamente.

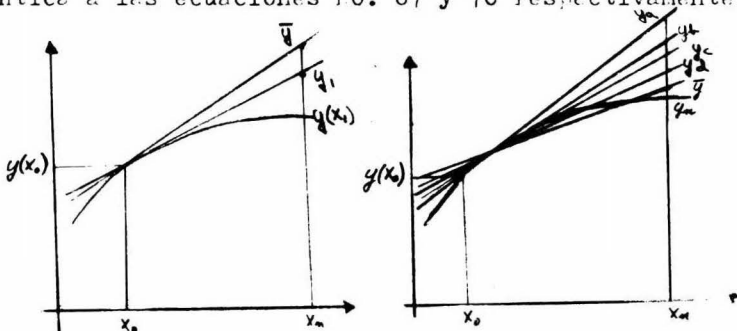


FIGURA No. 10

Método de Runge:

Sí pretendemos obtener la solución para la expan-

sión con tres términos, es decir, requerimos obtener los valores de las constantes para la ecuación

$$y(x_i) = y(x_0) + h(Ak_1 + Bk_2 + Ck_3)$$

89

podemos expander por series de Taylor para obtener el siguiente conjunto de ecuaciones simultáneas:

$$\begin{aligned} A + B + C &= 1 \\ Ba + Cb &= \frac{1}{2} \\ Ba^2 + Cb^2 &= \frac{1}{3} \\ CaC &= \frac{1}{6} \end{aligned}$$

90

misma que al resolverse simultáneamente, fijando alguno de los valores para alguna variable, nos da como resultado las siguientes ecuaciones:

$$\begin{aligned} y_1 &= y_0 + \frac{h}{6}(k_1 + 4k_2 + k_3) \\ k_1 &= f(x_0, y_0) \\ k_2 &= f\left(x_0 + \frac{1}{2}h, y_0 + \frac{1}{2}hk_1\right) \\ k_3 &= f\left(x_0 + h, y_0 + 2hk_2 - hk_1\right) \end{aligned}$$

91

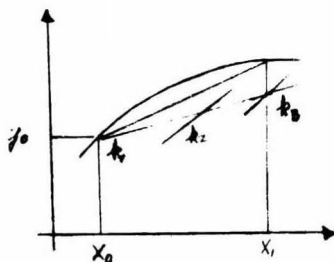
este conjunto de ecuaciones presentará una función de error del tipo

$$E_f = Mh^4 + Nh^5$$

92

para n pasos.

La interpretación geométrica de este método puede apreciarse en la figura No. 11, es sólo un promedio ponderado de las derivadas en el intervalo de integración.



Cabe hacer notar que si la función $y = f(x)$, es decir, solo intervienen los valores de la variable

X , entonces este método se reduce al método de la regla de Simpson y además la función de error se reduce a $E_T = M h^4$

93

FIGURA No. 11

El error local será $\epsilon_L = f'''(x_*, y(x_*)) \frac{h^4}{4!} = K h^4$ y la forma de aplicar estas fórmulas es idéntica a la seguida en el método de Euler con las ecuaciones No. 67 y 70.

Se puede hacer una simplificación debida a que si h es pequeña entonces el término h^5 es despreciable junto a h^4

Método de Runge-Kutta:

Para el caso de obtener una solución de cuarto orden, la cual sería del tipo:

$$y_1 = y_0 + h(Ak_1 + Bk_2 + Ck_3 + Dk_4)$$

94

después de efectuar la expansión se puede plantear un sistema de ecuaciones simultáneas si consideramos:

$$k_1 = f(x_0, y_0)$$

$$k_2 = f(x_0 + \alpha_{11}h, y_0 + \alpha_{12}hk_1)$$

$$k_3 = f(x_0 + \alpha_{21}h, y_0 + \alpha_{22}hk_1 + \alpha_{23}hk_2)$$

$$k_4 = f(x_0 + \alpha_{31}h, y_0 + \alpha_{32}hk_1 + \alpha_{33}hk_2 + \alpha_{34}hk_3)$$

95

condiciones que implican el siguiente conjunto de ecuaciones:

$$A + B + C + D = 1$$

$$Ba_{11} + Ca_{21} + Da_{31} = \frac{1}{2}$$

$$Ba_{11}^2 + Ca_{21}^2 + Da_{31}^2 = \frac{1}{3}$$

$$Ba_{11}^3 + Ca_{21}^3 + Da_{31}^3 = \frac{1}{4}$$

$$Ca_{11}a_{23} + D(a_{11}a_{33} + a_{21}a_{34}) = \frac{1}{6}$$

$$Ca_{11}^2a_{23} + D(a_{11}^2a_{33} + a_{21}^2a_{34}) = \frac{1}{12}$$

$$Ca_{11}a_{21}a_{23} + D(a_{11}a_{33} + a_{21}a_{34})a_{31} = \frac{1}{8}$$

$$Da_{11}a_{23}a_{34} = \frac{1}{24}$$

$$a_{11} = a_{12}$$

$$a_{21} = a_{22} + a_{23}$$

$$a_{31} = a_{32} + a_{33} + a_{34}$$

96

si se fija una variable se puede obtener el siguiente sistema como solución

$$y_1 = y_0 + \frac{h}{8}(k_1 + 3k_2 + 3k_3 + k_4)$$

$$k_1 = f(x_0, y_0)$$

$$k_2 = f(x_0 + \frac{1}{3}h, y_0 + \frac{1}{3}hk_1)$$

$$k_3 = f(x_0 + \frac{2}{3}h, y_0 - \frac{1}{3}hk_1 + hk_2)$$

$$k_4 = f(x_0 + h, y_0 + hk_1 - hk_2 + hk_3)$$

97

Otra solución es cuando se fija $a_{34}=1$, dando

$$y_1 = y_0 + \frac{h}{6} (k_1 + 2k_2 + 2k_3 + k_4)$$

$$k_1 = f(x_0, y_0)$$

$$k_2 = f\left(x_0 + \frac{1}{2}h, y_0 + \frac{1}{2}hk_1\right)$$

$$k_3 = f\left(x_0 + \frac{1}{2}h, y_0 + \frac{1}{2}h(k_2)\right)$$

$$k_4 = f(x_0 + h, y_0 + hk_3)$$

98

Las anteriores soluciones se deben a Kutta, y en general es más aplicada la segunda.

Existen otras soluciones al sistema No. 96, y a continuación se escribe la que se debe a Grill.

$$y_1 = y_0 + \frac{h}{6} [k_1 + 2(1 - \frac{1}{\sqrt{2}})k_2 + 2(1 + \frac{1}{\sqrt{2}})k_3 + k_4]$$

$$k_1 = f(x_0, y_0)$$

$$k_2 = f\left(x_0 + \frac{1}{2}h, y_0 + \frac{1}{2}hk_1\right)$$

$$k_3 = f\left(x_0 + \frac{1}{2}h, y_0 + \left(-\frac{1}{2} + \frac{1}{\sqrt{2}}\right)hk_1 + \left(1 - \frac{1}{\sqrt{2}}\right)hk_2\right)$$

$$k_4 = f\left(x_0 + h, y_0 - \frac{1}{\sqrt{2}}hk_2 + \left(1 + \frac{1}{\sqrt{2}}\right)hk_3\right)$$

99

Todos estos métodos presentan una fórmula de error para un único paso procedente de la truncación en la serie de Taylor, esté dada por

$$\epsilon_1 = \frac{f''(x_0, y(x_0))}{5!} h^5 = kh^5$$

100

Para el caso del error total para n pasos tiene una ecuación del tipo

$$\epsilon_T = k_1 h^4 + k_2 h^5$$

101

donde el segundo término es despreciable en comparación con el primero si el tamaño de h es pequeño.

Scraton (9) propone el cálculo de y_1 con h y y_0 con $2h$ suponiendo que $y_1 - y_0 = 30E$ para un paso.

Collatz (10) propone como criterio para conocer E si el tamaño de h es lo suficientemente pequeño para obtener una solución buena el calcular

$$\left| \frac{k_3 - k_2}{k_2 - k_1} \right|$$

y si el resultado es grande (más de un ciento) el tamaño debe reducirse.

Método de Merson:

Para el caso de expandir la serie hasta el término de k^5 hay soluciones como la de Merson, misma que se representa por las ecuaciones

$$y_1 = y_0 + \frac{1}{2}(k_1 + 4k_4 + k_5)$$

$$k_1 = \frac{h}{3} f(x_0, y_0)$$

$$k_2 = \frac{h}{3} f\left(x_0 + \frac{h}{3}, y_0 + k_1\right)$$

$$k_3 = \frac{h}{3} f\left(x_0 + \frac{2h}{3}, y_0 + \frac{k_1}{2} + \frac{k_2}{2}\right)$$

$$k_4 = \frac{h}{3} f\left(x_0 + \frac{5h}{6}, y_0 + \frac{3}{8}k_1 + \frac{9}{8}k_3\right)$$

$$k_5 = \frac{h}{3} f\left(x_0 + h, y_0 + \frac{3}{2}k_1 - \frac{9}{2}k_3 + 6k_4\right)$$

104

Hlavacek (11) plantea el siguiente procedimiento para calcular el error.

El error puede estar dado por

$$\epsilon_1 = \frac{1}{5}k_1 - \frac{9}{10}k_3 + \frac{4}{5}k_4 - \frac{1}{10}k_5$$

105

sí el error máximo permisible E cumple $E < \epsilon_1$, se debe con-

vertir h en la mitad. Si $\epsilon_1 < \frac{E}{32}$ se debe duplicar h .

Scraton (12) presenta alternativa para ecuaciones diferenciales lineales, los cuales cumplen:

$$30E = 2k_0 - 9k_2 + 8k_3 - k_4 + L(h^6)$$

106

ecuación con la cual puede calcularse el error de un solo paso, mismo que corresponde al orden de M^4 cubriendo con exceso los valores de ϵ_1 , (son del orden de M^5).

El método Merson según Scraton está restringido a ecuaciones diferenciales lineales, dado lo cual el error para un paso también se puede calcular con

$$\epsilon = -\frac{8(k_2 - k_1)^3}{15(k_3 - k_0)^2} + L(h^6)$$

107

Call y Peeves (12) sugieren que si M es non se regrese el proceso de integración con un valor de h que debe ser negativo del empleado primero para integrar. La diferencia de este resultado con la condición inicial del primer proceso de integración será aproximadamente el doble del error de la primera integración. Esta sugerencia no es adecuada para cuando M es par. Este criterio puede ser aplicado a todos los procesos de integración.

Método de Milme:

El método de Milme es un ejemplo típico de métodos de pasos múltiples.

En este método se pueden tener ecuaciones de cuarto y sexto orden, que son como sigue:

$$y_4 = y_0 + \frac{4}{3}h(2m_1 - m_2 + 2m_3)$$

108

$$y_6 = y_0 + \frac{3}{10} h (11m_1 - 14m_2 + 26m_3 - 14m_4 + 11m_5) \quad 109$$

donde $m_1 = F(x_1, y_1)$, $m_2 = F(x_2, y_2)$, $m_3 = F(x_3, y_3)$,
 $m_4 = F(x_4, y_4)$, $m_5 = F(x_5, y_5)$

la primera fórmula tiene una función de error

$$\epsilon_1 = K h^5 \quad 110$$

y la segunda

$$\epsilon_1 = K h^7 \quad 111$$

para un paso.

Sí queremos una fórmula para los n pasos tenemos

$$\epsilon_+ = L h^4 + M h^5 \quad 112$$

para la fórmula de cuarto orden y en la de sexto orden se ría:

$$\epsilon_+ = L h^6 + M h^7$$

SOLUCIONES ANALITICAS.

SOLUCIONES ANALITICAS:

Sí deseamos comparar entre si los resultados numéricos de cada uno de los métodos escogidos para efectuar la investigación, con los resultados de una solución analítica, necesitaremos implementar un procedimiento mecánico de cálculo para que la computadora, dependiendo de cada caso obtenga paralelamente las soluciones generales correspondientes, y de ahí puede alcanzarse el valor numérico.

SOLUCION PARA LA ECUACION CON COEFICIENTES CONSTANTES:

Si analizamos el caso de la ecuación

$$y'' + B(Bc+x)^{WL} y' + C(CC+x)^{WLL} y = 0$$

para la cual $WL = WLL = 0$ tendremos una ecuación diferencial de segundo orden con coeficientes constantes de la forma:

$$y'' + By' + Cy = 0$$

115

misma ecuación que presentará la propiedad de ser homogénea y por ésto debe tener una solución del tipo

$$y = C_1 e^{k_1 x} + C_2 e^{k_2 x}$$

116

en la cual k_1 y k_2 son las raíces de la ecuación

$$x^2 + Bx + C = 0 \quad \text{es decir } x = \frac{-B \pm \sqrt{B^2 - 4C}}{2}$$

117

Esta solución hace pensar en dos casos:

$$B^2 - 4C > 0$$

$$B^2 - 4C < 0$$

Para el primer caso, si tenemos las condiciones en la frontera $y(x_0), x_0 = 0$, $y'(x_0)$ podemos decir

$$y(x_0) = C_1 e^{k_1 x_0} + C_2 e^{k_2 x_0}$$

118

$$y'(x_0) = k_1 c_1 e^{k_1 x_0} + k_2 c_2 e^{k_2 x_0} \quad 119$$

mismas ecuaciones que pueden ser resueltas simultáneamente para dar

$$c_2 = \frac{y(x_0) k_1 - y'(x_0)}{e^{k_2 x_0} (k_1 - k_2)} \quad 120$$

$$c_1 = \frac{y(x_0) - c_2 e^{-k_2 x_0}}{e^{-k_1 x_0}} \quad 121$$

valores que sustituidos en la ecuación No. 116 nos dan la solución general para cualquier valor de la variable X .

Sí queremos obtener el valor numérico de la solución para cuando $X = X_*$, lo único que necesitamos hacer es sustituir el valor de X por X_* en la ecuación No. 116, empleando las ecuaciones No. 120 y 121 para conocer c_2 y c_1 .

Para el segundo caso, tendremos dentro del radical de la ecuación No. 117 un número imaginario, por lo cual empleando la relación de Euler podremos escribir la solución en la forma

$$y = e^{px} (\alpha \cos(qx) + \beta \sin(qx)) \quad 122$$

de la que se obtiene

$$y' = p e^{px} (\alpha \cos(qx) + \beta \sin(qx)) + e^{px} (q\beta \cos(qx) - q\alpha \sin(qx))$$

donde

$$p = \frac{\beta}{2} \quad q = \frac{\sqrt{-1(B^2 - 4C)}}{2} \quad 123$$

sí conocemos las condiciones en la frontera $y(x_0), x_0=0$ y $y'(x_0)$ al resolver obtendremos.

$$\alpha = \frac{y(x_0) - e^{px_0} \beta \sin(qx_0)}{e^{px_0} \cos(qx_0)} \quad 124$$

$$\beta = \frac{y'(x_0) \cos(qx_0) - p y(x_0) \cos(qx_0) + y(x_0) q \sin(qx_0)}{q e^{px_0}} \quad 125$$

Siguiendo lo establecido en la ecuación N°. 122 y empleando la ecuación N°. 124 y 125, se puede obtener la solución de la ecuación para cualquier valor de X , cuando ésta forme parte del grupo del segundo caso.

Siguiendo el procedimiento en la SUB-RUTINA ANALIT de la parte experimental de este trabajo, se obtiene el valor para y_n , dependiendo solo su resolución de los valores que se suministran a la sub-rutina para las variables $B, C, y(x_0), y'(x_0), x_0$, y x_n .

La computadora reportará los resultados en notación científica, con guarismos significativos hasta la octava cifra (así se lo indicamos) y resulta lo más conveniente pues la máquina en que se desarrolló este trabajo efectúa hasta la octava cifra las operaciones, y además el extensísimo rango en el cual se puede obtener la respuesta solo lo cubrimos en esa notación.

SOLUCIÓN PARA LA ECUACIÓN CON COEFICIENTES VARIABLES:

Si $WL=WLL=BC=CC=1$ en la ecuación N°. 114. podemos reducir a

$$y'' + a_0(1+x)y' + b_0(1+x)y = 0 \quad 126$$

y al aplicar la solución por Series de Taylor tendremos

$$y = \sum_{m=0}^{\infty} C_m x^m = C_0 x^0 + C_1 x^1 + C_2 x^2 + C_3 x^3 + \dots \quad 127$$

$$y' = \sum_{m=0}^{\infty} m C_m X^{m-1} = C_1 + 2C_2 X + 3C_3 X^2 + 4C_4 X^3 + \dots \quad 128$$

$$y'' = \sum_{m=0}^{\infty} (m-1)(m) C_m X^{m-2} = 2C_2 + 6C_3 X + 12C_4 X^2 + 4C_4 X^3 + \dots \quad 129$$

y la ecuación N°. 126 sustituida por los valores de las ecuaciones N°. 127, 128 y 129 en:

$$\sum_{m=0}^{\infty} (m-1)m C_m X^{m-2} + a_0(1-x) \sum_{m=0}^{\infty} m C_m X^{m-1} + b_0(1-x) \sum_{m=0}^{\infty} C_m X^m = 0 \quad 130$$

y desarrollando en series tenemos:

$$2C_2 + 6C_3 X + 12C_4 X^2 + 20C_5 X^3 + a_0(1+x) \{C_1 + 2C_2 X + 3C_3 X^2 + 4C_4 X^3\} + \\ b_0(1+x) \{C_0 + C_1 X + C_2 X^2 + C_3 X^3\} = 0$$

factorizando las potencias en X e igualarlo a cero en virtud que es la única solución de la ecuación N°. 131 tendremos:

$$2C_2 + C_1 a_0 + C_0 b_0 = 0$$

$$X(6C_3 + C_1 a_0 + 2C_2 a_0 + C_0 b_0 + C_1 b_0) = 0$$

$$X^2(12C_4 + 2C_2 a_0 + 3C_3 a_0 + C_1 b_0 + C_2 b_0) = 0$$

$$X^3(20C_5 + 3C_3 a_0 + 4C_4 a_0 + C_2 b_0 + C_3 b_0) = 0$$

$$X^4(4C_4 a_0 + C_3 b_0) = 0$$

resolviendo simultáneamente:

$$C_2 = - (C_1 a_0 + C_0 b_0) / 2.$$

$$C_3 = - (C_1 a_0 + C_0 b_0 + 2C_2 a_0 + C_1 b_0) / 6.$$

$$C_4 = - (2C_2 a_0 + 3C_3 a_0 + C_1 b_0 + C_2 b_0) / 12.$$

$$C_5 = - (3C_3 a_0 + 4C_4 a_0 + C_2 b_0 + C_3 b_0) / 20.$$

donde C_0 y C_1 , se obtienen de las condiciones en la frontera

$$y(0) = C_0 + C_1(0) + \dots \rightarrow C_0 = y(0)$$

$$y'(0) = C_1 + C_2(0) + \dots \rightarrow C_1 = y'(0)$$

rearreglando

$$C_2 = -(C_1 a_0 + C_0 b_0)/2.$$

$$C_3 = -(2C_2 + 2C_1 a_0 + C_0 b_0)/6. = -(2C_2(1+a_0) + C_0 b_0)/6.$$

$$C_4 = -((2C_2 + 3C_3)a_0 + (C_1 + C_2)b_0)/12.$$

$$C_5 = -((3C_3 + 4C_4)a_0 + (C_2 + C_3)b_0)/20.$$

135

entonces intuimos

$$C_m = \frac{1}{m(m-1)} \left[\{(m-2)C_{m-2} + (m-1)C_{m-1}\}a_0 + \{C_{m-3} + C_{m-2}\}b_0 \right]$$

136

y por lo tanto la solución es

$$y = \sum_{m=0}^{\infty} C_m x^m$$

donde cada C_m se define por la ecuación No. 136

Como es imposible obtener la sumatoria para todos los términos, en la sub-rutina ANALIT, para la resolución de la ecuación No. 114, solo se obtiene hasta el término décimo octavo. Si la serie es convergente como en este caso el error máximo en que se puede incurrir al truncarla puede obtenerse de comparar la solución de la ecuación No. 136 con la serie de Taylor.

$$f(x) = f(a) + f'(a)(x-a) + \frac{f''(a)(x-a)^2}{2!} + \dots + \frac{f^{(m)}(a)(x-a)^m}{(m-1)!} + R_m(x)$$

donde

$$R_m(x) = \frac{f^{(m)}(x_*)}{m!}(x-a)^m$$

138

y se denomina residuo de Lagrange. Como se desea la solución conociendo $a=0$, $y(x_0) = f(a)$ y $f'(x_0) = f'(a)$

$$R_{19}(x) = \frac{f^{(19)}(x_*)}{19!}(x)^{19}$$

139

y en vista de que el límite hasta el cual se quiere integrar

es $X=1$, será el mayor valor que puede adquirir X^{\sim} :

$$R_{19}(X) = \frac{f^{19}(1)}{19!} (1)^{19} \quad 140$$

$$\frac{f^{19}(1)}{19!} = \frac{1}{19 \times 18} \left[\{17c_7 + 18c_8\} a_0 + \{c_6 + c_7\} b_0 \right] \quad 141$$

Este error podemos emplearlo en el programa de cálculo para asegurar no tenga importancia tal, como para modificar sensiblemente los resultados, con lo cual el programa funcione para cuando el grado de convergencia es lo suficientemente bueno como para no recurrir al cálculo de mayor cantidad de términos.

RESULTADOS Y CONCLUSIONES.

RESULTADOS:

Para poder dar opiniones que se apoyaran en evidencia, se diseño un programa computacional con el cual se obtuvieron las soluciones numéricas para varios métodos a la ecuación diferencial.

$$AY'' + B(BL+X)^{WL}y' + C(CL+X)^{WLL}y = D$$

Cada método de integración se mantuvo como una sub-rutina, las cuales se presentaron en la siguiente forma:

SUBROUTINE EULER.

SUBROUTINE RUFFES.

SUBROUTINE RUNGE.

SUBROUTINE KUTTA.

SUBROUTINE KUTTA2.

SUBROUTINE MILNE.

SUBROUTINE MERSON.

SUBROUTINE ANALIT.

El nombre de cada sub-rutina corresponde al del método empleado, aclarando que en el caso de la sub-rutina Kutta se usa el primer método de Runge-Kutta, en la sub-rutina Kutta2 se utiliza el segundo método de Runge-Kutta y la sub-rutina Analit está relacionada con las soluciones analíticas.

Para efectuar la integración por un método tan solo era necesario llamar a la sub-rutina indicando los valores de las variables y constantes de la ecuación en orden y ésta proporciona la solución correspondiente.

Para mayor claridad, las variables que requieren cada sub-rutina tienen el significado siguiente:

A, B, BI, WL, C, CL, WLL y D son determinadas por

el valor que tienen en la ecuación diferencial.

X_0 , Y_0 y Z_0 son las condiciones iniciales, siendo $Z_0=Y_0$ y en la práctica están determinados en cada problema.

WN es el número de subdivisiones en el intervalo que se integra, cantidad cuyo valor crítico nos ocupa conocer.

X_N es la condición final y

Y_N la solución para cuando se alcanza X_N .

Se pueden analizar en este programa nueve series de condiciones iniciales, se utilizan cinco valores distintos para WN y veinte series de números para A, B, C y D que principalmente se hacen variar en B y C.

Todos los valores que adquieran las variables en el programa aparecen en las tablas siguientes:

TABLA N°. 2
VALORES DE WN .

I	1	2	3	4	5
$WN(I)$	10	20	25	50	80

TABLA NO. 3.
SERIES DE COEFICIENTES

	A	B	C	BL	CL	D
I	A(J,I,K,L)	B(J,I,K,L)	C(J,I,K,L)	BL(I)	CL(I)	D(I)
1	1	.01	.01	0.	0.	0.
2	1	-.01	.01	0.	0.	0.
3	1	.1	.1	0.	0.	0.
4	1	-.1	.1	0.	0.	0.
5	1	1.	.01	0.	0.	0.
6	1	-1.	.01	0.	0.	0.
7	1	1.	1.	0.	0.	0.
8	1	-1.	1.	0.	0.	0.
9	1	.01	1.	0.	0.	0.
10	1	-.01	1.	0.	0.	0.
11	1	1.	100.	0.	0.	0.
12	1	-1.	100.	0.	0.	0.
13	1	100.	100.	0.	0.	0.
14	1	-100.	100.	0.	0.	0.
15	1	100.	1.	0.	0.	0.
16	1	1.	1.	0.	0.	0
17	1	-100.	1.	0.	0.	0
18	1	10.	1.	0.	0.	0
19	1	-10.	10.	0.	0.	0
20	1	-1.	10.	0.	0.	0

TABLA NO. 3 (continuacion)

	A (J,I,K,L)	B (J,I,K,L)	C (J,I,K,L)	BL BL(2)	CL CL(2)	D D(1)
I						
1	1	.01	.01	1	1	0.
2	1	-01	.01	1	1	0.
3	1	.1	.1	1	1	0.
4	1	-1	.1	1	1	0.
5	1	1.	.01	1	1	0.
6	1	-1.	.01	1	1	0.
7	1	1.	1.	1	1	0.
8	1	-1.	1.	1	1	0.
9	1	.01	1.	1	1	0.
10	1	-01	1.	1	1	0.
11	1	1.	100.	1	1	0.
12	1	-1.	100.	1	1	0.
13	1	100.	100.	1	1	0
14	1	-100.	100.	1	1	0
15	1	100.	1.	1	1	0
16	1	1.	1.	1	1	0
17	1	-100.	1.	1	1	0
18	1	10.	1.	1	1	0
19	1	-10.	10.	1	1	0
20	1	-1.	10.	1	1	0

TABLA NO 4.

CONDICIONES INICIALES Y FINALES

I	$X_0(I)$	$X_N(I)$	$Y_0(I)$	$Y_0' = Z_0(I)$
1	0	1.	.001	.001
2	0	1.	.01	.01
3	0	1.	.001	.01
4	0	1.	.01	.001
5	0	1.	.1	.1
6	0	1.	.001	.1
7	0	1.	.01	.1
8	0	1.	.1	.001
9	0	1.	.01	.01

Toda la información se almacena mediante un sistema de arreglos matriciales los cuales permiten dar resultados en forma más práctica y de esa manera obtener una conclusión rápida sobre el comportamiento de los métodos empleados.

El programa principal, que constituye la forma de ordenación de los datos y resultados, la sub-rutina de cálculo y las funciones auxiliares para la obtención de los resultados aparecen a continuación, en el apéndice I, tal como fueron suministradas a la máquina. Los datos fueron proporcionados a la computadora por una terminal de teletipo y dado que se ordenó ejecutar el programa desde la misma terminal varias veces, los datos fueron por conveniencia guardados en una sub-rutina, misma que sigue al programa principal.

De todas las soluciones obtenidas (no fué posible conocer algunas por llegar a números fuera del alcance de la máquina) se pueden resaltar los siguientes resultados:

A medida que WN aumenta se presenta que todos los métodos tienen la tendencia general a converger al valor de la solución, pero cabe hacer notar que para los métodos aquí tratados los errores en ocasiones oscilan y a veces crecen sensiblemente al aumentar WN , en contra de lo que la lógica nos hace pensar. Esto implica que las funciones de error de estos métodos no operan como debía esperarse; además nos hace pensar en la invalidez de las fórmulas propuestas para otros métodos, pues éstas se obtienen a partir de los mismos razonamientos que originaron las primeras.

El problema de encontrar un valor de WN crítico, después del cual todos los métodos den resultados acepta-

bles, no puede ser resuelto por el camino de las funciones de error propuestas y en efecto se puede observar que el error por la integración numérica no sigue esas funciones, para ninguno de los siete métodos que sirvieron para este experimento.

Vale la pena señalar que la solución por series de Taylor no siempre converge al resultado real, dependiendo de las condiciones y constantes de la ecuación diferencial suministradas a esa sub-rutina.

De todos los métodos mencionados podemos considerar: el de Milme, no da soluciones satisfactorias para el tipo de ecuación que se propone; el de Runge-Kutta (en cualquiera de sus dos formas) es el que mayor velocidad de convergencia presenta, además de ser el mejor respecto a la precisión que alcanza comparado con los otros, siguiéndolo el de Heuns y el de Merson.

Los dos métodos de Runge-Kutta dan resultados muy cercanos, casi iguales, que nos hacen considerarlos como del mismo grado de aproximación, es decir, sus velocidades de convergencia a la solución exacta son semejantes.

La velocidad con que el método de Runge-Kutta se acerca inicialmente a la solución es la más alta de todos los métodos, pero cuando está cercano a la respuesta, su velocidad disminuye. El método de Merson presenta un fenómeno similar menos marcado. El método de Heuns mantiene una velocidad de acercamiento inferior al método de Runge-Kutta cuando WN es baja, pero cuando el método de Runge-Kutta converge sobre la solución el de Heuns no tarda en hacerlo rápidamente. Cuando el método de Runge-Kutta llega a un resultado aceptable le sigue el de Heuns.

La regla práctica de aumentar WN si las solucio-

nes de un método no son iguales a distintos valores de WN, no es adecuada pues se pueden observar casos en los cuales el error se mantiene constante o aumenta aunque se cambie WN. Esta conclusión también le quita validez a la aplicación de este criterio sobre los otros métodos, pues aunque resulta lógico, se comprobó su falta de operancia.

Entre las soluciones que se obtuvieron y de las cuales aparecen algunas de las más significativas en el apéndice II de este trabajo, podemos mencionar muy especialmente la determinada por los siguientes valores:

TABLA NO. 5

A	B	C	D	BL	CL
10	1.	10.	0.	1.	1.

WL	WLL	Xo	yo	Zo	XN
10	10	0.	.01	.1	10

Para estos valores se puede observar que el mejor método de los tratados en este trabajo (el de Runge-Kutta) sufre un crecimiento de error al agrandarse WN. También aumenta el error en el método de Euler, en el de Runge con estas condiciones.

Dentro del mismo apéndice se puede ver también que el error crece cuando se aumenta WN para el método de de Heuns con los datos siguientes:

TABLA N°.6

A	B	C	D	BL	CL
1.	100.	100.	0.	1.	1.

WL	WLL	X ₀	Y ₀	Z ₀	X _N
0	0	0	.1	.1	1.

Y para el método de Morson se presenta igual situación en los datos siguientes:

TABLA N°.7

A	B	C	D	BL	CL
1	-100.	100.	0.	1.	1.

WL	WLL	X ₀	Y ₀	Z ₀	X _N
0.	0.	0.	.001	.001	1.

Para algunos métodos este fenómeno se presenta varias veces en los resultados, pero considero solo necesario mencionar las condiciones con que sucede una vez, para poder llegar a las consecuencias aquí señaladas.

De lo anterior podemos llegar a las siguientes

CONCLUSIONES:

I.- El método de integración numérica, de los aquí analizados que mejores resultados en cuanto a exactitud y rapidez obtiene, es el de Runge-Kutta, en cualquiera de sus dos formas.

Existe una diferencia despreciable en las soluciones, indicandonos que la segunda sub-rutina de Runge Kutta las obtiene mejores, pero en la práctica esta diferencia es muy pequeña, lo cual se deduce de comparar los errores relativos, mismos que aparecen calculados en los resultados del programa y en parte están contenidos en el apéndice II de este trabajo.

Cuando el método de Runge-Kutta llega a la respuesta el método de Heuns lo sigue en precisión y a medida que se aumenta WN los resultados de ambos métodos tienden a ser iguales, propiedad que también presentan los otros métodos pero más lentamente, es decir la solución se alcanza más rápidamente por el método de Runge-Kutta y después por el de Heuns.

II.- El procedimiento de encontrar el valor de WN crítico por fórmulas de error para el método empleado, podemos considerarlo poco útil, pues se han podido detectar resultados con los que se demuestra su falta de eficiencia y de los cuales ya hemos hecho mención.

III.- Como criterio para saber si WN es suficientemente grande para dar resultados confiables se pueden proponer el siguiente:

Se debe calcular la solución por el método de

Runge-Kutta y por el de Heuns. Si la solución de uno es igual al otro, WN es suficiente.

Sí no son iguales los resultados es necesario aumentar WN, repitiéndose este aumento hasta el momento de obtener soluciones iguales.

Como medida de seguridad se podría aumentar WN y volver a calcular la solución para obtener así un resultado que posea mayor grado de certeza.

Este procedimiento se basa en aplicar los resultados obtenidos, los cuales nos indican que el ahorro de tiempo de cálculo se hará mejor si se emplean los métodos que llegan a la respuesta más rápidamente y en este caso resultan ser los de Runge-Kutta y el de Heuns.

Es admisible en el caso de igualarse los resultados por los dos métodos, el afirmar haber encontrado la respuesta, lo que se puede comprobar con los resultados obtenidos en el programa computacional efectuado para este trabajo.

También podemos ver en los resultados la velocidad de convergencia sobre la solución de estos métodos, la cual es distinta y de la que podemos esperar se iguale, cuando se acerca a cero, por eso debemos considerar que sus resultados son cercanos pero cuando esa velocidad de aproximación llegue a ser despreciable.

Sí al obtener las soluciones por los dos métodos resultan iguales y además si al recalcularlas para un valor de WN mayor no varía ese resultado, estamos en un caso de coincidencia de resultados y de velocidades de convergencia, que nos hace suponer el haber obtenido la resolución buscada.

Existe una probabilidad muy pequeña para que ambos métodos coincidan en un resultado sin ser éste la solución, pero para coincidir además las velocidades de convergencia de estos dos métodos se requiere que los resultados estén muy cerca de la respuesta verdadera, pues ambos métodos tienen velocidades de convergencia distintos cuando se encuentran lejos de la solución, debido a sus diferentes estructuras.

Resumiendo lo anterior, si queremos fijar el valor de WN con el cual obtendremos una buena respuesta se deben calcular las soluciones para el método de Heuns y el de Runge-Kutta aumentando WN hasta que ambos métodos igualen sus resultados. Y para obtener mayor seguridad de que esa es la respuesta correcta se debe aumentar nuevamente WN para efectuar los cálculos y comparar las variaciones existentes entre los dos resultados con los mayores valores de WN para cada método; si esa diferencia es pequeña, mejor dicho despreciable respecto a la respuesta, entonces hemos obtenido la solución.

En esta forma podemos contar con un criterio para saber si ya se ha llegado a una solución satisfactoria, problema que podíamos considerar no resuelto al haber comprobado la falta de efectividad de los métodos publicados en trabajos sobre esta materia y los cuales fueron mencionados anteriormente.

BIBLIOGRAFIA:

- 1.- Macon N., Numerical Analysis, Wiley, Nva. York (1963)
- 2.- Satterfield C. N., Mass Transfer in Heterogeneous Catalysis, M.I.T. Press, Pág. 132-135.
- 3.- Levenspiel O., Chemical Reaction Engineering.- Mc. Graw Hill. Pág. 468-475.
- 4.- Smith J. M., Chemical Engineering Kinetics, Mc. Graw Hill. Pág. 500-539.
- 5.- Daizo Kunii and Levenspiel O., Fluidization Engineering, Wiley. Pág. 426-429.
- 6.- Schlichting.- Boundary Layer Theory.- Mc. Graw Hill.
- 7.- Hartree D.R.- Numerical Analysis.- Univerty Press, Londres (1958) Pág. 116.
- 8.- Butler R. and Kerr E., Introduction to Numerical Methods. Pitman, Londres (1962)
- 9.- Scraton R.E.- Estimation of the Truncation Error in Runge-Kutta and Allied Processes.- The Computer Journal.
- 10.- Booth A. D.- Numerical Methods.- Butterworths.- Londres (1957).
- 11.- Hlavacek V.- Aspects in Packed Catalytic Reactors.- Industrial and Engineering Chemistry. Vol. 62 No. 7 Pág. 15.
- 12.- Merson, R. H.- An Operational Method for Study of Integration Processes.- Proceedings of Symposium on Data Processing, Weapons Research Establishment, Salisbury, S. Australia.
- 13.- Milne W.E.- Numerical Solution of Differential Equations, Wiley, Nueva York (1953) Pág. 73.
- 14.- Larce G.N.- Numerical Methods for High Speed Computers, Iliffe, Londres. (1960) Pág. 19-22 y 30-32.
- 15.- Langer.- On Numerical Approximation.- The University of Wisconsin Press (1959)
- 16.- Handcomb D. C.- Methods of Numerical Approximation.- Pergamon Press (1965) Pág. 172-173 y 177-181.
- 17.- Fox J.- The Numerical Solution of Two-Point Boundary Problems in Ordinary Differential Equations.- Oxford University Press, Jordres (1957).

- 18.- Herici P.- Discrete Variable Methods in Ordinary Differential Equations, John Wiley, Nueva York (1962).
- 19.- Hicks J.S. and Wei J.J. Assoc. Comp. Mach. (1967) Pág. 14,599.
- 20.- Villadsen J. U. and Stewart W.R.- Chem. Engng. Sci. (1967) Pág. 22,1483.
- 21.- Mc. Kracken, Numerical Methods and Fortran Programming, Wiley. Pág. 44.
- 22.- Mc. Kracken D.D., Fortran IV.- Wiley.
- 23.- Hamming R.W.- Numerical Methods for Scientists and Engineers., Mc. Graw Hill. (1962).
- 24.- Henrici Peter.- Elements of Numerical Analysis., Wiley. (1964).
- 25.- Kelly L.W.- Handbook of Numerical Methods and Application, Addison Wesley (1967)
- 26.- Henrici Peter.- Error Propagation for Difference Methods. Wiley. (1963).
- 27.- Kaplan W.- Ordinary Differential Equations.- Addison Wesley. (1958).
- 28.- Perry J.H.- Chemical Engineers Handbook.- Mc. Graw Hill (1963).
- 29.- Mickle H.S., Sherwood T.K. and Peet C.E., Applied Mathematics in Chemical Engineering, Mc. Graw Hill (1957)
- 30.- Kubicek M. and Hlavacek V., Solution of Nonlinear Boundary value problems.- Chem. Eng. Sci. Vol.27 No.4 Pág.743, Vol.25. No. 12 Pág. 1833.
- 31.- Ferguson F.R. and Firlitson B.A.- Error Bounds for Approximate Solutions to Nonlinear Ordinary Differential Equations.- A.I.Ch. E. Journal, Vol. 18 No. 5 Pág. 1053.
- 32.- Carnahan R. and Luther H.A.- Applied Numerical Methods.- Wiley.
- 33.- Solution of Nonlinear B. value problems.- Kubicek.- C.R.S. Vol. 26 No. 3 Pág. 321, Vol.27 No. 11 Pág. 2095 y Vol. 28 No. 4 Pág. 1049.
- 34.- Reaction Kinetics for Chemical Engineers.- Stanney M. Welas. Mc. Graw Hill. Pág. 233.

APPENDICE I.

PROGRAMA DE CALCULO.

```

$RESET FREE
  DIMENSION X0(9),Y0(9),Z0(9),B(7,20,9,9),C(7,20,9,9),YN(7,20,9,9),
  1EA(7,20,9,9),ER(7,20,9,9),XN(9),WN(9),JN(20,9)
    WL=1.
    IN=1.
    IM=20.
110 CONTINUE
  CALL DATOS(X0,Y0,Z0,XN,WN,A,B,C,D,BL,CL,WL,WLL)
  DO 20 I=IN,IM
  DO 20 K=1,9
  DO 20 J=1,5
    CALL EULER (X0(K),Y0(K),Z0(K),XN(K),WN(J),A,B(1,I,J,K),C(1,I,J,K),
    1D,YN(1,I,J,K),BL,WL,CL,WLL)
    CALL HEUNS (X0(K),Y0(K),Z0(K),XN(K),WN(J),A,B(2,I,J,K),C(2,I,J,K),
    1D,YN(2,I,J,K),BL,WL,CL,WLL)
    CALL RUNGE (X0(K),Y0(K),Z0(K),XN(K),WN(J),A,B(3,I,J,K),C(3,I,J,K),
    1D,YN(3,I,J,K),BL,WL,CL,WLL)
    CALL KUTTA (X0(K),Y0(K),Z0(K),XN(K),WN(J),A,B(5,I,J,K),C(5,I,J,K),
    1D,YN(5,I,J,K),BL,WL,CL,WLL)
    CALL KUTTA2(X0(K),Y0(K),Z0(K),XN(K),WN(J),A,B(4,I,J,K),C(4,I,J,K),
    1D,YN(4,I,J,K),BL,WL,CL,WLL)
    CALL MERSON(X0(K),Y0(K),Z0(K),XN(K),WN(J),A,B(6,I,J,K),C(6,I,J,K),
    1D,YN(6,I,J,K),BL,WL,CL,WLL)
20 CONTINUE
  DO 25 I=IN,IM
  DO 25 L=1,9
    CALL ANALIT(X0(L),Y0(L),Z0(L),XN(L),WN(1),A,B(7,I,1,L),C(7,I,1,L),
    1D,YN(7,I,1,L),BL,WL,CL,WLL)
25 CONTINUE
  DO 30 I=1,6
  DO 30 J=IN,IM
  DO 30 L=1,9
  DO 30 K=1,5
    EA(I,J,K,L)=YN(I,J,K,L)-YN(7,J,1,L)
    YW=YN(7,J,1,L)
    IF (YW=0.0)40,50,40
40  FR(I,J,K,L)=EA(I,J,K,L)/YN(7,J,1,L)
  GO TO 30
50  ER(I,J,K,L)=10001.01
  PRINT 4,J,L
4  FORMAT (10X,39H SOLUCION ANALITICA CON VALOR CERO EN J=,I2,2HL=,11)
30 CONTINUE
  PRINT 5
5  FORMAT(43X,46H RESULTADOS DE ERROR EN LA INTEGRACION NUMERICA,/,
  152X,28H PARA LA ECUACION DIFERENCIAL,/,44X,44HA*Y +B*((BL+X)**WL)
  1*Y +C*((CL+X)**JLL)*Y=0 ,///,3X,6H METODO,6X,37H CONSTANTES DE LA
  1 ECUACION DIFERENCIAL,3X,31H CONDICIONES INICIALES Y FINALES,4X,
  1 9H RESULTADO,5X,25H ERROR ABSOLUTO Y RELATIVO )
    DO 60 I=IN,IM
    DO 60 K=1,9
      L=K
    DO 60 J=1,5
    PRINT 6
6  FORMAT (15X,1HA,6X,1HB,8X,1HC,4X,1HD,2X,2HBL,1X,2HCL,1X,2HWL,1X,
  13HLL,5X,2HX0,6X,2HY0,7X,2HZ0,5X,2HVN,3X,2HXM,7X,2HYN,12X,2HEA,12X
  12HER )
    PRINT 7,A,B(1,I,J,K),C(1,I,J,K),D,BL,CL,WL,WLL,X0(L),Y0(L),

```

```

1 Z0(L),WN(J),XN(L),YN(1,I,J,K),FA(1,I,J,K),ER(1,I,J,K)
PRINT 8,A,B(P,T,J,K),C(2,I,J,K),D,BL,CL,WL,WLL,X0(L),Y0(L),
1 Z0(L),WN(J),XN(L),YN(2,I,J,K),EA(2,I,J,K),FR(2,I,J,K)
PRINT 9,A,B(3,I,J,K),C(3,I,J,K),D,BL,CL,WL,WLL,X0(L),Y0(L),
1 Z0(L),WN(J),XN(L),YN(3,I,J,K),FA(3,I,J,K),FR(3,I,J,K)
PRINT 12,A,B(5,I,J,K),C(5,I,J,K),D,BL,CL,WL,WLL,X0(L),Y0(L),
1 Z0(L),WN(J),XN(L),YN(5,I,J,K),EA(5,I,J,K),ER(5,I,J,K)
PRINT 11,A,B(4,I,J,K),C(4,I,J,K),D,BL,CL,WL,WLL,X0(L),Y0(L),
1 Z0(L),WN(J),XN(L),YN(4,I,J,K),FA(4,I,J,K),FR(4,I,J,K)
PRINT 13,A,B(6,I,J,K),C(6,I,J,K),D,BL,CL,WL,WLL,X0(L),Y0(L),
1 Z0(L),WN(J),XN(L),YN(6,I,J,K),EA(6,I,J,K),ER(6,I,J,K)
PRINT 14,A,B(7,I,J,K),C(7,I,J,K),D,BL,CL,WL,WLL,X0(L),Y0(L),
1 Z0(L),WN(J),XN(L),YN(7,I,J,K),EA(7,I,J,K),ER(7,I,J,K)
7 FORMAT (3X,5HEULEP ,7X,F2.0,X,F8.3,X,F8.3,X,F2.0,X,F2.0,X,
1 F2.0,X,F2.0,X,F3.1,4X,F5.3,X,F8.3,X,F8.3,X,F4.0,X,F5.3,X,E14.7,
1 X,E14.7,X,F11.7)
8 FORMAT (3X,5HHEUNS ,7X,F2.0,X,F8.3,X,F8.3,X,F2.0,X,F2.0,X,
1 F2.0,X,F2.0,X,F3.1,4X,F5.3,X,F8.3,X,F8.3,X,F4.0,X,F5.3,X,E14.7,
1 X,E14.7,X,F11.7)
9 FORMAT (3X,5HRUNGE ,7X,F2.0,X,F8.3,X,F8.3,X,F2.0,X,F2.0,X,
1 F2.0,X,F2.0,X,F3.1,4X,F5.3,X,F8.3,X,F8.3,X,F4.0,X,F5.3,X,E14.7,
1 X,E14.7,X,F11.7)
11 FORMAT (3X,8HR-KUTTA2,4X,F2.0,X,F8.3,X,F8.3,X,F2.0,X,F2.0,X,
1 F2.0,X,F2.0,X,F3.1,4X,F5.3,X,F8.3,X,F8.3,X,F4.0,X,F5.3,X,E14.7,
1 X,E14.7,X,F11.7)
12 FORMAT (3X,11HRUNGE-KUTTA,1X,F2.0,X,F8.3,X,F8.3,X,F2.0,X,F2.0,X,
1 F2.0,X,F2.0,X,F3.1,4X,F5.3,X,F8.3,X,F8.3,X,F4.0,X,F5.3,X,E14.7,
1 X,F14.7,X,F11.7)
13 FORMAT (3X,6HMERSON ,6X,F2.0,X,F8.3,X,F8.3,X,F2.0,X,F2.0,X,
1 F2.0,X,F2.0,X,F3.1,4X,F5.3,X,F8.3,X,F8.3,X,F4.0,X,F5.3,X,E14.7,
1 X,E14.7,X,F11.7)
14 FORMAT (3X,9HANALITICA ,3X,F2.0,X,F8.3,X,F8.3,X,F2.0,X,F2.0,X,
1 F2.0,X,F2.0,X,F3.1,4X,F5.3,X,F8.3,X,F8.3,X,F4.0,X,F5.3,X,E14.7,
1 X,E14.7,X,F11.7,/)
60 CONTINUE
IF(WL=0.)50,100,120
120 CONTINUE
WL=0.
GO TO 110
100 CONTINUE
END
SUBROUTINE DATOS(X0,Y0,Z0,XN,WN,A,B,C,D,BL,CL,WL,WLL)
DIMENSION X0(9),Y0(9),Z0(9),B(7,20,9,9),C(7,20,9,9),XN(9),WN(9)
X0(1)=0.;X0(2)=0.;X0(3)=0.;X0(4)=0.;X0(5)=0.
X0(6)=0.;X0(7)=0.;X0(8)=0.;X0(9)=0.
Y0(1)=.001;Y0(2)=.01;Y0(3)=.001;Y0(4)=.01;Y0(5)=.1
Y0(6)=.001;Y0(7)=.01;Y0(8)=.1;Y0(9)=.01
Z0(1)=.001;Z0(2)=.01;Z0(3)=.01;Z0(4)=.001;Z0(5)=.1
Z0(6)=.1;Z0(7)=.1;Z0(8)=.001;Z0(9)=.01
XN(1)=1.;XN(2)=1.;XN(3)=1.;XN(5)=1.;XN(6)=1.;XN(7)=1.;XN(8)=1.
XN(4)=1.;XN(9)=1.
B(1,1,1,1)=.01;B(1,2,1,1)=-.01;B(1,3,1,1)=.1;B(1,4,1,1)=-.1
B(1,5,1,1)=1.;B(1,6,1,1)=-1.;B(1,7,1,1)=1.;B(1,8,1,1)=-1.
B(1,9,1,1)=.01;B(1,10,1,1)=-.01;B(1,11,1,1)=1.;B(1,12,1,1)=-1.
B(1,13,1,1)=100.;B(1,14,1,1)=-100.;B(1,15,1,1)=100.;B(1,19,1,1)=1.
B(1,16,1,1)=-100.;B(1,17,1,1)=10.;B(1,18,1,1)=-10.;B(1,20,1,1)=-1.
C(1,1,1,1)=.01;C(1,2,1,1)=.01;C(1,3,1,1)=.1;C(1,4,1,1)=.1
C(1,5,1,1)=.01;C(1,6,1,1)=.01;C(1,7,1,1)=1.;C(1,8,1,1)=1.
C(1,9,1,1)=1.;C(1,10,1,1)=1.;C(1,11,1,1)=100.;C(1,12,1,1)=100.
C(1,13,1,1)=100.;C(1,14,1,1)=100.;C(1,15,1,1)=1.;C(1,16,1,1)=1.

```

```
C(1,17,1,1)=1.;C(1,18,1,1)=1.;C(1,19,1,1)=10.;C(1,20,1,1)=10.  
WR(1)=10.;WR(2)=20.;WR(3)=25.;WR(4)=50.;WR(5)=80.  
DO 10 I=1,7  
DO 10 J=1,20  
DO 10 K=1,5  
DO 10 L=1,9  
B(I,J,K,L)=B(I,J,1,1)  
C(I,J,K,L)=C(I,J,1,1)  
10 CONTINUE  
A=1.  
D=0.0  
BL=1.  
CL=1.  
WLL=WIL  
RETURN  
END
```

```
SUBROUTINE EULER (X0,Y0,Z0,XN,N,A,B,C,D,YN,BL,CL,WLL)
REAL N
X01=X0
Y01=Y0
Z01=Z0
I=0
DX=(XN-X0)/N
X=X0
BC=B*(BL+X)**WL
CC=C*(CL+X)**WL
30 DZ=EQ(A,BC,CC,D,Z0,Y0,DX)
DY=Z0*DX
I=I+1
Y0=Y0+DY
Z0=Z0+DZ
X0=X0+DX
IF(N-I)10,20,30
10 PRINT 1
1 FORMAT (14HERROR IN EULER)
CALL EXIT
20 YN=Y0
X0=X01
Y0=Y01
Z0=Z01
RETURN
END
```

```
SUBROUTINE HEUNS (X0,Y0,Z0,XN,N,A,B,C,D,YN,BL,WL,CL,WLL)
REAL N
X01=X0
Y01=Y0
Z01=Z0
DX=(XN-X0)/N
I=0
30 I=I+1
XW=X0+DX
F01=HZ(D,B,BL,WL,U,CL,WLL,Z0,Y0,X0)
P11=HY(Z0,F01,DX)
Y11=HY(Y0,Z0,DX)
DO 10 J=1,3
F11=HZ(D,B,BL,WL,U,CL,WLL,P11,Y11,XW)
FA1=HAV(F01,F11)
PA1=HAV(Z0,P11)
P11=HY(Z0,FA1,DX)
Y11=HY(Y0,PA1,DX)
10 CONTINUE
Z0=HY(Z0,FA1,DX)
Y0=HY(Y0,PA1,DX)
X0=X0+DX
IF(N-I)20,40,30
20 PRINT 1
1 FORMAT (14HERROR IN HEUNS)
CALL EXIT
40 YN=Y0
X0=X01
Y0=Y01
Z0=Z01
RETURN
END
```

```

SUBROUTINE RUNGE (X0,Y0,Z0,XN,N,A,B,C,D,YN,BL,WL,CL,WLL)
REAL N
REAL M0,M1,M2,M3
X01=X0
Y01=Y0
Z01=Z0
I=0
DX=(XN-X0)/N
30 I=I+1
X=X0
BC=B*(BL+X)**WL
CC=C*(CL+X)**WL
M0=EQB(A,BC,CC,0,Y0,DX)
Z=Z0+.5*M0*DX
Y=Y0+Z*DX
X=X0+.5*DX
BC=B*(BL+X)**WL
CC=C*(CL+X)**WL
M1=EQB(A,BC,CC,0,Z,Y,DX)
X=X0+.5*DX
Z=Z+.5*M0*DX
Y=Y0+Z*DX
BC=B*(BL+X)**WL
CC=C*(CL+X)**WL
M2=EQB(A,BC,CC,0,Z,Y,DX)
X0=X0+DX
BC=B*(BL+X)**WL
CC=C*(CL+X)**WL
Z=Z0+M2*DX
Y=Y0+Z*DX
M3=EQB(A,BC,CC,0,Z,Y,DX)
DZ=(DX/6.)*(M0+4.*M1+M3)
DY=Z0*DX
Y0=Y0+DY
Z0=Z0+DZ
X0=X0+DX
IF(N-I)10,20,30
10 PRINT 1
1 FORMAT (14HEPROD 4N RUNGE)
CALL EXIT
20 YN=Y0
X0=X01
Y0=Y01
Z0=Z01
RETURN
END

```

```

SUBROUTINE KUTTA (X0,Y0,Z0,XN,N,A,B,C,D,YN,BL,WL,CL,WLL)
REAL N
REAL K1,L1,K2,L2,K3,L3,K4,L4
X01=X0
Y01=Y0
Z01=Z0
DX=(XN-X0)/N
I=0
10 I=I+1
X=X0
BC=B*(BL+X)**WL
CC=C*(CL+X)**WL
K1=EQ(A,BC,CC,D,Z0,Y0,DX)
L1=Z0*DX
Y=Y0+(L1/2.)
Z=Z0+(K1/2.)
X=X0+.5*DX
BC=B*(BL+X)**WL
CC=C*(CL+X)**WL
K2=EQ(A,BC,CC,D,Z,Y,DX)
L2=Z*DX
Y=Y0+(L2/2.)
Z=Z0+(K2/2.)
X=X0+.5*DX
BC=B*(BL+X)**WL
CC=C*(CL+X)**WL
K3=EQ(A,BC,CC,D,Z,Y,DX)
L3=Z*DX
Y=Y0+L3
Z=Z0+K3
X=X0+DX
BC=B*(BL+X)**WL
CC=C*(CL+X)**WL
K4=EQ(A,BC,CC,D,Z,Y,DX)
L4=Z*DX
DZ=(1./6.)*(K1+2.*K2+2.*K3+K4)
DY=(1./6.)*(L1+2.*L2+2.*L3+L4)
Z0=Z0+DZ
Y0=Y0+DY
X0=X0+DX
IF(I=N)10,20,30
30 PRINT 1
1 FORMAT (14HERROR IN KUTTA)
CALL EXIT
20 YN=Y0
X0=X01
Y0=Y01
Z0=Z01
RETURN!
END

```

```

SUBROUTINE KUTTA2(X0,Y0,Z0,XN,N,A,B,C,D,YN,BL,WL,CL,WLL)
REAL N
REAL K1,L1,K2,L2,K3,L3,K4,L4
X01=X0
Y01=Y0
Z01=Z0
DX=(XN-X0)/N
I=0
10 I=I+1
X=X0
BC=B*(BL+X)**WL
CC=C*(CL+X)**WL
K1=EQ(A,BC,CC,D,Z0,Y0,DX)
L1=Z0*DX
Y=Y0+(1./3.)*L1
Z=Z0+(1./3.)*K1
X=X0+(1./3.)*DX
BC=B*(BL+X)**WL
CC=C*(CL+X)**WL
K2=EQ(A,BC,CC,D,Z,Y,DX)
L2=Z*DX
Y=Y0+L2-(1./3.)*L1
Z=Z0+K2-(1./3.)*K1
X=X0+(2./3.)*DX
BC=B*(BL+X)**WL
CC=C*(CL+X)**WL
K3=EQ(A,BC,CC,D,Z,Y,DX)
L3=Z*DX
Y=Y0+L1-L2+L3
Z=Z0+K1-K2+K3
X=X0+DX
BC=B*(BL+X)**WL
CC=C*(CL+X)**WL
K4=EQ(A,BC,CC,D,Z,Y,DX)
L4=Z*DX
DY=(1./8.)*(L1+3.*L2+3.*L3+L4)
DZ=(1./8.)*(K1+5.*K2+3.*K3+K4)
Z0=Z0+DZ
Y0=Y0+DY
X0=X0+DX
IF(I=N)10,20,30
30 PRINT 1
1 FORMAT (14HERROR IN KUTTA)
CALL EXIT
20 YN=Y0
X0=X01
Y0=Y01
Z0=Z01
RETURN
END

```

```

SUBROUTINE MERS(N,X0,Y0,Z0,XN,N,A,B,C,D,YN,BL,WL,CL,WLL)
REAL K0,L0,K1,L1,X2,L2,K3,L3,K4,L4,N
X01=X0
Y01=Y0
Z01=Z0
DX=(XN-X0)/N
I=0
10 I=I+1
X=X0
BC=B*(BL+X)**WL
CC=C*(CL+X)**WL
K0=(-BC*Z0-CC*Y0+D)*(DX/A)
K0=K0/3.
L0=Z0*DX/3.
Z=Z0+K0
Y=Y0+L0
X=X0+(1./3.)*DX
BC=B*(BL+X)**WL
CC=C*(CL+X)**WL
K1=(-BC*Z-CC*Y+D)*(DX/A)
K1=K1/3.
L1=Z*DX/3.
Y=Y0+L0/2.+L1/2.
Z=Z0+K0/2.+K1/2.
X=X0+(2./3.)*DX
BC=B*(BL+X)**WL
CC=C*(CL+X)**WL
K2=(-BC*Z-CC*Y+D)*(DX/A)
K2=K2/3.
L2=Z*DX/3.
Z=Z0+.375*K0+1.375*K2
Y=Y0+.375*L0+1.375*L2
X=X+DX
BC=B*(BL+X)**WL
CC=C*(CL+X)**WL
K3=(-BC*Z-CC*Y+D)*(DX/A)
K3=K3/3.
L3=Z*DX/3.
Y=(1.5*L0-4.5*L2+5.*L3+Y0)
Z=Z0+1.5*K0-4.5*K2+6.*K3
K4=(-BC*Z-CC*Y+D)*(DX/A)
K4=K4/3.
L4=Z*DX/3.
DY=(L0+4.*L3+L4)/4.
DZ=(K0+4.*K3+K4)/4.
Z0=Z0+DZ
Y0=Y0+DY
X0=X0+DX
IF (I=N)10,20,3n
30 PRINT 1
1 FORMAT (15HERROR IN MERSON)
CALL EXIT
20 YN=Y0
X0=X01
Y0=Y01
Z0=Z01
RETURN
END

```

```

SUBROUTINE MILNE (X0,Y0,Z0,XN,N,A,B,C,D,YI,BL,WL,WLL)
REAL M1,M2,M3,M4,N
DIMENSION Z(960),ZP(960),Y(960)
N=0
X0=1=X0
Y0=Y0
Z0=Z0
DX=(YI-X0)/N
I=0
30 I=I+1
Y(I)=Y0
Z(I)=Z0
X=X0
BC=B*(BL+X)**WL
CC=C*(CL+X)**WLL
M0=EQB(A,B,C,CC,D,Z0,Y0,DX)
ZP(I)=M0
X=X0+.5*DX
W=Z0+.5*M0*DX
V=Y0+W*DX
X=X0+.5*DX
BC=B*(BL+X)**WL
CC=C*(CL+X)**WLL
M1=EQB(A,B,C,CC,D,W,V,DX)
X=X0+.5*DX
W=W+.5*M0*DX
V=Y0+W*DX
X=X0+.5*DX
BC=B*(BL+X)**WL
CC=C*(CL+X)**WLL
M2=EQB(A,B,C,CC,D,W,V,DX)
W=Z0+M2*DX
V=Y0+Z0*DX
X=X0+DX
BC=B*(BL+X)**WL
CC=C*(CL+X)**WLL
M3=EQB(A,B,C,CC,D,W,V,DX)
DZ=(DX/6.)*(M0+4.*M1+M3)
DY=Z0*DX
Y0=Y0+DY
Z0=Z0+DZ
X0=X0+DX
IF(4-I)10,20,30
10 PRINT 1
1 FORMAT (14HERROR EN MILNE)
CALL EXIT
20 N=N-3.
I=0
40 I=I+1
BC=B*(BL+X)**WL
CC=C*(CL+X)**WLL
ZP(I+4)=EQB(A,B,C,CC,D,Z(I),Y(I),DX)
Z(I+4)=Z(I)+(4.*DX/3.)*(2.*ZP(I+1)-2.*ZP(I+2)+2.*ZP(I+3))
Y(I+4)=Y(I)+(4.*DX/3.)*(2.*Z(I+1)-2.*Z(I+2)+2.*Z(I+3))
I=I
IF(F-N)40,50,60
60 PRINT 1
CALL EXIT
50 YN=Y(I+4)

```

N=N0

X0=X01

Y0=Y01

Z0=Z01

RETURN

END

```

SUBROUTINE ANALIT(X0,Y0,Z0,XN,N,A,B,C,D,YN,BL,CL,WLL)
DIMENSION CK(16),
IF (WL=0.)2,6,7
7 IF (WL=1.)2,8,2
6 IF (WLL=0.0)2,9,2
9 X=X0
E=B**2.-4.*A*C
IF (E=0.)1,2,3
1 E=-E
P=-B/(2.*A)
Q=SQRT(E)/(2.*A)
WM=Y0/(EXP(P*X))
WMP=Z0/(EXP(P*X))
DS=(COS(Q*X))*(P*SIN(Q*X)+Q*COS(Q*X))-(SIN(Q*X))*(P*COS(Q*X)-
10*SIN(Q*X))
DC1=WM*(P*SIN(Q*X)+Q*COS(Q*X))-WMP*SIN(Q*X)
DC2=WMP*COS(Q*X)-WM*(P*COS(Q*X)-Q*SIN(Q*X))
IF (DS=0.0)15,20,17
15 CONTINUE
C1=DC1/DS
C2=DC2/DS
X=XN
YN=EXP(P*X)*(C1+C2*S(Q*X)+C2*SIN(Q*X))
GO TO 20
3 CONTINUE
P=(-B+SQRT(E))/(2.*A)
Q=(-B-SQRT(E))/(2.*A)
C2=(Z0-P*Y0)/(Q-P)
C2=C2/EXP(Q*X)
C1=(Y0-C2*EXP(Q*X))/EXP(P*X)
X=XN
YN=C1*EXP(P*X)+C2*EXP(Q*X)
GO TO 20
2 PRINT 5
5 FORMAT (25HNO HAY SOLUCION ANALITICA )
GO TO 20
8 IF (WLL=1.)2,11,2
11 CK(1)=Y0
CK(2)=Z0
CK(3)=-(CK(2)*B+C*(1)*C)/2.
DO 10 I=4,16
W=I
CKX=-1./((W-1.)*(W-2.))
CKY=((W-3.)*CK(I-4)+(W-2.)*CK(I-1))*B
CKZ=(CK(I-3)+CK(I-2))*C
CK(I)=CKX*(CKY+CKZ)
10 CONTINUE
YN=0.0
DO 30 I=1,15
W=I
YN=YN+CK(I)*XN**(-I+1.)
30 CONTINUE
ERN=ABS((CK16)**N**15)/YN
IF (.0001-ERN)2,24,20
20 CONTINUE
RETURN
END

```

```
FUNCTION EQB(A,B,C,D,Z,Y,DX)
EQB=(-B★Z-C★Y+D)/A
RETURN
END
```

```
FUNCTION EQ(A,B,C,D,Z,Y,DX)
EQ=(-B★Z-C★Y+D)*DX/A
RETURN
END
```

```
FUNCTION HZ(B,BL,WL,C,CL,WLL,Z,Y,X)
HZ=D-(B*(BL+X)**WL)*Z-(C*(CL+X)**WLL)*Y
RETURN
END
```

```
FUNCTION HY(F,G,H)
HY=F+G★H
RETURN
END
```

```
FUNCTION HAV(F,G)
HAV=(F+G)/2.
RETURN
END
```

APENDICE II.

RESULTADOS DEL PROGRAMA.

RESULTADOS DEL ERROR EN LA INTEGRACION NUMERICA

PARA LA ECUACION DIFERENCIAL

$$A + B^x + C((CL+X)^{**}LL) * Y^t + D((CL+X)^{**}LL) * Y^d$$

MÉTODO	CONDICIONES INICIALES	CONDICIONES FINALES	RESULTADO	ERRORES ABSOLUTO Y RELATIVO						
				X0	Y0	Z0	U1	X1	Y1	E4
EULER	1, 1.000	100.000 0, 1, 1, 0, 0, 0	100.000	0.001	1.001	10, 1, 0.000	-2.505373E-12	-1.203767E-02	1.4966932	
HEUN	1, 1.000	100.000 0, 1, 1, 0, 0, 0	100.000	0.001	1.001	10, 1, 0.000	-1.919544E-13	-1.705424E-03	0.3036632	
RK4(4,5,4,5)	1, 1.000	100.000 0, 1, 1, 0, 0, 0	100.000	0.001	1.001	10, 1, 0.000	-2.022238E-13	-2.337393E-03	0.9532969	
RK4(5,4,4,5)	1, 1.000	100.000 0, 1, 1, 0, 0, 0	100.000	0.001	1.001	10, 1, 0.000	-5.512312E-13	-1.137556E-04	0.1164748	
RK4(5,4,5,4)	1, 1.000	100.000 0, 1, 1, 0, 0, 0	100.000	0.001	1.001	10, 1, 0.000	-5.512312E-13	-1.137556E-04	0.1164748	
ANALITICA	1, 1.000	100.000 0, 1, 1, 0, 0, 0	100.000	0.001	1.001	10, 1, 0.000	-2.9913924E-13	-2.722143E-03	0.4947063	

MÉTODO	CONDICIONES INICIALES	CONDICIONES FINALES	RESULTADO	ERRORES ABSOLUTO Y RELATIVO						
				X0	Y0	Z0	U1	X1	Y1	E4
EULER	1, 1.000	100.000 0, 1, 1, 0, 0, 0	100.000	0.001	1.001	20, 1, 0.000	-6.629534E-12	-5.603774E-02	1.0849461	
HEUN	1, 1.000	100.000 0, 1, 1, 0, 0, 0	100.000	0.001	1.001	20, 1, 0.000	-6.629534E-13	-6.624151E-04	0.1072663	
RK4(4,5,4,5)	1, 1.000	100.000 0, 1, 1, 0, 0, 0	100.000	0.001	1.001	20, 1, 0.000	-7.777008E-13	-7.312981E-03	0.4207536	
RK4(5,4,5,4)	1, 1.000	100.000 0, 1, 1, 0, 0, 0	100.000	0.001	1.001	20, 1, 0.000	-5.623954E-13	-7.112390E-06	0.1014035	
RK4(5,4,4,5)	1, 1.000	100.000 0, 1, 1, 0, 0, 0	100.000	0.001	1.001	20, 1, 0.000	-5.623954E-13	-7.112390E-06	0.1014035	
ANALITICA	1, 1.000	100.000 0, 1, 1, 0, 0, 0	100.000	0.001	1.001	20, 1, 0.000	-4.914362E-13	-1.401705E-03	0.2495886	

MÉTODO	CONDICIONES INICIALES	CONDICIONES FINALES	RESULTADO	ERRORES ABSOLUTO Y RELATIVO						
				X0	Y0	Z0	U1	X1	Y1	E4
EULER	1, 1.000	100.000 0, 1, 1, 0, 0, 0	100.000	0.001	1.001	25, 1, 0.000	-4.147122E-12	-3.315523E-02	6.3944005	
HEUN	1, 1.000	100.000 0, 1, 1, 0, 0, 0	100.000	0.001	1.001	25, 1, 0.000	-6.16232107E-13	-4.10392E-04	0.0740802	
RK4(4,5,4,5)	1, 1.000	100.000 0, 1, 1, 0, 0, 0	100.000	0.001	1.001	25, 1, 0.000	-9.0031347E-13	-2.3117099E-03	0.4606602	
RK4(5,4,5,4)	1, 1.000	100.000 0, 1, 1, 0, 0, 0	100.000	0.001	1.001	25, 1, 0.000	-5.621367E-13	-2.4218991E-06	0.0007655	
RK4(5,4,4,5)	1, 1.000	100.000 0, 1, 1, 0, 0, 0	100.000	0.001	1.001	25, 1, 0.000	-5.620347E-13	-2.4218991E-06	0.0007655	
ANALITICA	1, 1.000	100.000 0, 1, 1, 0, 0, 0	100.000	0.001	1.001	25, 1, 0.000	-4.455433E-13	-1.110028E-03	0.2013203	

MÉTODO	CONDICIONES INICIALES	CONDICIONES FINALES	RESULTADO	ERRORES ABSOLUTO Y RELATIVO						
				X0	Y0	Z0	U1	X1	Y1	E4
EULER	1, 1.000	100.000 0, 1, 1, 0, 0, 0	100.000	0.001	1.001	50, 1, 0.000	-1.540122E-12	-9.745167E-03	1.7423485	
HEUN	1, 1.000	100.000 0, 1, 1, 0, 0, 0	100.000	0.001	1.001	50, 1, 0.000	-5.725097E-13	-1.1940317E-04	0.0194142	
RK4(4,5,4,5)	1, 1.000	100.000 0, 1, 1, 0, 0, 0	100.000	0.001	1.001	50, 1, 0.000	-7.103917E-13	-1.1470751E-03	0.2642726	
RK4(5,4,5,4)	1, 1.000	100.000 0, 1, 1, 0, 0, 0	100.000	0.001	1.001	50, 1, 0.000	-5.616441E-13	-3.711472E-07	0.0000700	
RK4(5,4,4,5)	1, 1.000	100.000 0, 1, 1, 0, 0, 0	100.000	0.001	1.001	50, 1, 0.000	-5.616441E-13	-3.711472E-07	0.0000700	
ANALITICA	1, 1.000	100.000 0, 1, 1, 0, 0, 0	100.000	0.001	1.001	50, 1, 0.000	-5.133851E-13	-5.772124E-04	0.1027787	

MÉTODO	CONDICIONES INICIALES	CONDICIONES FINALES	RESULTADO	ERRORES ABSOLUTO Y RELATIVO						
				X0	Y0	Z0	U1	X1	Y1	E4
EULER	1, 1.000	100.000 0, 1, 1, 0, 0, 0	100.000	0.001	1.001	100, 1, 0.000	-1.044152E-12	-4.25456E-03	0.4592233	
HEUN	1, 1.000	100.000 0, 1, 1, 0, 0, 0	100.000	0.001	1.001	100, 1, 0.000	-5.458752E-13	-4.208435E-05	0.0076004	
RK4(4,5,4,5)	1, 1.000	100.000 0, 1, 1, 0, 0, 0	100.000	0.001	1.001	100, 1, 0.000	-6.401767E-13	-8.826993E-06	0.1571379	
RK4(5,4,5,4)	1, 1.000	100.000 0, 1, 1, 0, 0, 0	100.000	0.001	1.001	100, 1, 0.000	-5.616131E-13	-6.655523E-08	0.0000119	
RK4(5,4,4,5)	1, 1.000	100.000 0, 1, 1, 0, 0, 0	100.000	0.001	1.001	100, 1, 0.000	-5.616131E-13	-6.655523E-08	0.0000119	
ANALITICA	1, 1.000	100.000 0, 1, 1, 0, 0, 0	100.000	0.001	1.001	100, 1, 0.000	-5.616064E-13	-3.542273E-04	0.0048545	

	Δt	ρ	C	θ	BL	CL	HL	PLL	X_0	Y_0	Z_0	H_1	X_1	Y_1	Z_1	H_2	X_2	Y_2
EULER	1.	1.000	100.000	0.	1.	1.	0.	0.0	0.000	0.010	0.010	10.	1.000	-2.252373E-01	-0.1102767E-01	3.4966632		
HEUNS	1.	1.000	100.000	0.	1.	1.	0.	0.0	0.000	0.010	0.010	10.	1.000	-3.321044E-02	-0.107424F-02	-0.3036687		
TRAP	1.	1.000	100.000	0.	1.	1.	0.	0.0	0.000	0.010	0.010	10.	1.000	-2.422842E-03	-0.1033780E-02	-0.9532949		
RK45E-KUTTA	1.	1.000	100.000	0.	1.	1.	0.	0.0	0.000	0.010	0.010	10.	1.000	-1.5512312E-02	-0.117556E-03	-0.0184748		
RK45I-KUTTA ²	1.	1.000	100.000	0.	1.	1.	0.	0.0	0.000	0.010	0.010	10.	1.000	-1.5512312E-02	-0.117556E-03	-0.0184748		
ERSH1	1.	1.000	100.000	0.	1.	1.	0.	0.0	0.000	0.010	0.010	10.	1.000	-2.943294E-02	-0.27143E-02	-0.4847083		
ANALITICA	1.	1.000	100.000	0.	1.	1.	0.	0.0	0.000	0.010	0.010	10.	1.000	-5.5416043E-02	0.	0.0000000		
EULER	1.	1.000	100.000	0.	1.	1.	0.	0.0	0.000	0.010	0.010	20.	1.000	-6.6225341E-01	-0.5637744E-01	10.0849461		
HEUNS	1.	1.000	100.000	0.	1.	1.	0.	0.0	0.000	0.010	0.010	20.	1.000	-5.521144E-02	-0.624151E-03	0.1072663		
TRAP	1.	1.000	100.000	0.	1.	1.	0.	0.0	0.000	0.010	0.010	20.	1.000	-7.019747E-02	-0.2312981E-02	0.4027536		
RK45E-KUTTA	1.	1.000	100.000	0.	1.	1.	0.	0.0	0.000	0.010	0.010	20.	1.000	-1.5423265E-02	-0.7403390E-05	0.0014035		
RK45I-KUTTA ²	1.	1.000	100.000	0.	1.	1.	0.	0.0	0.000	0.010	0.010	20.	1.000	-1.5423293E-02	-0.7403390E-05	0.0014035		
ERSH1	1.	1.000	100.000	0.	1.	1.	0.	0.0	0.000	0.010	0.010	20.	1.000	-4.4214362E-02	-0.11705E-02	-0.245084		
ANALITICA	1.	1.000	100.000	0.	1.	1.	0.	0.0	0.000	0.010	0.010	20.	1.000	-5.5416043E-02	0.	0.0000000		
EULER	1.	1.100	100.000	0.	1.	1.	0.	0.0	0.000	0.010	0.010	25.	1.000	-4.147129E-01	-0.3515523E-01	6.3844005		
HEUNS	1.	1.100	100.000	0.	1.	1.	0.	0.0	0.000	0.010	0.010	25.	1.000	-4.832107E-02	-0.4100392E-03	0.0740802		
TRAP	1.	1.000	100.000	0.	1.	1.	0.	0.0	0.000	0.010	0.010	25.	1.000	-4.831317E-02	-0.2317099E-02	0.4666602		
RK45E-KUTTA	1.	1.000	100.000	0.	1.	1.	0.	0.0	0.000	0.010	0.010	25.	1.000	-1.5620367E-02	-0.4278991E-05	0.0007655		
RK45I-KUTTA ²	1.	1.000	100.000	0.	1.	1.	0.	0.0	0.000	0.010	0.010	25.	1.000	-1.5620367E-02	-0.4278991E-05	0.0007655		
ERSH1	1.	1.000	100.000	0.	1.	1.	0.	0.0	0.000	0.010	0.010	25.	1.000	-4.1458439E-02	-0.1110628E-02	-0.2012023		
ANALITICA	1.	1.000	100.000	0.	1.	1.	0.	0.0	0.000	0.010	0.010	25.	1.000	-5.5416043E-02	0.	0.0000000		
EULER	1.	1.100	100.000	0.	1.	1.	0.	0.0	0.000	0.010	0.010	50.	1.000	-1.540122E-01	-0.9715147E-02	1.7423485		
HEUNS	1.	1.000	100.000	0.	1.	1.	0.	0.0	0.000	0.010	0.010	50.	1.000	-5.725049E-02	-0.1290317E-03	0.0194142		
TRAP	1.	1.000	100.000	0.	1.	1.	0.	0.0	0.000	0.010	0.010	50.	1.000	-7.101391E-02	-0.1447851E-02	0.2649276		
RK45E-KUTTA	1.	1.000	100.000	0.	1.	1.	0.	0.0	0.000	0.010	0.010	50.	1.000	-5.616441E-02	-0.311470E-06	0.0000700		
RK45I-KUTTA ²	1.	1.000	100.000	0.	1.	1.	0.	0.0	0.000	0.010	0.010	50.	1.000	-5.616441E-02	-0.311470E-06	0.0000700		
ERSH1	1.	1.000	100.000	0.	1.	1.	0.	0.0	0.000	0.010	0.010	50.	1.000	-3.89556E-02	-0.5772124E-03	-0.1027787		
ANALITICA	1.	1.000	100.000	0.	1.	1.	0.	0.0	0.000	0.010	0.010	50.	1.000	-5.616068E-02	0.	0.0000000		
EULER	1.	1.000	100.000	0.	1.	1.	0.	0.0	0.000	0.010	0.010	80.	1.000	-1.044152E-01	-0.4254546E-02	0.8592233		
HEUNS	1.	1.000	100.000	0.	1.	1.	0.	0.0	0.000	0.010	0.010	80.	1.000	-5.458752E-02	-0.2668435E-04	0.076004		
TRAP	1.	1.000	100.000	0.	1.	1.	0.	0.0	0.000	0.010	0.010	80.	1.000	-6.626747E-02	-0.2626993E-03	0.1571739		
RK45E-KUTTA	1.	1.000	100.000	0.	1.	1.	0.	0.0	0.000	0.010	0.010	80.	1.000	-5.655353E-07	-0.3000119	0.0000119		
RK45I-KUTTA ²	1.	1.000	100.000	0.	1.	1.	0.	0.0	0.000	0.010	0.010	80.	1.000	-6.655353E-07	-0.3000119	0.0000119		
ERSH1	1.	1.000	100.000	0.	1.	1.	0.	0.0	0.000	0.010	0.010	80.	1.000	-5.551843E-02	-0.3542273E-03	-0.0648545		
ANALITICA	1.	1.000	100.000	0.	1.	1.	0.	0.0	0.000	0.010	0.010	80.	1.000	-5.5416043E-02	0.	0.0000000		
EULER	1.	1.000	100.000	0.	1.	1.	0.	0.0	0.000	0.001	0.010	10.	1.000	-1.09320E-01	-0.1924632E-01	-23.3786446		
HEUNS	1.	1.000	100.000	0.	1.	1.	0.	0.0	0.000	0.001	0.010	10.	1.000	-3.458171E-04	-0.8117067E-03	-0.9595849		
TRAP	1.	1.000	100.000	0.	1.	1.	0.	0.0	0.000	0.001	0.010	10.	1.000	-7.153181E-03	-0.1539006E-02	-0.18389919		
RK45E-KUTTA	1.	1.000	100.000	0.	1.	1.	0.	0.0	0.000	0.001	0.010	10.	1.000	-7.068502E-03	-0.5653821E-04	-0.0660324		
RK45I-KUTTA ²	1.	1.000	100.000	0.	1.	1.	0.	0.0	0.000	0.001	0.010	10.	1.000	-7.068502E-03	-0.5653821E-04	-0.0660324		
ERSH1	1.	1.000	100.000	0.	1.	1.	0.	0.0	0.000	0.001	0.010	10.	1.000	-4.515051E-03	-0.4416033E-03	-0.4708026		
ANALITICA	1.	1.000	100.000	0.	1.	1.	0.	0.0	0.000	0.001	0.010	10.	1.000	-8.51884E-13	0.	0.0000000		

EJELM	1.	1.000	100.000	n.	1.	1.	n.	0.0	0.000	0.001	0.010	20.	1.000	-66400143E-12	-5500959E-02	6.5717719				
HEJUS	1.	1.000	100.000	n.	1.	1.	n.	0.0	0.000	0.001	0.010	20.	1.000	-8019226E-13	-5126570E-04	0.3600873				
HULLI	1.	1.000	100.000	n.	1.	1.	n.	0.0	0.000	0.001	0.010	20.	1.000	-4491209E-13	-4495359E-04	0.3516399				
YHTEKUUTTA	1.	1.000	100.000	n.	1.	1.	n.	0.0	0.000	0.001	0.010	20.	1.000	-5513003E-13	-1330099E-05	0.3022130				
YKIKUUTTA	1.	1.000	100.000	n.	1.	1.	n.	0.0	0.000	0.001	0.010	20.	1.000	-5513003E-13	-1330099E-05	0.3022130				
TERSTIN	1.	1.000	100.000	n.	1.	1.	n.	0.0	0.000	0.001	0.010	20.	1.000	-5513003E-13	-2148647E-03	0.2524233				
ANALYTICA	1.	1.000	100.000	n.	1.	1.	n.	0.0	0.000	0.001	0.010	20.	1.000	-8531884E-13	0.	0.0000000				
EJELM	1.	1.000	100.000	n.	1.	1.	n.	0.0	0.000	0.001	0.010	25.	1.000	-5574023E-12	-4221704E-02	4.481504				
HEJUS	1.	1.000	100.000	n.	1.	1.	n.	0.0	0.000	0.001	0.010	25.	1.000	-4954949E-13	-1230345E-04	0.276533				
HULLI	1.	1.000	100.000	n.	1.	1.	n.	0.0	0.000	0.001	0.010	25.	1.000	-1709702E-13	-1176171E-03	0.180488				
YHTEKUUTTA	1.	1.000	100.000	n.	1.	1.	n.	0.0	0.000	0.001	0.010	25.	1.000	-525677E-13	-6236963E-06	0.0007275				
YKIKUUTTA	1.	1.000	100.000	n.	1.	1.	n.	0.0	0.000	0.001	0.010	25.	1.000	-525677E-13	-6236963E-06	0.0007275				
TERSTIN	1.	1.000	100.000	n.	1.	1.	n.	0.0	0.000	0.001	0.010	25.	1.000	-777719E-13	-1755165E-03	0.2057183				
ANALYTICA	1.	1.000	100.000	n.	1.	1.	n.	0.0	0.000	0.001	0.010	25.	1.000	-8531884E-13	0.	0.0000000				
EJELM	1.	1.000	100.000	n.	1.	1.	n.	0.0	0.000	0.001	0.010	50.	1.000	-5574333E-12	-1404244E-02	1.6810408				
HEJUS	1.	1.000	100.000	n.	1.	1.	n.	0.0	0.000	0.001	0.010	50.	1.000	-497294E-13	-3120724E-05	0.040519				
HULLI	1.	1.000	100.000	n.	1.	1.	n.	0.0	0.000	0.001	0.010	50.	1.000	-107083E-12	-157041E-03	0.1914302				
YHTEKUUTTA	1.	1.000	100.000	n.	1.	1.	n.	0.0	0.000	0.001	0.010	50.	1.000	-5513003E-13	-1712677E-07	0.0002277				
YKIKUUTTA	1.	1.000	100.000	n.	1.	1.	n.	0.0	0.000	0.001	0.010	50.	1.000	-5513003E-13	-1712677E-07	0.0002277				
TERSTIN	1.	1.000	100.000	n.	1.	1.	n.	0.0	0.000	0.001	0.010	50.	1.000	-7415273E-13	-2107111E-04	0.1073336				
ANALYTICA	1.	1.000	100.000	n.	1.	1.	n.	0.0	0.000	0.001	0.010	50.	1.000	-8531884E-13	0.	0.0000000				
EJELM	1.	1.000	100.000	n.	1.	1.	n.	0.0	0.000	0.001	0.010	70.	1.000	-1597774E-12	-7445863E-03	0.3727097				
HEJUS	1.	1.000	100.000	n.	1.	1.	n.	0.0	0.000	0.001	0.010	70.	1.000	-151973E-13	-1211003E-05	0.014078				
HULLI	1.	1.000	100.000	n.	1.	1.	n.	0.0	0.000	0.001	0.010	70.	1.000	-948500E-13	-1055696E-03	0.128526				
YHTEKUUTTA	1.	1.000	100.000	n.	1.	1.	n.	0.0	0.000	0.001	0.010	70.	1.000	-4531845E-13	-1261371E-08	0.000221				
YKIKUUTTA	1.	1.000	100.000	n.	1.	1.	n.	0.0	0.000	0.001	0.010	70.	1.000	-4531845E-13	-1261371E-08	0.000221				
TERSTIN	1.	1.000	100.000	n.	1.	1.	n.	0.0	0.000	0.001	0.010	70.	1.000	-740101E-13	-517679E-04	0.0684237				
ANALYTICA	1.	1.000	100.000	n.	1.	1.	n.	0.0	0.000	0.001	0.010	70.	1.000	-8531884E-13	0.	0.0000000				
EJELM	1.	1.000	100.000	n.	1.	1.	n.	0.0	0.000	0.010	0.001	10.	1.000	-4607231E-01	-410732E-01	7.8031606				
HEJUS	1.	1.000	100.000	n.	1.	1.	n.	0.0	0.000	0.010	0.001	10.	1.000	-462722E-01	-157257E-02	0.1985556				
HULLI	1.	1.000	100.000	n.	1.	1.	n.	0.0	0.000	0.010	0.001	10.	1.000	-1004335E-02	-4320151E-02	0.3113743				
YHTEKUUTTA	1.	1.000	100.000	n.	1.	1.	n.	0.0	0.000	0.010	0.001	10.	1.000	-5266693E-02	-572294E-04	0.0105452				
YKIKUUTTA	1.	1.000	100.000	n.	1.	1.	n.	0.0	0.000	0.010	0.001	10.	1.000	-5266693E-02	-572294E-04	0.0105452				
TERSTIN	1.	1.000	100.000	n.	1.	1.	n.	0.0	0.000	0.010	0.001	10.	1.000	-273119E-02	-2522674E-02	0.4869342				
ANALYTICA	1.	1.000	100.000	n.	1.	1.	n.	0.0	0.000	0.010	0.001	10.	1.000	-5120184E-02	0.	0.0000000				
EJELM	1.	1.000	100.000	n.	1.	1.	n.	0.0	0.000	0.010	0.001	20.	1.000	-601744E-01	-56017456E-01	10.6478921				
HEJUS	1.	1.000	100.000	n.	1.	1.	n.	0.0	0.000	0.010	0.001	20.	1.000	-638008E-02	-713923E-03	0.1340829				
HULLI	1.	1.000	100.000	n.	1.	1.	n.	0.0	0.000	0.010	0.001	20.	1.000	-7267524E-02	-2429338E-02	0.4964649				
YHTEKUUTTA	1.	1.000	100.000	n.	1.	1.	n.	0.0	0.000	0.010	0.001	20.	1.000	-5135045E-02	-1155673E-04	0.0105451				
YKIKUUTTA	1.	1.000	100.000	n.	1.	1.	n.	0.0	0.000	0.010	0.001	20.	1.000	-5135045E-02	-1155673E-04	0.0105451				
TERSTIN	1.	1.000	100.000	n.	1.	1.	n.	0.0	0.000	0.010	0.001	20.	1.000	-997973E-02	-1120511E-02	0.2491342				
ANALYTICA	1.	1.000	100.000	n.	1.	1.	n.	0.0	0.000	0.010	0.001	20.	1.000	-5124484E-02	0.	0.0000000				

			C	n	QL	CL	BL	MLL	X0	Y0	Z0	U1	V1	W1	E1	F1	ER
FILE	1.	1.000	100.000	n	1.	1.	1.	0.0	1.000	0.010	0.010	25.	1.000	**47054153E+01	-3.321904E+01	6.6145432	
FILE	1.	1.000	100.000	n	1.	1.	1.	0.0	0.000	0.010	0.010	25.	1.000	**5405723E+02	-4.412366E+03	0.4903818	
FILE	1.	1.000	100.000	n	1.	1.	1.	0.0	0.000	0.010	0.010	25.	1.000	**1192513E+02	-2.272007E+02	0.5123550	
FILE	1.	1.000	100.000	n	1.	1.	1.	0.0	0.000	0.010	0.010	25.	1.000	**532983E+02	-5.544547E+05	0.0010047	
FILE	1.	1.000	100.000	n	1.	1.	1.	0.0	0.000	0.010	0.010	25.	1.000	**531943E+02	-5.531567E+05	0.0010047	
FILE	1.	1.000	100.000	n	1.	1.	1.	0.0	0.000	0.010	0.010	25.	1.000	**4705311E+02	-1.105175E+02	0.2006156	
FILE	1.	1.000	100.000	n	1.	1.	1.	0.0	0.000	0.010	0.010	25.	1.000	**5324449E+02	0.	0.0000000	
FILE	1.	1.000	0	n	QL	CL	BL	MLL	X0	Y0	Z0	U1	V1	W1	E1	F1	ER
FILE	1.	1.000	100.000	n	1.	1.	0.0	0.0	0.000	0.010	0.010	39.	1.000	**465390F+01	-932941BE+02	1.7521724	
FILE	1.	1.000	100.000	n	1.	1.	0.0	0.0	0.000	0.010	0.010	39.	1.000	**544788F+02	-1233936E+03	0.0231747	
FILE	1.	1.000	100.000	n	1.	1.	0.0	0.0	0.000	0.010	0.010	39.	1.000	**606432F+02	-1411842E+02	0.2783071	
FILE	1.	1.000	100.000	n	1.	1.	0.0	0.0	0.000	0.010	0.010	39.	1.000	**532493E+02	-431790E+06	0.0000849	
FILE	1.	1.000	100.000	n	1.	1.	0.0	0.0	0.000	0.010	0.010	50.	1.000	**532493F+02	-431790E+06	0.0000849	
FILE	1.	1.000	100.000	n	1.	1.	0.0	0.0	0.000	0.010	0.010	50.	1.000	**4785214E+02	-532725E+03	0.1020329	
FILE	1.	1.000	100.000	n	1.	1.	0.0	0.0	0.000	0.010	0.010	50.	1.000	**5324449E+02	0.	0.0000000	
FILE	1.	1.000	100.000	n	1.	1.	0.0	0.0	0.000	0.010	0.010	39.	1.000	**987909F+02	-453416E+02	0.3570622	
FILE	1.	1.000	100.000	n	1.	1.	0.0	0.0	0.000	0.010	0.010	39.	1.000	**532601E+02	-441134E+04	0.0090439	
FILE	1.	1.000	100.000	n	1.	1.	0.0	0.0	0.000	0.010	0.010	39.	1.000	**610978E+02	-892996E+03	0.1625133	
FILE	1.	1.000	100.000	n	1.	1.	0.0	0.0	0.000	0.010	0.010	39.	1.000	**532456E+02	-7917012E+07	0.0000141	
FILE	1.	1.000	100.000	n	1.	1.	0.0	0.0	0.000	0.010	0.010	39.	1.000	**532456E+02	-7917012E+07	0.0000141	
FILE	1.	1.000	100.000	n	1.	1.	0.0	0.0	0.000	0.010	0.010	39.	1.000	**4705214E+02	-3422714E+03	0.3642826	
FILE	1.	1.000	100.000	n	1.	1.	0.0	0.0	0.000	0.010	0.010	39.	1.000	**5324449E+02	0.	0.0000000	
FILE	1.	1.000	100.000	n	1.	1.	0.0	0.0	0.000	0.010	0.010	10.	1.000	**2525379F+02	-1705767E+00	3.4966932	
FILE	1.	1.000	100.000	n	1.	1.	0.0	0.0	0.000	0.010	0.010	10.	1.000	**112644E+01	-1705424E+01	0.3036687	
FILE	1.	1.000	100.000	n	1.	1.	0.0	0.0	0.000	0.010	0.010	10.	1.000	**282649E+02	-53270E+01	0.9532969	
FILE	1.	1.000	100.000	n	1.	1.	0.0	0.0	0.000	0.010	0.010	10.	1.000	**5612312E+01	-1117556E+02	0.0184744	
FILE	1.	1.000	100.000	n	1.	1.	0.0	0.0	0.000	0.010	0.010	10.	1.000	**5612312F+01	-1117556E+02	0.0184744	
FILE	1.	1.000	100.000	n	1.	1.	0.0	0.0	0.000	0.010	0.010	10.	1.000	**293939E+01	-22143E+01	0.4487063	
FILE	1.	1.000	100.000	n	1.	1.	0.0	0.0	0.000	0.010	0.010	10.	1.000	**5610054E+01	0.	0.0000000	
FILE	1.	1.000	100.000	n	1.	1.	0.0	0.0	0.000	0.010	0.010	20.	1.000	**4253514E+02	-5503774E+00	10.3847461	
FILE	1.	1.000	100.000	n	1.	1.	0.0	0.0	0.000	0.010	0.010	20.	1.000	**621843E+01	-624151E+02	0.1072663	
FILE	1.	1.000	100.000	n	1.	1.	0.0	0.0	0.000	0.010	0.010	20.	1.000	**707954E+01	-2302941E+01	0.4207536	
FILE	1.	1.000	100.000	n	1.	1.	0.0	0.0	0.000	0.010	0.010	20.	1.000	**562395E+01	-7312390E+04	0.0014035	
FILE	1.	1.000	100.000	n	1.	1.	0.0	0.0	0.000	0.010	0.010	20.	1.000	**562395E+01	-7312390E+04	0.0014035	
FILE	1.	1.000	100.000	n	1.	1.	0.0	0.0	0.000	0.010	0.010	20.	1.000	**621436E+01	-141765E+01	0.2495884	
FILE	1.	1.000	100.000	n	1.	1.	0.0	0.0	0.000	0.010	0.010	20.	1.000	**5616104E+01	0.	0.0000000	
FILE	1.	1.000	100.000	n	1.	1.	0.0	0.0	0.000	0.010	0.010	25.	1.000	**414712F+02	-3515523E+00	6.3944005	
FILE	1.	1.000	100.000	n	1.	1.	0.0	0.0	0.000	0.010	0.010	25.	1.000	**1032107E+01	-410392E+02	0.3740802	
FILE	1.	1.000	100.000	n	1.	1.	0.0	0.0	0.000	0.010	0.010	25.	1.000	**802167E+01	-171099E+01	0.4606602	
FILE	1.	1.000	100.000	n	1.	1.	0.0	0.0	0.000	0.010	0.010	25.	1.000	**541367F+01	-4210991E+04	0.0007656	
FILE	1.	1.000	100.000	n	1.	1.	0.0	0.0	0.000	0.010	0.010	25.	1.000	**562074F+01	-4210991E+04	0.0007656	
FILE	1.	1.000	100.000	n	1.	1.	0.0	0.0	0.000	0.010	0.010	25.	1.000	**448541E+01	-1110628E+01	0.2013203	
FILE	1.	1.000	100.000	n	1.	1.	0.0	0.0	0.000	0.010	0.010	25.	1.000	**561606E+01	0.	0.0000000	

	A	B	C	D	E	F	G	H	I	JL	KL	ML	X0	Y0	Z0	U1	X1	Y1	EA	ER
FILE1	1.	-1.000	100.000	0.	1.	1.	0.	0.0	0.000	0.010	1.100	25.	1.000	+8469876E-01	-66370747E-01	+2.754913				
FILE2	1.	-1.000	100.000	0.	1.	1.	0.	0.0	0.000	0.010	1.100	25.	1.000	+2701074E-01	-14110106E-02	+0.0632420				
FILE3	1.	-1.000	100.000	0.	1.	1.	0.	0.0	0.000	0.010	1.100	25.	1.000	+2417743E-01	+13060314E-02	+0.0836358				
FILE4	1.	-1.000	100.000	0.	1.	1.	0.	0.0	0.000	0.010	1.100	25.	1.000	+2227756E-01	+3355102LE-04	+0.0019538				
FILE5	1.	-1.000	100.000	0.	1.	1.	0.	0.0	0.000	0.010	1.100	25.	1.000	+2227756E-01	+3355102LE-04	+0.0019538				
FILE6	1.	-1.000	100.000	0.	1.	1.	0.	0.0	0.000	0.010	1.100	25.	1.000	+1796544E-01	+43450616E-02	+0.1947866				
FILE7	1.	-1.000	100.000	0.	1.	1.	0.	0.0	0.000	0.010	1.100	25.	1.000	+2231140E-01	0.	+0.0000000				
FILE8	1.	-1.000	100.000	0.	1.	1.	0.	0.0	0.000	0.010	1.100	50.	1.000	+50203191E-01	+3171241E-01	+1.4213548				
FILE9	1.	-1.000	100.000	0.	1.	1.	0.	0.0	0.000	0.010	1.100	50.	1.000	+2203170E-01	+2710996LE-03	+0.0129362				
FILE10	1.	-1.000	100.000	0.	1.	1.	0.	0.0	0.000	0.010	1.100	50.	1.000	+2857900E-01	+3518490E-02	+0.1599406				
FILE11	1.	-1.000	100.000	0.	1.	1.	0.	0.0	0.000	0.010	1.100	50.	1.000	+2230946E-01	+1713378E-05	+0.0000777				
FILE12	1.	-1.000	100.000	0.	1.	1.	0.	0.0	0.000	0.010	1.100	50.	1.000	+2230946E-01	+1713378E-05	+0.0000777				
FILE13	1.	-1.000	100.000	0.	1.	1.	0.	0.0	0.000	0.010	1.100	50.	1.000	+2032030E-01	+2278563E-02	+0.1021255				
FILE14	1.	-1.000	100.000	0.	1.	1.	0.	0.0	0.000	0.010	1.100	50.	1.000	+2231140E-01	0.	+0.0000000				
FILE15	1.	-1.000	100.000	0.	1.	1.	0.	0.0	0.000	0.010	1.100	30.	1.000	+3058565F-01	+1754726E-01	+0.7864705				
FILE16	1.	-1.000	400.000	0.	1.	1.	0.	0.0	0.000	0.010	1.100	30.	1.000	+2202733E-01	+1740687E-03	+0.0046644				
FILE17	1.	-1.000	100.000	0.	1.	1.	0.	0.0	0.000	0.010	1.100	30.	1.000	+2a3917E-01	+1252763E-02	+0.1132894				
FILE18	1.	-1.000	100.000	0.	1.	1.	0.	0.0	0.000	0.010	1.100	30.	1.000	+2231111E-01	+2143809E-06	+0.0000108				
FILE19	1.	-1.000	100.000	0.	1.	1.	0.	0.0	0.000	0.010	1.100	30.	1.000	+2231111E-01	+2143809E-06	+0.0000108				
FILE20	1.	-1.000	100.000	0.	1.	1.	0.	0.0	0.000	0.010	1.100	30.	1.000	+285756E-01	+1433837L-02	+0.0651912				
FILE21	1.	-1.000	100.000	0.	1.	1.	0.	0.0	0.000	0.010	1.100	30.	1.000	+2231140E-01	0.	+0.0000000				
FILE22	1.	-1.000	100.000	0.	1.	1.	0.	0.0	0.000	0.010	1.100	10.	1.000	+8166981E+00	+9518333E+00	+7.0435602				
FILE23	1.	-1.000	100.000	0.	1.	1.	0.	0.0	0.000	0.010	1.100	10.	1.000	+904324E+01	+4392022E+01	+0.3336807				
FILE24	1.	-1.000	100.000	0.	1.	1.	0.	0.0	0.000	0.010	1.100	10.	1.000	+266622E-01	+11473E+00	+0.470993				
FILE25	1.	-1.000	100.000	0.	1.	1.	0.	0.0	0.000	0.010	1.100	10.	1.000	+192122E+00	+5923071E-02	+0.0438307				
FILE26	1.	-1.000	100.000	0.	1.	1.	0.	0.0	0.000	0.010	1.100	10.	1.000	+192122E+00	+5923071E-02	+0.0438307				
FILE27	1.	-1.000	100.000	0.	1.	1.	0.	0.0	0.000	0.010	1.100	10.	1.000	+5164661E-01	+7206865E-01	+0.5333075				
FILE28	1.	-1.000	100.000	0.	1.	1.	0.	0.0	0.000	0.010	1.100	10.	1.000	+1151353E+00	0.	+0.0000000				
FILE29	1.	-1.000	100.000	0.	1.	1.	0.	0.0	0.000	0.010	1.100	0.001	1.	+114943E+01	+1174848E+01	+8.7308666				
FILE30	1.	-1.000	100.000	0.	1.	1.	0.	0.0	0.000	0.010	1.100	0.001	1.	+162601E+00	+1112463E+01	+0.0323237				
FILE31	1.	-1.000	100.000	0.	1.	1.	0.	0.0	0.000	0.010	1.100	0.001	1.	+2142015E+00	+16508443E+01	+0.4816243				
FILE32	1.	-1.000	100.000	0.	1.	1.	0.	0.0	0.000	0.010	1.100	0.001	1.	+1150844E+00	+4713756E-04	+0.0003488				
FILE33	1.	-1.000	100.000	0.	1.	1.	0.	0.0	0.000	0.010	1.100	0.001	1.	+1150844E+00	+4713756E-04	+0.0003488				
FILE34	1.	-1.000	100.000	0.	1.	1.	0.	0.0	0.000	0.010	1.100	0.001	1.	+9794092E-01	+3719434E-01	+0.2752378				
FILE35	1.	-1.000	100.000	0.	1.	1.	0.	0.0	0.000	0.010	1.100	0.001	1.	+1451353E+00	0.	+0.0000000				
FILE36	1.	-1.000	100.000	0.	1.	1.	0.	0.0	0.000	0.010	1.100	23.	1.000	+9769717E+00	+8418364E+00	+6.2295835				
FILE37	1.	-1.000	100.000	0.	1.	1.	0.	0.0	0.000	0.010	1.100	23.	1.000	+1359578E+00	+0.01610604	+0.0000000				
FILE38	1.	-1.000	100.000	0.	1.	1.	0.	0.0	0.000	0.010	1.100	23.	1.000	+2412015E+00	+6.715823E+01	+0.2117704				
FILE39	1.	-1.000	100.000	0.	1.	1.	0.	0.0	0.000	0.010	1.100	23.	1.000	+1151449E+00	+9575201E-05	+0.00000716				
FILE40	1.	-1.000	100.000	0.	1.	1.	0.	0.0	0.000	0.010	1.100	23.	1.000	+1055707E+00	+3005823E+01	+0.2224307				
FILE41	1.	-1.000	100.000	0.	1.	1.	0.	0.0	0.000	0.010	1.100	23.	1.000	+1151353E+00	0.	+0.0000000				

A	B	C	n	BL	CL	HL	PLL	X0	Y0	Z0	H1	X1	Y1	E4	ER
EULER	1.	1.000	100.000	0.	1.	1.	1.0	0.000	0.010	0.010	10.	1.000	-2.525373E-01	-4.325047E+02	-1.0005842
HEUN	1.	1.000	100.000	0.	1.	1.	1.0	0.000	0.010	0.010	10.	1.000	-3.002525E-02	-4.322831E+02	-1.0000711
RK4	1.	1.000	100.000	0.	1.	1.	1.0	0.000	0.010	0.010	10.	1.000	-2.602244E-01	-4.324614E+02	-1.0004317
RK4-EKITA	1.	1.000	100.000	0.	1.	1.	1.0	0.000	0.010	0.010	10.	1.000	-2.08730F-02	-4.322281E+02	-0.9999443
RK4-EKITA?	1.	1.000	100.000	0.	1.	1.	1.0	0.000	0.010	0.010	10.	1.000	-2.405952E-02	-4.322281E+02	-0.9999443
ERK4	1.	1.000	100.000	0.	1.	1.	1.0	0.000	0.010	0.010	10.	1.000	-1.202611E-02	-4.322395E+02	-0.9999708
AK4-EKITA	1.	1.000	100.000	0.	1.	1.	1.0	0.000	0.010	0.010	10.	1.000	-4.325511E+02	0.	0.0000000

A	B	C	n	BL	CL	HL	PLL	X0	Y0	Z0	H1	X1	Y1	E4	ER
EULER	1.	1.000	100.000	0.	1.	1.	1.0	0.000	0.010	0.010	20.	1.000	-6.225341E-01	-4.323747E+02	-1.0014402
HEUN	1.	1.000	100.000	0.	1.	1.	1.0	0.000	0.010	0.010	20.	1.000	-2.012814E-02	-4.322320E+02	-0.9999534
RK4	1.	1.000	100.000	0.	1.	1.	1.0	0.000	0.010	0.010	20.	1.000	-3.427311E-02	-4.322139E+02	-0.9999115
RK4-EKITA	1.	1.000	100.000	0.	1.	1.	1.0	0.000	0.010	0.010	20.	1.000	-1.123939E-02	-4.322190E+02	-0.9999234
RK4-EKITA?	1.	1.000	100.000	0.	1.	1.	1.0	0.000	0.010	0.010	20.	1.000	-3.122432E-02	-4.322190E+02	-0.9999234
ERK4	1.	1.000	100.000	0.	1.	1.	1.0	0.000	0.010	0.010	20.	1.000	-2.033711E-02	-4.322291E+02	-0.9999467
AK4-EKITA	1.	1.000	100.000	0.	1.	1.	1.0	0.000	0.010	0.010	20.	1.000	-4.325511E+02	0.	0.0000000

A	B	C	n	BL	CL	HL	PLL	X0	Y0	Z0	H1	X1	Y1	E4	ER
EULER	1.	1.000	100.000	0.	1.	1.	1.0	0.000	0.010	0.010	25.	1.000	-4.147121E-01	-4.326667E+02	-1.0009594
HEUN	1.	1.000	100.000	0.	1.	1.	1.0	0.000	0.010	0.010	25.	1.000	-2.659711E-02	-4.322955E+02	-0.9999385
RK4	1.	1.000	100.000	0.	1.	1.	1.0	0.000	0.010	0.010	25.	1.000	-4.669494E-02	-4.322055E+02	-0.9998922
RK4-EKITA	1.	1.000	100.000	0.	1.	1.	1.0	0.000	0.010	0.010	25.	1.000	-3.417397E-02	-4.322107E+02	-0.999227
RK4-EKITA?	1.	1.000	100.000	0.	1.	1.	1.0	0.000	0.010	0.010	25.	1.000	-3.414154E-02	-4.322116E+02	-0.999227
ERK4	1.	1.000	100.000	0.	1.	1.	1.0	0.000	0.010	0.010	25.	1.000	-2.508481E-02	-4.322271E+02	-0.9999420
AK4-EKITA	1.	1.000	100.000	0.	1.	1.	1.0	0.000	0.010	0.010	25.	1.000	-4.325511E+02	0.	0.0000000

A	B	C	n	BL	CL	HL	PLL	X0	Y0	Z0	H1	X1	Y1	E4	ER
EULER	1.	1.000	100.000	0.	1.	1.	1.0	0.000	0.010	0.010	50.	1.000	-1.540122E-01	-4.32402L+02	-1.0035631
HEUN	1.	1.000	100.000	0.	1.	1.	1.0	0.000	0.010	0.010	50.	1.000	-3.299545E-02	-4.322198E+02	-0.9999253
RK4	1.	1.000	100.000	0.	1.	1.	1.0	0.000	0.010	0.010	50.	1.000	-3.191938E-02	-4.322219E+02	-0.9999301
RK4-EKITA	1.	1.000	100.000	0.	1.	1.	1.0	0.000	0.010	0.010	50.	1.000	-3.757522E-02	-4.322186E+02	-0.9999223
RK4-EKITA?	1.	1.000	100.000	0.	1.	1.	1.0	0.000	0.010	0.010	50.	1.000	-3.157522E-02	-4.322186E+02	-0.9999223
ERK4	1.	1.000	100.000	0.	1.	1.	1.0	0.000	0.010	0.010	50.	1.000	-2.921595E-02	-4.322229L+02	-0.9999324
AK4-EKITA	1.	1.000	100.000	0.	1.	1.	1.0	0.000	0.010	0.010	50.	1.000	-4.325511E+02	0.	0.0000000

A	B	C	n	BL	CL	HL	PLL	X0	Y0	Z0	H1	X1	Y1	E4	ER
EULER	1.	1.000	100.000	0.	1.	1.	1.0	0.000	0.010	0.010	70.	1.000	-1.044152E-01	-4.323566E+02	-1.002416
HEUN	1.	1.000	100.000	0.	1.	1.	1.0	0.000	0.010	0.010	70.	1.000	-3.111092E-02	-4.322190E+02	-0.9999234
RK4	1.	1.000	100.000	0.	1.	1.	1.0	0.000	0.010	0.010	70.	1.000	-2.747258E-02	-4.322314E+02	-0.9999230
RK4-EKITA	1.	1.000	100.000	0.	1.	1.	1.0	0.000	0.010	0.010	70.	1.000	-3.553173E-02	-4.322186E+02	-0.999923
RK4-EKITA?	1.	1.000	100.000	0.	1.	1.	1.0	0.000	0.010	0.010	70.	1.000	-3.581707E-02	-4.322186E+02	-0.999923
ERK4	1.	1.000	100.000	0.	1.	1.	1.0	0.000	0.010	0.010	70.	1.000	-3.810757E-02	-4.322213E+02	-0.9999287
AK4-EKITA	1.	1.000	100.000	0.	1.	1.	1.0	0.000	0.010	0.010	70.	1.000	-4.325511E+02	0.	0.0000000

A	B	C	n	BL	CL	HL	PLL	X0	Y0	Z0	H1	X1	Y1	E4	ER
EULER	1.	1.000	100.000	0.	1.	1.	1.0	0.000	0.001	0.010	10.	1.000	-1.09320E-01	-4.4445333E+01	-0.9957233
HEUN	1.	1.000	100.000	0.	1.	1.	1.0	0.000	0.001	0.010	10.	1.000	-2.433748E-01	-4.444666E+01	-1.0005045
RK4	1.	1.000	100.000	0.	1.	1.	1.0	0.000	0.001	0.010	10.	1.000	-6.77302E-02	-4.4471199E+01	-1.0015171
RK4-EKITA	1.	1.000	100.000	0.	1.	1.	1.0	0.000	0.001	0.010	10.	1.000	-6.903549E-02	-4.444357E+01	-0.9999845
RK4-EKITA?	1.	1.000	100.000	0.	1.	1.	1.0	0.000	0.001	0.010	10.	1.000	-6.978427E-02	-4.444357E+01	-0.9999846
ERK4	1.	1.000	100.000	0.	1.	1.	1.0	0.000	0.001	0.010	10.	1.000	-4.444291E+01	-4.444291E+01	-0.9999898
AK4-EKITA	1.	1.000	100.000	0.	1.	1.	1.0	0.000	0.001	0.010	10.	1.000	-4.464426E+01	0.	0.0000000

A	B	C	n	BL	CL	UL	LL	X0	Y0	Z0	W1	X1	Y1	F1	ER	
ELEM	1.	1.000	100.000	n.	1.	1.	1.	1.0	0.000	0.001	0.100	0.	1.000	+7134902E-02	-5326604E+01	-1.0012125
HELIOS	1.	1.000	100.000	n.	1.	1.	1.	1.0	0.000	0.001	0.100	0.	1.000	+1445454E-02	-5324819E+01	-1.0002293
RULE	1.	1.000	100.000	n.	1.	1.	1.	1.0	0.000	0.001	0.100	0.	1.000	+341787E-12	-5179969E+01	-0.3994082
SIMLEKUTTA	1.	1.000	100.000	n.	1.	1.	1.	1.0	0.000	0.001	0.100	0.	1.000	+1251773E-12	-5177420E+01	-1.0002128
SKILLTA	1.	1.000	100.000	n.	1.	1.	1.	1.0	0.000	0.001	0.100	0.	1.000	+1251773E-12	-5177420E+01	-1.0002128
PERSON	1.	1.000	100.000	n.	1.	1.	1.	1.0	0.000	0.001	0.100	0.	1.000	+6933501E-13	-5134463E+01	-1.0001688
ANALITICA	1.	1.000	100.000	n.	1.	1.	1.	1.0	0.000	0.001	0.100	0.	1.000	+80d3471E+01	0.	0.0000000

A	B	C	n	BL	CL	UL	LL	X0	Y0	Z0	W1	X1	Y1	F1	ER	
ELEM	1.	1.000	100.000	n.	1.	1.	1.	1.0	0.000	0.010	0.100	0.	1.000	+1009320E+00	-4445333E+02	-0.9957233
HELIOS	1.	1.000	100.000	n.	1.	1.	1.	1.0	0.000	0.010	0.100	0.	1.000	+2833783E-12	-4193669E+02	-1.0000545
RULE	1.	1.000	100.000	n.	1.	1.	1.	1.0	0.000	0.010	0.100	0.	1.000	+6773000E-01	-4411199E+02	-1.0015171
SIMLEKUTTA	1.	1.000	100.000	n.	1.	1.	1.	1.0	0.000	0.010	0.100	0.	1.000	+6303541E-13	-4444357L+02	-0.999845
SKILLTA	1.	1.000	100.000	n.	1.	1.	1.	1.0	0.000	0.010	0.100	0.	1.000	+6467849E-13	-4444357L+02	-0.999845
PERSON	1.	1.000	100.000	n.	1.	1.	1.	1.0	0.000	0.010	0.100	0.	1.000	+1120153E-12	-44404291E+02	-0.9999695
ANALITICA	1.	1.000	100.000	n.	1.	1.	1.	1.0	0.000	0.010	0.100	0.	1.000	+4646826E+02	0.	0.0000000

A	B	C	n	BL	CL	UL	LL	X0	Y0	Z0	W1	X1	Y1	F1	ER	
ELEM	1.	1.000	100.000	n.	1.	1.	1.	1.0	0.000	0.010	0.100	0.	1.000	+6460141E-01	-44470886E+02	-1.0014470
HELIOS	1.	1.000	100.000	n.	1.	1.	1.	1.0	0.000	0.010	0.100	0.	1.000	+6469151E-13	-44494515E+02	-1.0000199
RULE	1.	1.000	100.000	n.	1.	1.	1.	1.0	0.000	0.010	0.100	0.	1.000	+2826515E-12	-44494143L+02	-0.9999367
SIMLEKUTTA	1.	1.000	100.000	n.	1.	1.	1.	1.0	0.000	0.010	0.100	0.	1.000	+1023772E-12	-4444243E+02	-0.9999591
SKILLTA	1.	1.000	100.000	n.	1.	1.	1.	1.0	0.000	0.010	0.100	0.	1.000	+1425787E-12	-4444243E+02	-0.9999592
PERSON	1.	1.000	100.000	n.	1.	1.	1.	1.0	0.000	0.010	0.100	0.	1.000	+1788213E-12	-44434247E+02	-0.9999590
ANALITICA	1.	1.000	100.000	n.	1.	1.	1.	1.0	0.000	0.010	0.100	0.	1.000	+4646826E+02	0.	0.0000000

A	B	C	n	BL	CL	UL	LL	X0	Y0	Z0	W1	X1	Y1	F1	ER	
ELEM	1.	1.000	100.000	n.	1.	1.	1.	1.0	0.000	0.010	0.100	0.	1.000	+5674513E-01	-4449501L+02	-1.0011367
HELIOS	1.	1.000	100.000	n.	1.	1.	1.	1.0	0.000	0.010	0.100	0.	1.000	+2456908E-13	-4449437E+02	-0.9999363
RULE	1.	1.000	100.000	n.	1.	1.	1.	1.0	0.000	0.010	0.100	0.	1.000	+5609146E-12	-44493865E+02	-0.9998744
SIMLEKUTTA	1.	1.000	100.000	n.	1.	1.	1.	1.0	0.000	0.010	0.100	0.	1.000	+1878415E-12	-4449423AE+02	-0.9999579
SKILLTA	1.	1.000	100.000	n.	1.	1.	1.	1.0	0.000	0.010	0.100	0.	1.000	+1173526E-12	-4449423AE+02	-0.9999579
PERSON	1.	1.000	100.000	n.	1.	1.	1.	1.0	0.000	0.010	0.100	0.	1.000	+1435257E-12	-44494243E+02	-0.9999590
ANALITICA	1.	1.000	100.000	n.	1.	1.	1.	1.0	0.000	0.010	0.100	0.	1.000	+4646426E+02	0.	0.0000000

A	B	C	n	BL	CL	UL	LL	X0	Y0	Z0	W1	X1	Y1	F1	ER	
ELEM	1.	1.000	100.000	n.	1.	1.	1.	1.0	0.000	0.010	0.100	0.	1.000	+22087433E-01	-44496713E+02	-1.0005124
HELIOS	1.	1.000	100.000	n.	1.	1.	1.	1.0	0.000	0.010	0.100	0.	1.000	+1667388E-02	-44494249E+02	-0.9999649
RULE	1.	1.000	100.000	n.	1.	1.	1.	1.0	0.000	0.010	0.100	0.	1.000	+6072142E-02	-44493819E+02	-0.9998840
SIMLEKUTTA	1.	1.000	100.000	n.	1.	1.	1.	1.0	0.000	0.010	0.100	0.	1.000	+10131113E-02	-44494235E+02	-0.9999571
SKILLTA	1.	1.000	100.000	n.	1.	1.	1.	1.0	0.000	0.010	0.100	0.	1.000	+1213107E-02	-44494235L+02	-0.9999571
PERSON	1.	1.000	100.000	n.	1.	1.	1.	1.0	0.000	0.010	0.100	0.	1.000	+1435214E-12	-44494237E+02	-0.9999576
ANALITICA	1.	1.000	100.000	n.	1.	1.	1.	1.0	0.000	0.010	0.100	0.	1.000	+4646427E+02	0.	0.0000000

A	B	C	n	BL	CL	UL	LL	X0	Y0	Z0	W1	X1	Y1	F1	ER	
ELEM	1.	1.000	100.000	n.	1.	1.	1.	1.0	0.000	0.010	0.100	0.	1.000	+1577744E-01	-44496241E+02	-1.0003579
HELIOS	1.	1.000	100.000	n.	1.	1.	1.	1.0	0.000	0.010	0.100	0.	1.000	+1783500E-02	-44494247E+02	-0.9999600
RULE	1.	1.000	100.000	n.	1.	1.	1.	1.0	0.000	0.010	0.100	0.	1.000	+1515947E-02	-44493921E+02	-0.9998869
SIMLEKUTTA	1.	1.000	100.000	n.	1.	1.	1.	1.0	0.000	0.010	0.100	0.	1.000	+1916917E-02	-44494234E+02	-0.9999571
SKILLTA	1.	1.000	100.000	n.	1.	1.	1.	1.0	0.000	0.010	0.100	0.	1.000	+1916917E-02	-44494234L+02	-0.9999571
PERSON	1.	1.000	100.000	n.	1.	1.	1.	1.0	0.000	0.010	0.100	0.	1.000	+1498169E-12	-44494236E+02	-0.9999576
ANALITICA	1.	1.000	100.000	n.	1.	1.	1.	1.0	0.000	0.010	0.100	0.	1.000	+1564925E-12	0.	0.0000000

	A	B	C	D	BL	CL	HL	WLL	X0	Y0	Z0	H1	X1	V1	EA	ER
EULET	1.	-1.000	100.000	0.	1.	1.	1.	1.0	0.000	0.001	0.010	80.	1.000	*+3185965E+02	.3327365E+01	-0.9988035
HEVIS	1.	-1.000	100.000	0.	1.	1.	1.	1.0	0.000	0.001	0.010	80.	1.000	*+9488966E-3	.3332320L+01	-1.0002908
RUNI	1.	-1.000	100.000	0.	1.	1.	1.	1.0	0.000	0.001	0.010	80.	1.000	*+325147E+02	.33346402E+01	-1.0009756
RULET-KUITTA	1.	-1.000	100.000	0.	1.	1.	1.	1.0	0.000	0.001	0.010	80.	1.000	*+1029373E+02	.3332381L+01	-1.0003090
KUITTA?	1.	-1.000	100.000	0.	1.	1.	1.	1.0	0.000	0.001	0.010	80.	1.000	*+1029372E+02	.3332381E+01	-1.0003090
FERSU	1.	-1.000	100.000	0.	1.	1.	1.	1.0	0.000	0.001	0.010	80.	1.000	*+106109AE+02	.3332413E+01	-1.0003187
ANALITICA	1.	-1.000	100.000	0.	1.	1.	1.	1.0	0.000	0.001	0.010	80.	1.000	*+313135AE+01	0.	0.0000000
EULET	1.	"	C	D	BL	CL	HL	WLL	X0	Y0	Z0	H1	X1	V1	EA	ER
HEVIS	1.	-1.000	100.000	0.	1.	1.	1.	1.0	0.000	0.010	0.001	10.	1.000	*+9523560F+01	-0.740522E+01	-0.9893797
RUNI	1.	-1.000	100.000	0.	1.	1.	1.	1.0	0.000	0.010	0.001	10.	1.000	*+362043RE+02	-0.8129278E+01	-1.0004386
RULET-KUITTA	1.	-1.000	100.000	0.	1.	1.	1.	1.0	0.000	0.010	0.001	10.	1.000	*+319156AE+01	-0.8051654E+01	-1.0042234
KUITTA?	1.	-1.000	100.000	0.	1.	1.	1.	1.0	0.000	0.010	0.001	10.	1.000	*+11473AE+01	-0.812611E+01	-0.9983610
FERSU	1.	-1.000	100.000	0.	1.	1.	1.	1.0	0.000	0.010	0.001	10.	1.000	*+1113917E+01	-0.812619E+01	-0.9983628
ANALITICA	1.	-1.000	100.000	0.	1.	1.	1.	1.0	0.000	0.010	0.001	10.	1.000	*+4129247F+02	-0.8019429E+01	-0.9992114
EULET	1.	"	C	D	BL	CL	HL	WLL	X0	Y0	Z0	H1	X1	V1	EA	ER
HEVIS	1.	-1.000	100.000	0.	1.	1.	1.	1.0	0.000	0.010	0.001	20.	1.000	*+1110631E+00	-0.8156821E+01	-0.9163303
RUNI	1.	-1.000	100.000	0.	1.	1.	1.	1.0	0.000	0.010	0.001	20.	1.000	*+1055143E+01	-0.8015246E+01	-0.9986851
RULET-KUITTA	1.	-1.000	100.000	0.	1.	1.	1.	1.0	0.000	0.010	0.001	20.	1.000	*+2076532AE+01	-0.8005051L+01	-0.9974199
KUITTA?	1.	-1.000	100.000	0.	1.	1.	1.	1.0	0.000	0.010	0.001	20.	1.000	*+146459AE+01	-0.8019292E+01	-0.9794844
FERSU	1.	-1.000	100.000	0.	1.	1.	1.	1.0	0.000	0.010	0.001	20.	1.000	*+144652AE+01	-0.8019293E+01	-0.9794845
ANALITICA	1.	-1.000	100.000	0.	1.	1.	1.	1.0	0.000	0.010	0.001	20.	1.000	*+1135701E+01	-0.8013901E+01	-0.9852226
EULET	1.	"	C	D	BL	CL	HL	WLL	X0	Y0	Z0	H1	X1	V1	EA	ER
HEVIS	1.	-1.000	100.000	0.	1.	1.	1.	1.0	0.000	0.010	0.001	25.	1.000	*+9701610E+01	-0.1123374L+01	-0.0121629
RUNI	1.	-1.000	100.000	0.	1.	1.	1.	1.0	0.000	0.010	0.001	25.	1.000	*+1216101E+01	-0.4012542E+01	-0.9883533
RULET-KUITTA	1.	-1.000	100.000	0.	1.	1.	1.	1.0	0.000	0.010	0.001	25.	1.000	*+2575502E+01	-0.8000002E+01	-0.9967908
KUITTA?	1.	-1.000	100.000	0.	1.	1.	1.	1.0	0.000	0.010	0.001	25.	1.000	*+161134AE+01	-0.8009144E+01	-0.9979300
FERSU	1.	-1.000	100.000	0.	1.	1.	1.	1.0	0.000	0.010	0.001	25.	1.000	*+1401119E+01	-0.8009145E+01	-0.9979300
ANALITICA	1.	-1.000	100.000	0.	1.	1.	1.	1.0	0.000	0.010	0.001	25.	1.000	*+1284425E+01	-0.8012914E+01	-0.9983996
EULET	1.	"	C	D	BL	CL	HL	WLL	X0	Y0	Z0	H1	X1	V1	EA	ER
HEVIS	1.	-1.000	100.000	0.	1.	1.	1.	1.0	0.000	0.010	0.001	50.	1.000	*+372283AE+01	-0.8065681E+01	-0.0049741
RUNI	1.	-1.000	100.000	0.	1.	1.	1.	1.0	0.000	0.010	0.001	50.	1.000	*+1400307E+01	-0.8039754E+01	-0.9980059
RULET-KUITTA	1.	-1.000	100.000	0.	1.	1.	1.	1.0	0.000	0.010	0.001	50.	1.000	*+1557317E+01	-0.8010185E+01	-0.9980396
KUITTA?	1.	-1.000	100.000	0.	1.	1.	1.	1.0	0.000	0.010	0.001	50.	1.000	*+1570455E+01	-0.8009053E+01	-0.9979186
FERSU	1.	-1.000	100.000	0.	1.	1.	1.	1.0	0.000	0.010	0.001	50.	1.000	*+1670454E+01	-0.8009053E+01	-0.9979186
ANALITICA	1.	-1.000	100.000	0.	1.	1.	1.	1.0	0.000	0.010	0.001	50.	1.000	*+1476946E+01	-0.8010988E+01	-0.9981597
EULET	1.	"	C	D	BL	CL	HL	WLL	X0	Y0	Z0	H1	X1	V1	EA	ER
HEVIS	1.	-1.000	100.000	0.	1.	1.	1.	1.0	0.000	0.010	0.001	80.	1.000	*+2677680E+01	-0.8052335E+01	-0.00333364
RUNI	1.	-1.000	100.000	0.	1.	1.	1.	1.0	0.000	0.010	0.001	80.	1.000	*+144476AE+01	-0.8009311E+01	-0.9979057
RULET-KUITTA	1.	-1.000	100.000	0.	1.	1.	1.	1.0	0.000	0.010	0.001	80.	1.000	*+9111222E+02	-0.8016447E+01	-0.9988339
KUITTA?	1.	-1.000	100.000	0.	1.	1.	1.	1.0	0.000	0.010	0.001	80.	1.000	*+14701913E+01	-0.8009494E+01	-0.9979181
FERSU	1.	-1.000	100.000	0.	1.	1.	1.	1.0	0.000	0.010	0.001	80.	1.000	*+16701913E+01	-0.8009494E+01	-0.9979181
ANALITICA	1.	-1.000	100.000	0.	1.	1.	1.	1.0	0.000	0.010	0.001	80.	1.000	*+1548953E+01	-0.8010988E+01	-0.9980760

			C	G	B	BL	CL	BL	PLL	X0	Y0	Z0	HJ	XI	YI	EA	ER
EULER	1.	100.000	100.000	n.	1.	1.	0.	0.	0.	0.000	0.010	0.010	10.	1.000	-6.6197049E+06	-6.6370038E+06	*****
HELIOS	1.	100.000	100.000	n.	1.	1.	0.	0.	0.	0.000	0.010	0.010	10.	1.000	-2.07594E+07	-2.10784E+07	*****
TURBO	1.	100.000	100.000	n.	1.	1.	0.	0.	0.	0.000	0.010	0.010	10.	1.000	-1.104775E+18	-1.104775E+18	*****
TIME-KITTA	1.	100.000	100.000	n.	1.	1.	0.	0.	0.	0.000	0.010	0.010	10.	1.000	-5.761766E+21	-5.761766E+21	*****
SKITTA?	1.	100.000	100.000	n.	1.	1.	0.	0.	0.	0.000	0.010	0.010	10.	1.000	-5.761766E+21	-5.761766E+21	*****
TERSSA	1.	100.000	100.000	n.	1.	1.	0.	0.	0.	0.000	0.010	0.010	10.	1.000	-6.656563E+23	-6.6336563E+23	*****
ANALYTICA	1.	100.000	100.000	n.	1.	1.	0.	0.	0.	0.000	0.010	0.010	10.	1.000	-3716153E+02	0.	0.0000000

			C	G	B	BL	CL	BL	PLL	X0	Y0	Z0	HJ	XI	YI	EA	ER
EULER	1.	100.000	100.000	n.	1.	1.	0.	0.	0.	0.000	0.010	0.010	20.	1.000	-1.749543E+19	-1.749543E+09	*****
HELIOS	1.	100.000	100.000	n.	1.	1.	0.	0.	0.	0.000	0.010	0.010	20.	1.000	-6.619745E+31	-6.621078E+31	*****
TURBO	1.	100.000	100.000	n.	1.	1.	0.	0.	0.	0.000	0.010	0.010	20.	1.000	-4.194440E+19	-4.194440E+19	*****
TIME-KITTA	1.	100.000	100.000	n.	1.	1.	0.	0.	0.	0.000	0.010	0.010	20.	1.000	-4.518194E+19	-4.518194E+19	*****
SKITTA?	1.	100.000	100.000	n.	1.	1.	0.	0.	0.	0.000	0.010	0.010	20.	1.000	-4.518194E+19	-4.518194E+19	*****
TERSSA	1.	100.000	100.000	n.	1.	1.	0.	0.	0.	0.000	0.010	0.010	20.	1.000	-2.273370E+16	-2.273370E+16	*****
ANALYTICA	1.	100.000	100.000	n.	1.	1.	0.	0.	0.	0.000	0.010	0.010	20.	1.000	-3716153E+02	0.	0.0000000

			C	G	B	BL	CL	BL	PLL	X0	Y0	Z0	HJ	XI	YI	EA	ER
EULER	1.	100.000	100.000	n.	1.	1.	0.	0.	0.	0.000	0.010	0.010	25.	1.000	-1.38512E+09	-1.218512E+09	*****
HELIOS	1.	100.000	100.000	n.	1.	1.	0.	0.	0.	0.000	0.010	0.010	25.	1.000	-7.643824E+29	-7.643824E+29	*****
TURBO	1.	100.000	100.000	n.	1.	1.	0.	0.	0.	0.000	0.010	0.010	25.	1.000	-7.01705E+16	-7.01705E+16	*****
TIME-KITTA	1.	100.000	100.000	n.	1.	1.	0.	0.	0.	0.000	0.010	0.010	25.	1.000	-1.03425E+14	-1.03425E+14	*****
SKITTA?	1.	100.000	100.000	n.	1.	1.	0.	0.	0.	0.000	0.010	0.010	25.	1.000	-1.03425E+14	-1.03425E+14	*****
TERSSA	1.	100.000	100.000	n.	1.	1.	0.	0.	0.	0.000	0.010	0.010	25.	1.000	-1.150235E+07	-1.150235E+07	*****
ANALYTICA	1.	100.000	100.000	n.	1.	1.	0.	0.	0.	0.000	0.010	0.010	25.	1.000	-3716153E+02	0.	0.0000000

			C	G	B	BL	CL	BL	PLL	X0	Y0	Z0	HJ	XI	YI	EA	ER
EULER	1.	100.000	100.000	n.	1.	1.	0.	0.	0.	0.000	0.010	0.010	50.	1.000	-3.030567E+02	-1.121854E-03	-0.0301886
HELIOS	1.	100.000	100.000	n.	1.	1.	0.	0.	0.	0.000	0.010	0.010	50.	1.000	-3.089113E+02	-2.7473955L+04	-0.0073569
TURBO	1.	100.000	100.000	n.	1.	1.	0.	0.	0.	0.000	0.010	0.010	50.	1.000	-3750717E+02	-3456494L+04	-0.0093012
TIME-KITTA	1.	100.000	100.000	n.	1.	1.	0.	0.	0.	0.000	0.010	0.010	50.	1.000	-3716153E+02	-4348522E+11	0.0000000
SKITTA?	1.	100.000	100.000	n.	1.	1.	0.	0.	0.	0.000	0.010	0.010	50.	1.000	-3716153E+02	-4340100E+11	0.0000000
TERSSA	1.	100.000	100.000	n.	1.	1.	0.	0.	0.	0.000	0.010	0.010	50.	1.000	-3720333E+02	-4330117E+05	0.0011381
ANALYTICA	1.	100.000	100.000	n.	1.	1.	0.	0.	0.	0.000	0.010	0.010	50.	1.000	-3716153E+02	0.	0.0000000

			C	G	B	BL	CL	BL	PLL	X0	Y0	Z0	HJ	XI	YI	EA	ER
EULER	1.	100.000	100.000	n.	1.	1.	0.	0.	0.	0.000	0.010	0.010	70.	1.000	-3.921215E+02	-2.312715E+04	-0.0364118
HELIOS	1.	100.000	100.000	n.	1.	1.	0.	0.	0.	0.000	0.010	0.010	70.	1.000	-3.716103F+02	-4.47987L+07	-0.0000134
TURBO	1.	100.000	100.000	n.	1.	1.	0.	0.	0.	0.000	0.010	0.010	70.	1.000	-3.75949E+02	-4.309377E+04	-0.0117578
TIME-KITTA	1.	100.000	100.000	n.	1.	1.	0.	0.	0.	0.000	0.010	0.010	70.	1.000	-3716153E+02	-2.273737L+12	-0.0000000
SKITTA?	1.	100.000	100.000	n.	1.	1.	0.	0.	0.	0.000	0.010	0.010	70.	1.000	-3716153E+02	-2.273737E+12	-0.0000000
TERSSA	1.	100.000	100.000	n.	1.	1.	0.	0.	0.	0.000	0.010	0.010	70.	1.000	-3718703E+02	-2.000023E+05	0.00007114
ANALYTICA	1.	100.000	100.000	n.	1.	1.	0.	0.	0.	0.000	0.010	0.010	70.	1.000	-3715153E+02	0.	0.0000000

			C	G	B	BL	CL	BL	PLL	X0	Y0	Z0	HJ	XI	YI	EA	ER
EULER	1.	100.000	100.000	n.	1.	1.	0.	0.	0.	0.000	0.010	0.010	10.	1.000	-3.499950E+06	-3.4299950L+06	*****
HELIOS	1.	100.000	100.000	n.	1.	1.	0.	0.	0.	0.000	0.010	0.010	10.	1.000	-1.199754E+27	-1.199754E+27	*****
TURBO	1.	100.000	100.000	n.	1.	1.	0.	0.	0.	0.000	0.010	0.010	10.	1.000	-5.510324E+17	-5.510324E+17	*****
TIME-KITTA	1.	100.000	100.000	n.	1.	1.	0.	0.	0.	0.000	0.010	0.010	10.	1.000	-3.155490E+21	-3.155490E+21	*****
SKITTA?	1.	100.000	100.000	n.	1.	1.	0.	0.	0.	0.000	0.010	0.010	10.	1.000	-3.155480E+21	-3.155480E+21	*****
TERSSA	1.	100.000	100.000	n.	1.	1.	0.	0.	0.	0.000	0.010	0.010	10.	1.000	-3.755446E+23	-3.755446E+23	*****
ANALYTICA	1.	100.000	100.000	n.	1.	1.	0.	0.	0.	0.000	0.010	0.010	10.	1.000	-4.650640E+23	0.	0.0000000

	A	B	C	D	E	F	G	H	I	JL	KL	MLL	X0	Y0	Z0	U1	X1	V1	E4	ER
EULER	1.	101.000	100.000	0.	1.	1.	0.	0.	0.	0.000	0.001	0.010	20.	1.000	-9.82917E+4	-2.32517E+08	*****			
HEUS	1.	100.000	100.000	0.	1.	1.	0.	0.	0.	0.000	0.001	0.010	20.	1.000	-3.4084E+11	-1.47094E+31	*****			
KELIE	1.	100.000	100.000	0.	1.	1.	0.	0.	0.	0.000	0.001	0.010	20.	1.000	-2.86677E+19	-2.236677E+19	*****			
SUMGEKITA	1.	100.000	100.000	0.	1.	1.	0.	0.	0.	0.000	0.001	0.010	20.	1.000	-2.474545E+19	-2.474545E+19	*****			
REKITA2	1.	101.000	100.000	0.	1.	1.	0.	0.	0.	0.000	0.001	0.010	20.	1.000	-2.574545E+19	-2.474545E+19	*****			
TERSI	1.	101.000	100.000	0.	1.	1.	0.	0.	0.	0.000	0.001	0.010	20.	1.000	-1.945150E+16	-1.447160E+16	*****			
ANALITICA	1.	100.000	100.000	0.	1.	1.	0.	0.	0.	0.000	0.001	0.010	20.	1.000	-4.05641E-23	0.	0.0000000			
EULER	1.	101.000	100.000	0.	1.	1.	0.	0.	0.	0.000	0.001	0.010	20.	1.000	-6.783521E+9	-1.713521E+08	*****			
HEUS	1.	101.000	100.000	0.	1.	1.	0.	0.	0.	0.000	0.001	0.010	20.	1.000	-4.197595E+22	-1.197595E+29	*****			
KELIE	1.	101.000	100.000	0.	1.	1.	0.	0.	0.	0.000	0.001	0.010	20.	1.000	-3.17509E+16	-3.17509E+16	*****			
SUMGEKITA	1.	100.000	100.000	0.	1.	1.	0.	0.	0.	0.000	0.001	0.010	20.	1.000	-1.059624E+14	-1.059624E+14	*****			
REKITA2	1.	100.000	100.000	0.	1.	1.	0.	0.	0.	0.000	0.001	0.010	20.	1.000	-1.59964E+14	-1.59964E+14	*****			
TERSI	1.	101.000	100.000	0.	1.	1.	0.	0.	0.	0.000	0.001	0.010	20.	1.000	-4.00017E+26	-6.300017E+06	*****			
ANALITICA	1.	100.000	100.000	0.	1.	1.	0.	0.	0.	0.000	0.001	0.010	20.	1.000	-4.05641E-23	0.	0.0000000			
EULER	1.	100.000	100.000	0.	1.	1.	0.	0.	0.	0.000	0.001	0.010	20.	1.000	-3.03967E+43	-4.406733E-04	-0.110272			
HEUS	1.	100.000	100.000	0.	1.	1.	0.	0.	0.	0.000	0.001	0.010	20.	1.000	-3.701454E+03	-1.141828E-04	-0.0368294			
KELIE	1.	101.000	100.000	0.	1.	1.	0.	0.	0.	0.000	0.001	0.010	20.	1.000	-2.444619E+13	-1.397196E-04	-0.0478884			
SUMGEKITA	1.	101.000	100.000	0.	1.	1.	0.	0.	0.	0.000	0.001	0.010	20.	1.000	-4.553640E+13	-4.25109E-12	0.0000000			
REKITA2	1.	101.000	101.000	0.	1.	1.	0.	0.	0.	0.000	0.001	0.010	20.	1.000	-4.553640E+13	-4.25109E-12	0.0000000			
TERSI	1.	101.000	101.000	0.	1.	1.	0.	0.	0.	0.000	0.001	0.010	20.	1.000	-4.655251E+13	-4.612867E+06	0.0011384			
ANALITICA	1.	100.000	100.000	0.	1.	1.	0.	0.	0.	0.000	0.001	0.010	20.	1.000	-4.05641E-23	0.	0.0000000			
EULER	1.	101.000	100.000	0.	1.	1.	0.	0.	0.	0.000	0.001	0.010	20.	1.000	-4.245569E+03	-4.237181E-05	-0.0064118			
HEUS	1.	101.000	100.000	0.	1.	1.	0.	0.	0.	0.000	0.001	0.010	20.	1.000	-4.505956E+03	-5.446945E-08	-0.0000134			
KELIE	1.	101.000	100.000	0.	1.	1.	0.	0.	0.	0.000	0.001	0.010	20.	1.000	-4.87010E+03	-2.313697E-04	-0.0583537			
SUMGEKITA	1.	100.000	100.000	0.	1.	1.	0.	0.	0.	0.000	0.001	0.010	20.	1.000	-4.505940E+03	-1.776357E-13	-0.0000000			
REKITA2	1.	100.000	100.000	0.	1.	1.	0.	0.	0.	0.000	0.001	0.010	20.	1.000	-4.505940E+03	-1.776357E-13	-0.0000000			
TERSI	1.	101.000	100.000	0.	1.	1.	0.	0.	0.	0.000	0.001	0.010	20.	1.000	-4.153519E+03	-2.977649E-06	0.0007104			
ANALITICA	1.	100.000	100.000	0.	1.	1.	0.	0.	0.	0.000	0.001	0.010	20.	1.000	-4.05641E-23	0.	0.0000000			
EULER	1.	101.000	100.000	0.	1.	1.	0.	0.	0.	0.000	0.001	0.010	20.	1.000	-3.292144E+06	-3.529146E+06	*****			
HEUS	1.	101.000	100.000	0.	1.	1.	0.	0.	0.	0.000	0.001	0.010	20.	1.000	-1.108223E+27	-1.108223E+27	*****			
KELIE	1.	101.000	100.000	0.	1.	1.	0.	0.	0.	0.000	0.001	0.010	20.	1.000	-5.642203E+17	-5.642203E+17	*****			
SUMGEKITA	1.	100.000	100.000	0.	1.	1.	0.	0.	0.	0.000	0.001	0.010	20.	1.000	-3.162134E+21	-3.162134E+21	*****			
REKITA2	1.	101.000	100.000	0.	1.	1.	0.	0.	0.	0.000	0.001	0.010	20.	1.000	-3.162134E+21	-3.162134E+21	*****			
TERSI	1.	100.000	100.000	0.	1.	1.	0.	0.	0.	0.000	0.001	0.010	20.	1.000	-3.786773E+21	-3.786773E+21	*****			
ANALITICA	1.	100.000	100.000	0.	1.	1.	0.	0.	0.	0.000	0.001	0.010	20.	1.000	-1.82704E-02	0.	0.0000000			
EULER	1.	101.000	100.000	0.	1.	1.	0.	0.	0.	0.000	0.001	0.010	20.	1.000	-9.62254E+08	-9.62254E+08	*****			
HEUS	1.	100.000	100.000	0.	1.	1.	0.	0.	0.	0.000	0.001	0.010	20.	1.000	-3.61781E+31	-3.61781E+31	*****			
KELIE	1.	100.000	100.000	0.	1.	1.	0.	0.	0.	0.000	0.001	0.010	20.	1.000	-2.94276E+19	-2.94276E+19	*****			
SUMGEKITA	1.	101.000	100.000	0.	1.	1.	0.	0.	0.	0.000	0.001	0.010	20.	1.000	-2.94532E+19	-2.94532E+19	*****			
REKITA2	1.	101.000	100.000	0.	1.	1.	0.	0.	0.	0.000	0.001	0.010	20.	1.000	-2.94532E+19	-2.94532E+19	*****			
TERSI	1.	101.000	100.000	0.	1.	1.	0.	0.	0.	0.000	0.001	0.010	20.	1.000	-1.555547E+16	-1.555547E+16	*****			
ANALITICA	1.	101.000	100.000	0.	1.	1.	0.	0.	0.	0.000	0.001	0.010	20.	1.000	-3.82704E-02	0.	0.0000000			

	A	B	C	n	BL	CL	HL	ULL	X0	Y0	Z0	W0	X1	Y1	EA	ER
EULER	1.	100.000	100.000	0.	1.	1.	0.	0.0	0.000	0.010	0.001	25.	1.000	-5910105E+04	.6910108E+08	*****
HEUN	1.	100.000	100.000	0.	1.	1.	0.	0.0	0.000	0.010	0.001	25.	1.000	-49232611E+29	-42324611E+29	*****
RUNGE	1.	100.000	100.000	0.	1.	1.	0.	0.0	0.000	0.010	0.001	25.	1.000	-3064944E+16	-3934966E+16	*****
RUNGE-KUTTA	1.	100.000	100.000	0.	1.	1.	0.	0.0	0.000	0.010	0.001	25.	1.000	-1066464E+14	-1030464E+14	*****
RK45T2	1.	100.000	100.000	0.	1.	1.	0.	0.0	0.000	0.010	0.001	25.	1.000	-1063444E+14	-1103444E+14	*****
TRAPZ	1.	100.000	100.000	0.	1.	1.	0.	0.0	0.000	0.010	0.001	25.	1.000	-632571E+06	-632571E+06	*****
ANALYTICA	1.	100.000	100.000	0.	1.	1.	0.	0.0	0.000	0.010	0.001	25.	1.000	-3482704E-02	0.	0.0000000

	A	B	C	n	BL	CL	HL	ULL	X0	Y0	Z0	W0	X1	Y1	EA	ER
EULER	1.	100.000	100.000	0.	1.	1.	0.	0.0	0.000	0.010	0.001	50.	1.000	-3403947E+02	-7373666E+04	-0.0213801
HEUN	1.	100.000	100.000	0.	1.	1.	0.	0.0	0.000	0.010	0.001	50.	1.000	-3467549E+02	-1515522E+04	-0.0041159
RUNGE	1.	100.000	100.000	0.	1.	1.	0.	0.0	0.000	0.010	0.001	50.	1.000	-371327E+02	-112308E+04	0.0050560
RUNGE-KUTTA	1.	100.000	100.000	0.	1.	1.	0.	0.0	0.000	0.010	0.001	50.	1.000	-3492704E+02	-4232535E+11	0.0000000
RK45T2	1.	100.000	100.000	0.	1.	1.	0.	0.0	0.000	0.010	0.001	50.	1.000	-3412704E+02	-4203254E+11	0.0000000
TRAPZ	1.	100.000	100.000	0.	1.	1.	0.	0.0	0.000	0.010	0.001	50.	1.000	-3468374E+02	-412042E+05	0.0011383
ANALYTICA	1.	100.000	100.000	0.	1.	1.	0.	0.0	0.000	0.010	0.001	50.	1.000	-3492704E+02	0.	0.0000000

	A	B	C	n	BL	CL	HL	ULL	X0	Y0	Z0	W0	X1	Y1	EA	ER
EULER	1.	100.000	100.000	0.	1.	1.	0.	0.0	0.000	0.010	0.001	90.	1.000	-3459001E+02	-731269E+04	-0.0044118
HEUN	1.	100.000	100.000	0.	1.	1.	0.	0.0	0.000	0.010	0.001	90.	1.000	-3482654E+02	-7493098E+07	-0.00000134
RUNGE	1.	100.000	100.000	0.	1.	1.	0.	0.0	0.000	0.010	0.001	90.	1.000	-3707130E+02	-2442618E+04	0.006327
RUNGE-KUTTA	1.	100.000	100.000	0.	1.	1.	0.	0.0	0.000	0.010	0.001	90.	1.000	-3462704E+02	-1249520E+12	0.0000000
RK45T2	1.	100.000	100.000	0.	1.	1.	0.	0.0	0.000	0.010	0.001	90.	1.000	-3432744E+02	-1939520E+12	0.0000000
TRAPZ	1.	100.000	100.000	0.	1.	1.	0.	0.0	0.000	0.010	0.001	90.	1.000	-3455320F+02	-2616260E+05	0.0007104
ANALYTICA	1.	100.000	100.000	0.	1.	1.	0.	0.0	0.000	0.010	0.001	90.	1.000	-3492704E+02	0.	0.0000000

	A	B	C	n	BL	CL	HL	ULL	X0	Y0	Z0	W0	X1	Y1	EA	ER
EULER	1.	100.000	100.000	0.	1.	1.	0.	0.0	0.000	0.100	0.100	10.	1.000	-5410094E+07	.6310088E+07	*****
HEUN	1.	100.000	100.000	0.	1.	1.	0.	0.0	0.000	0.100	0.100	10.	1.000	-2007849E+28	-2007849E+28	*****
RUNGE	1.	100.000	100.000	0.	1.	1.	0.	0.0	0.000	0.100	0.100	10.	1.000	-1104775E+19	-1104775E+19	*****
RUNGE-KUTTA	1.	100.000	100.000	0.	1.	1.	0.	0.0	0.000	0.100	0.100	10.	1.000	-5761744E+22	-5761744E+22	*****
RK45T2	1.	100.000	100.000	0.	1.	1.	0.	0.0	0.000	0.100	0.100	10.	1.000	-5761744E+22	-5761744E+22	*****
TRAPZ	1.	100.000	100.000	0.	1.	1.	0.	0.0	0.000	0.100	0.100	10.	1.000	-6455653F+24	-70156563E+24	*****
ANALYTICA	1.	100.000	100.000	0.	1.	1.	0.	0.0	0.000	0.100	0.100	10.	1.000	-3716153E+01	0.	0.0000000

	A	B	C	n	BL	CL	HL	ULL	X0	Y0	Z0	W0	X1	Y1	EA	ER
EULER	1.	100.000	100.000	0.	1.	1.	0.	0.0	0.000	0.100	0.100	20.	1.000	-1749543E+10	.1749543E+10	*****
HEUN	1.	100.000	100.000	0.	1.	1.	0.	0.0	0.000	0.100	0.100	20.	1.000	-4500786E+32	-6230786E+32	*****
RUNGE	1.	100.000	100.000	0.	1.	1.	0.	0.0	0.000	0.100	0.100	20.	1.000	-4154440E+20	-4154440E+20	*****
RUNGE-KUTTA	1.	100.000	100.000	0.	1.	1.	0.	0.0	0.000	0.100	0.100	20.	1.000	-44318194E+20	-44318194E+20	*****
RK45T2	1.	100.000	100.000	0.	1.	1.	0.	0.0	0.000	0.100	0.100	20.	1.000	-44318194E+20	-44318194E+20	*****
TRAPZ	1.	100.000	100.000	0.	1.	1.	0.	0.0	0.000	0.100	0.100	20.	1.000	-2273370E+17	-2273370E+17	*****
ANALYTICA	1.	100.000	100.000	0.	1.	1.	0.	0.0	0.000	0.100	0.100	20.	1.000	-3716153E+01	0.	0.0000000

	A	B	C	n	BL	CL	HL	ULL	X0	Y0	Z0	W0	X1	Y1	EA	ER
EULER	1.	100.000	100.000	0.	1.	1.	0.	0.0	0.000	0.100	0.100	25.	1.000	-1233512E+10	.1233512E+10	*****
HEUN	1.	100.000	100.000	0.	1.	1.	0.	0.0	0.000	0.100	0.100	25.	1.000	-7543824L+30	-7543824L+30	*****
RUNGE	1.	100.000	100.000	0.	1.	1.	0.	0.0	0.000	0.100	0.100	25.	1.000	-7201795E+17	-7201795E+17	*****
RUNGE-KUTTA	1.	100.000	100.000	0.	1.	1.	0.	0.0	0.000	0.100	0.100	25.	1.000	-1346875E+15	-1346875E+15	*****
RK45T2	1.	100.000	100.000	0.	1.	1.	0.	0.0	0.000	0.100	0.100	25.	1.000	-1934625E+15	-1934625E+15	*****
TRAPZ	1.	100.000	100.000	0.	1.	1.	0.	0.0	0.000	0.100	0.100	25.	1.000	-1150235E+08	-1150235E+08	*****
ANALYTICA	1.	100.000	100.000	0.	1.	1.	0.	0.0	0.000	0.100	0.100	25.	1.000	-3716153E+01	0.	0.0000000

	A	R	C	D	RL	CL	HL	HLL	X0	Y0	Z0	H1	X1	Y1	E1	ER
DELEM	1.	100+000	100+000	0,	1,	1,	0,	0,00	0+001	J+100	25,	1,000	+623361E+09	+623361E+09	*****	*****
DEMS	1.	100+000	100+000	0,	1,	1,	0,	0,00	0+000	J+100	25,	1,000	+3451972E+12	+3450972E+10	*****	*****
DEMS	1.	100+000	100+000	0,	1,	1,	0,	0,00	0+000	J+100	25,	1,000	+3432530E+17	+3432530E+17	*****	*****
DEMS	1.	100+000	100+000	0,	1,	1,	0,	0,00	0+000	J+100	25,	1,000	+9721241E+14	+9721241E+14	*****	*****
DEMS	1.	100+000	100+000	0,	1,	1,	0,	0,00	0+000	J+100	25,	1,000	+9721241E+14	+9721241E+14	*****	*****
DEMS	1.	100+000	100+000	0,	1,	1,	0,	0,00	J+000	J+100	25,	1,000	+5779743E+07	+5779743E+07	*****	*****
DEMS	1.	100+000	100+000	0,	1,	1,	0,	0,00	J+000	J+100	25,	1,000	+717519E+03	0+	*****	0+00000000

	A	B	C	n	BL	CL	BL	CL	X0	Y0	Z0	R1	X1	Y1	Z1	E4	ER
FILE1	1.	100.000	100.000	0.	1.	1.	0.	0.	0.000	0.000	0.100	0.	1.000	-7493101E-03	-4741844E-05	-0.0064118	
FILE2	1.	100.000	100.000	0.	1.	1.	0.	0.	0.000	0.000	0.100	0.	1.000	-7105492E-03	-9226584E-08	-0.0000134	
FILE3	1.	100.000	100.000	0.	1.	1.	0.	0.	0.000	0.000	0.100	0.	1.000	-6505495E-03	-2193129E-03	-0.2924918	
FILE4 ¹ TTA	1.	100.000	100.000	0.	1.	1.	0.	0.	0.000	0.000	0.100	0.	1.000	-7195519E-03	-3522714E-13	-0.0000000	
FILE4 ² TTA	1.	100.000	100.000	0.	1.	1.	0.	0.	0.000	0.000	0.100	0.	1.000	-7395519E-03	-3917985E-13	-0.0000000	
FILE5	1.	100.000	100.000	0.	1.	1.	0.	0.	0.000	0.000	0.100	0.	1.000	-7407773E-03	-5233912E-06	0.0007104	
FILE6 TTA	1.	100.000	100.000	0.	1.	1.	0.	0.	0.000	0.000	0.100	0.	1.000	-7395519E-03	0.	0.0000000	
FILE7	1.	100.000	100.000	0.	1.	1.	0.	0.	0.000	0.000	0.100	0.	1.000	-7493101E-03	-4741844E-05	-0.0064118	
FILE8	1.	100.000	100.000	0.	1.	1.	0.	0.	0.000	0.000	0.100	0.	1.000	-7105492E-03	-9226584E-08	-0.0000134	
FILE9	1.	100.000	100.000	0.	1.	1.	0.	0.	0.000	0.000	0.100	0.	1.000	-6505495E-03	-2193129E-03	-0.2924918	
FILE10 TTA	1.	100.000	100.000	0.	1.	1.	0.	0.	0.000	0.000	0.100	0.	1.000	-7195519E-03	-3522714E-13	-0.0000000	
FILE11 TTA	1.	100.000	100.000	0.	1.	1.	0.	0.	0.000	0.000	0.100	0.	1.000	-7395519E-03	-3917985E-13	-0.0000000	
FILE12	1.	100.000	100.000	0.	1.	1.	0.	0.	0.000	0.000	0.100	0.	1.000	-7407773E-03	-5233912E-06	0.0007104	
FILE13 TTA	1.	100.000	100.000	0.	1.	1.	0.	0.	0.000	0.000	0.100	0.	1.000	-7395519E-03	0.	0.0000000	
FILE14	1.	100.000	100.000	0.	1.	1.	0.	0.	0.000	0.000	0.100	0.	1.000	-7493101E-07	-3479950E+07	***+*****	
FILE15	1.	100.000	100.000	0.	1.	1.	0.	0.	0.000	0.000	0.100	0.	1.000	-7105492E+08	-10979754E+28	***+*****	
FILE16	1.	100.000	100.000	0.	1.	1.	0.	0.	0.000	0.000	0.100	0.	1.000	-6505495E+08	-551324E+18	***+*****	
FILE17 TTA	1.	100.000	100.000	0.	1.	1.	0.	0.	0.000	0.000	0.100	0.	1.000	-3153809E+22	-3125809E+22	***+*****	
FILE18 TTA	1.	100.000	100.000	0.	1.	1.	0.	0.	0.000	0.000	0.100	0.	1.000	-3125809E+22	-3125809E+22	***+*****	
FILE19	1.	100.000	100.000	0.	1.	1.	0.	0.	0.000	0.000	0.100	0.	1.000	-3753446E+24	-3753446E+24	***+*****	
FILE20 TTA	1.	100.000	100.000	0.	1.	1.	0.	0.	0.000	0.000	0.100	0.	1.000	-4050640E+02	0.	0.0000000	
FILE21	1.	100.000	100.000	0.	1.	1.	0.	0.	0.000	0.000	0.100	0.	1.000	-9502517E+09	-452517E+09	***+*****	
FILE22	1.	100.000	100.000	0.	1.	1.	0.	0.	0.000	0.000	0.100	0.	1.000	-3404084E+32	-13404084E+32	***+*****	
FILE23	1.	100.000	100.000	0.	1.	1.	0.	0.	0.000	0.000	0.100	0.	1.000	-95046107E+20	-22931607E+20	***+*****	
FILE24 TTA	1.	100.000	100.000	0.	1.	1.	0.	0.	0.000	0.000	0.100	0.	1.000	-1747645E+25	-24747645E+20	***+*****	
FILE25 TTA	1.	100.000	100.000	0.	1.	1.	0.	0.	0.000	0.000	0.100	0.	1.000	-24747645E+22	-24747645E+20	***+*****	
FILE26	1.	100.000	100.000	0.	1.	1.	0.	0.	0.000	0.000	0.100	0.	1.000	-1245140E+17	-1215160E+17	***+*****	
FILE27 TTA	1.	100.000	100.000	0.	1.	1.	0.	0.	0.000	0.000	0.100	0.	1.000	-4050640E+12	0.	0.0000000	
FILE28	1.	100.000	100.000	0.	1.	1.	0.	0.	0.000	0.000	0.100	0.	1.000	-673521E+09	-673521E+09	***+*****	
FILE29	1.	100.000	100.000	0.	1.	1.	0.	0.	0.000	0.000	0.100	0.	1.000	-4197595E+17	-4197595E+10	***+*****	
FILE30	1.	100.000	100.000	0.	1.	1.	0.	0.	0.000	0.000	0.100	0.	1.000	-3497004E+17	-3497004E+17	***+*****	
FILE31 TTA	1.	100.000	100.000	0.	1.	1.	0.	0.	0.000	0.000	0.100	0.	1.000	-1590424E+15	-113624E+15	***+*****	
FILE32 TTA	1.	100.000	100.000	0.	1.	1.	0.	0.	0.000	0.000	0.100	0.	1.000	-1590424E+15	-113624E+15	***+*****	
FILE33	1.	100.000	100.000	0.	1.	1.	0.	0.	0.000	0.000	0.100	0.	1.000	-11204624E+15	-11204624E+15	***+*****	
FILE34 TTA	1.	100.000	100.000	0.	1.	1.	0.	0.	0.000	0.000	0.100	0.	1.000	-11204624E+15	-11204624E+15	***+*****	
FILE35	1.	100.000	100.000	0.	1.	1.	0.	0.	0.000	0.000	0.100	0.	1.000	-150564E+02	0.	0.0000000	
FILE36	1.	100.000	100.000	0.	1.	1.	0.	0.	0.000	0.000	0.100	0.	1.000	-3003947E+02	-4426733E-03	-0.11102723	
FILE37	1.	100.000	100.000	0.	1.	1.	0.	0.	0.000	0.000	0.100	0.	1.000	-190145E+02	-1911828E+03	-0.0368294	
FILE38	1.	100.000	100.000	0.	1.	1.	0.	0.	0.000	0.000	0.100	0.	1.000	-424410E+02	-173976E+03	-0.0768884	
FILE39 TTA	1.	100.000	100.000	0.	1.	1.	0.	0.	0.000	0.000	0.100	0.	1.000	-4505495E+02	-45149582E+11	0.0000000	
FILE40 TTA	1.	100.000	100.000	0.	1.	1.	0.	0.	0.000	0.000	0.100	0.	1.000	-4505495E+02	-45149582E+11	0.0000000	
FILE41	1.	100.000	100.000	0.	1.	1.	0.	0.	0.000	0.000	0.100	0.	1.000	-4505495E+02	-4643867E+05	0.0011383	
FILE42 TTA	1.	100.000	100.000	0.	1.	1.	0.	0.	0.000	0.000	0.100	0.	1.000	-41505640E+02	0.	0.0000000	
FILE43	1.	100.000	100.000	0.	1.	1.	0.	0.	0.000	0.000	0.100	0.	1.000	-4124659E+02	-2317181E-04	-0.0064118	
FILE44	1.	100.000	100.000	0.	1.	1.	0.	0.	0.000	0.000	0.100	0.	1.000	-4505495E+02	-5136945E+07	-0.0000134	
FILE45	1.	100.000	100.000	0.	1.	1.	0.	0.	0.000	0.000	0.100	0.	1.000	-4807010E+02	-2443367E+03	-0.0585537	
FILE46 TTA	1.	100.000	100.000	0.	1.	1.	0.	0.	0.000	0.000	0.100	0.	1.000	-4805040E+02	-1421085E+12	0.0000000	
FILE47 TTA	1.	100.000	100.000	0.	1.	1.	0.	0.	0.000	0.000	0.100	0.	1.000	-4505495E+02	-1431085E+12	0.0000000	
FILE48	1.	100.000	100.000	0.	1.	1.	0.	0.	0.000	0.000	0.100	0.	1.000	-415351E+02	-2317669E+05	0.0007104	
FILE49 TTA	1.	100.000	100.000	0.	1.	1.	0.	0.	0.000	0.000	0.100	0.	1.000	-41505640E+02	0.	0.0000000	

A	B	C	D	BL	CL	HL	ML	X0	Y0	Z0	W1	X1	Y1	E4	ER
EULER	1.	-100,000	100,000	0.	1.	1.	0.	0.0	0.000	0.001	0.001	25.	1,000	+12534147E+11	+1019542E+37
HEUN	1.	-100,000	100,000	0.	1.	1.	0.	0.0	0.000	0.001	0.001	25.	1,000	+1092855E+38	+104484801
TRIG	1.	-100,000	100,000	0.	1.	1.	0.	0.0	0.000	0.001	0.001	25.	1,000	+1163150E+27	+1019542E+37
RKF457KUTTA	1.	-100,000	100,000	0.	1.	1.	0.	0.0	0.000	0.001	0.001	25.	1,000	+1280271E+32	+1019529E+37
TRKF452	1.	-100,000	100,000	0.	1.	1.	0.	0.0	0.000	0.001	0.001	25.	1,000	+109271E+32	+1019529E+37
TERSKN	1.	-100,000	100,000	0.	1.	1.	0.	0.0	0.000	0.001	0.001	25.	1,000	+1197034E+36	+8748383E+36
AMALITICA	1.	-100,000	100,000	0.	1.	1.	0.	0.0	0.000	0.001	0.001	25.	1,000	+1019542E+37	0.
EULER	1.	-100,000	100,000	0.	1.	1.	0.	0.0	0.000	0.001	0.001	50.	1,000	+5133455E+17	+1019542E+37
HEUN	1.	-100,000	100,000	0.	1.	1.	0.	0.0	0.000	0.001	0.001	50.	1,000	+1744945E+17	+1744833E+41
TRIG	1.	-100,000	100,000	0.	1.	1.	0.	0.0	0.000	0.001	0.001	50.	1,000	+1165955E+33	+1193747E+37
RKF457KUTTA	1.	-100,000	100,000	0.	1.	1.	0.	0.0	0.000	0.001	0.001	50.	1,000	+7920267E+35	+9452156E+36
TRKF452	1.	-100,000	100,000	0.	1.	1.	0.	0.0	0.000	0.001	0.001	50.	1,000	+7502067E+35	+9452156E+36
TERSKN	1.	-100,000	100,000	0.	1.	1.	0.	0.0	0.000	0.001	0.001	50.	1,000	+7A21084E+34	+7719110E+38
AMALITICA	1.	-100,000	100,000	0.	1.	1.	0.	0.0	0.000	0.001	0.001	50.	1,000	+1n195n2E+37	0.
EULER	1.	-100,000	100,000	0.	1.	1.	0.	0.0	0.000	0.001	0.001	50.	1,000	+725357E+21	+1019542E+37
HEUN	1.	-100,000	100,000	0.	1.	1.	0.	0.0	0.000	0.001	0.001	50.	1,000	+1121657E+40	+1306100E+40
TRIG	1.	-100,000	100,000	0.	1.	1.	0.	0.0	0.000	0.001	0.001	50.	1,000	+226317E+35	+9932788E+36
RKF457KUTTA	1.	-100,000	100,000	0.	1.	1.	0.	0.0	0.000	0.001	0.001	50.	1,000	+5n42707E+16	+5122715E+36
TRKF452	1.	-100,000	100,000	0.	1.	1.	0.	0.0	0.000	0.001	0.001	50.	1,000	+5n42707E+16	+5122715E+36
TERSKN	1.	-100,000	100,000	0.	1.	1.	0.	0.0	0.000	0.001	0.001	50.	1,000	+453322F+18	+8434638E+38
AMALITICA	1.	-100,000	100,000	0.	1.	1.	0.0	0.0	0.000	0.001	0.001	50.	1,000	+1019542E+37	0.
EULER	1.	-100,000	100,000	0.	1.	1.	0.	0.0	0.000	0.010	0.001	10.	1,000	+2463437E+05	+1019542E+38
HEUN	1.	-100,000	100,000	0.	1.	1.	0.	0.0	0.000	0.010	0.001	10.	1,000	+6112845E+26	+1019542E+38
TRIG	1.	-100,000	100,000	0.	1.	1.	0.	0.0	0.000	0.010	0.001	10.	1,000	+3035336E+16	+1019542E+38
RKF457KUTTA	1.	-100,000	100,000	0.	1.	1.	0.	0.0	0.000	0.010	0.001	10.	1,000	+8976332E+22	+1019542E+38
TRKF452	1.	-100,000	100,000	0.	1.	1.	0.	0.0	0.000	0.010	0.001	10.	1,000	+8976332E+22	+1019542E+38
TERSKN	1.	-100,000	100,000	0.	1.	1.	0.	0.0	0.000	0.010	0.001	10.	1,000	+11252515E+27	+1019542E+38
AMALITICA	1.	-100,000	100,000	0.	1.	1.	0.	0.0	0.000	0.010	0.001	10.	1,000	+1019542E+18	0.
EULER	1.	-100,000	100,000	0.	1.	1.	0.	0.0	0.000	0.010	0.001	20.	1,000	+9215718E+10	+1019542E+38
HEUN	1.	-100,000	100,000	0.	1.	1.	0.	0.0	0.000	0.010	0.001	20.	1,000	+7124000E+16	+9932788E+37
TRIG	1.	-100,000	100,000	0.	1.	1.	0.	0.0	0.000	0.010	0.001	20.	1,000	+278512E+23	+1019542E+38
RKF457KUTTA	1.	-100,000	100,000	0.	1.	1.	0.	0.0	0.000	0.010	0.001	20.	1,000	+1151027E+31	+1019542E+38
TRKF452	1.	-100,000	100,000	0.	1.	1.	0.	0.0	0.000	0.010	0.001	20.	1,000	+1151027E+31	+1019542E+38
TERSKN	1.	-100,000	100,000	0.	1.	1.	0.	0.0	0.000	0.010	0.001	20.	1,000	+1883395E+15	+1017659E+38
AMALITICA	1.	-100,000	100,000	0.	1.	1.	0.	0.0	0.000	0.010	0.001	20.	1,000	+1019542E+38	0.
EULER	1.	-100,000	100,000	0.	1.	1.	0.	0.0	0.000	0.010	0.001	25.	1,000	+2534147E+12	+1019542E+38
HEUN	1.	-100,000	100,000	0.	1.	1.	0.	0.0	0.000	0.010	0.001	25.	1,000	+1092855E+39	+104484801
TRIG	1.	-100,000	100,000	0.	1.	1.	0.	0.0	0.000	0.010	0.001	25.	1,000	+113110E+29	+1019542E+38
RKF457KUTTA	1.	-100,000	100,000	0.	1.	1.	0.	0.0	0.000	0.010	0.001	25.	1,000	+1280271E+33	+1019529E+38
TRKF452	1.	-100,000	100,000	0.	1.	1.	0.	0.0	0.000	0.010	0.001	25.	1,000	+1280271E+33	+1019529E+38
TERSKN	1.	-100,000	100,000	0.	1.	1.	0.	0.0	0.000	0.010	0.001	25.	1,000	+1197034E+37	+8748383E+37
AMALITICA	1.	-100,000	100,000	0.	1.	1.	0.	0.0	0.000	0.010	0.001	25.	1,000	+1019542E+38	0.

	A	B	C	D	E	BL	CL	HL	HLL	X0	Y0	Z0	H1	X1	VII	EA	ER
EULER	1.	-100.000	100.000	0.	1.	1.	0.	0.	0.	0.000	0.010	1.010	50.	1.000	+1.93345E+18	+1.112542E+38	-1.0000000
HEUN	1.	-100.000	100.000	0.	1.	1.	0.	0.	0.	0.000	0.010	1.010	50.	1.000	+1.744883E+42	***+*****+*	
RUNGE	1.	-100.000	100.000	0.	1.	1.	0.	0.	0.	0.000	0.010	1.010	50.	1.000	+1.14595E+34	+1.14574E+38	-0.9998346
SULET-KUTTA	1.	-100.000	100.000	0.	1.	1.	0.	0.	0.	0.000	0.010	1.010	50.	1.000	+7.502052E+16	+9.145215E+37	-0.9264173
REKITA?	1.	-100.000	100.000	0.	1.	1.	0.	0.	0.	0.000	0.010	1.010	50.	1.000	+7.512052E+16	+9.145215E+37	-0.9264173
LENSON	1.	-100.000	100.000	0.	1.	1.	0.	0.	0.	0.000	0.010	1.010	50.	1.000	+7.821084E+39	+7.719130E+39	75.7117246
ANALITICA	1.	-100.000	100.000	0.	1.	1.	0.	0.	0.	0.000	0.010	1.010	50.	1.000	+1.019502E+18	0.	0.0000000
EULER	1.	-100.000	100.000	0.	1.	1.	0.	0.	0.	0.000	0.010	1.010	50.	1.000	+2.12535E+22	+1.111542E+38	-1.0000000
HEUN	1.	-100.000	100.000	0.	1.	1.	0.	0.	0.	0.000	0.010	1.010	50.	1.000	+1.120232E+41	***+*****+*	
RUNGE	1.	-100.000	100.000	0.	1.	1.	0.	0.	0.	0.000	0.010	1.010	50.	1.000	+2.426327E+16	+9.932788E+37	-0.9742400
SULET-KUTTA	1.	-100.000	100.000	0.	1.	1.	0.	0.	0.	0.000	0.010	1.010	50.	1.000	+5.042707E+17	+5.132715E+37	-0.503395n
REKITA?	1.	-100.000	100.000	0.	1.	1.	0.	0.	0.	0.000	0.010	1.010	50.	1.000	+5.042707E+17	+5.132715E+37	-0.503395n
LENSON	1.	-100.000	100.000	0.	1.	1.	0.	0.	0.	0.000	0.010	1.010	50.	1.000	+8.938392E+19	+1.143636E+39	82.7466268
ANALITICA	1.	-100.000	100.000	0.	1.	1.	0.	0.	0.	0.000	0.010	1.010	50.	1.000	+1.019502E+18	0.	0.0000000
EULER	1.	-100.000	100.000	0.	1.	1.	0.	0.	0.	0.000	0.001	1.010	10.	1.000	+2.170064E+07	+4.931230E+39	-1.0000000
HEUN	1.	-100.000	100.000	0.	1.	1.	0.	0.	0.	0.000	0.001	1.010	10.	1.000	+5.04855E+28	+8.931230E+39	-1.0000000
RUNGE	1.	-100.000	100.000	0.	1.	1.	0.	0.	0.	0.000	0.001	1.010	10.	1.000	+2.74659E+18	+8.931230E+39	-1.0000000
SULET-KUTTA	1.	-100.000	100.000	0.	1.	1.	0.	0.	0.	0.000	0.001	1.010	10.	1.000	+7.00732E+24	+8.931230E+39	-1.0000000
REKITA?	1.	-100.000	100.000	0.	1.	1.	0.	0.	0.	0.000	0.001	1.010	10.	1.000	+7.907324E+24	+8.931230E+39	-1.0000000
LENSON	1.	-100.000	100.000	0.	1.	1.	0.	0.	0.	0.000	0.001	1.010	10.	1.000	+9.718615E+28	+8.931230E+39	-1.0000000
ANALITICA	1.	-100.000	100.000	0.	1.	1.	0.	0.	0.	0.000	0.001	1.010	10.	1.000	+8.931230E+19	0.	0.0000000
EULER	1.	-100.000	100.000	0.	1.	1.	0.	0.	0.	0.000	0.001	1.010	20.	1.000	+2.832752E+12	+8.931230E+39	-1.0000000
HEUN	1.	-100.000	100.000	0.	1.	1.	0.	0.	0.	0.000	0.001	1.010	20.	1.000	+6.777139E+18	+8.931230E+39	-1.0000000
RUNGE	1.	-100.000	100.000	0.	1.	1.	0.	0.	0.	0.000	0.001	1.010	20.	1.000	+1.02945E+27	+8.931230E+39	-1.0000000
SULET-KUTTA	1.	-100.000	100.000	0.	1.	1.	0.	0.	0.	0.000	0.001	1.010	20.	1.000	+1.13997E+33	+8.931229E+39	-0.9999999
REKITA?	1.	-100.000	100.000	0.	1.	1.	0.	0.	0.	0.000	0.001	1.010	20.	1.000	+1.13997E+33	+8.931229E+39	-0.9999999
LENSON	1.	-100.000	100.000	0.	1.	1.	0.	0.	0.	0.000	0.001	1.010	20.	1.000	+1.65990E+37	+8.931230E+39	-0.9981527
ANALITICA	1.	-100.000	100.000	0.	1.	1.	0.	0.	0.	0.000	0.001	1.010	20.	1.000	+8.931230E+19	0.	0.0000000
EULER	1.	-100.000	100.000	0.	1.	1.	0.	0.	0.	0.000	0.001	1.010	25.	1.000	+2.932351E+14	+8.931230E+39	-1.0000000
HEUN	1.	-100.000	100.000	0.	1.	1.	0.	0.	0.	0.000	0.001	1.010	25.	1.000	+1.746713E+01	+1.533456E+41	18.4484797
RUNGE	1.	-100.000	100.000	0.	1.	1.	0.	0.	0.	0.000	0.001	1.010	25.	1.000	+8.034900E+29	+8.931230E+39	-1.0000000
SULET-KUTTA	1.	-100.000	100.000	0.	1.	1.	0.	0.	0.	0.000	0.001	1.010	25.	1.000	+1.127801E+35	+8.931111E+39	-0.99999974
REKITA?	1.	-100.000	100.000	0.	1.	1.	0.	0.	0.	0.000	0.001	1.010	25.	1.000	+1.127801E+35	+8.931111E+39	-0.99999974
LENSON	1.	-100.000	100.000	0.	1.	1.	0.	0.	0.	0.000	0.001	1.010	25.	1.000	+1.230663E+39	+8.931230E+39	-0.8629739
ANALITICA	1.	-100.000	100.000	0.	1.	1.	0.	0.	0.	0.000	0.001	1.010	25.	1.000	+8.931210E+39	0.	0.0000000
EULER	1.	-100.000	100.000	0.	1.	1.	0.	0.	0.	0.000	0.001	1.010	50.	1.000	+4.938293E+26	+8.931230E+39	-1.0000000
HEUN	1.	-100.000	100.000	0.	1.	1.	0.	0.	0.	0.000	0.001	1.010	50.	1.000	+1.537172E+44	+1.5371042L+44	***+*****+*
RUNGE	1.	-100.000	100.000	0.	1.	1.	0.	0.	0.	0.000	0.001	1.010	50.	1.000	+1.176075E+36	+8.931054E+39	-0.9998661
SULET-KUTTA	1.	-100.000	100.000	0.	1.	1.	0.	0.	0.	0.000	0.001	1.010	50.	1.000	+6.608634E+38	+8.930367E+39	-0.9864173
REKITA?	1.	-100.000	100.000	0.	1.	1.	0.	0.	0.	0.000	0.001	1.010	50.	1.000	+5.608634E+38	+8.930367E+39	-0.9864173
LENSON	1.	-100.000	100.000	0.	1.	1.	0.	0.	0.	0.000	0.001	1.010	50.	1.000	+6.608657E+41	+6.799844E+41	79.7117232
ANALITICA	1.	-100.000	100.000	0.	1.	1.	0.	0.	0.	0.000	0.001	1.010	50.	1.000	+9.901230E+39	0.	0.0000000

A	B	C	n	BL	CL	HL	LL	X0	Y0	Z0	H1	X1	Y1	EA	ER
EULER	1.	-100.000	100.000	n	1.	1.	0.	0.0	0.000	0.001	0.010	0.	1.000	+8743120E+24	+8241230E+19
HEUS	1.	-100.000	100.000	n	1.	1.	0.	0.0	0.000	0.001	0.010	0.	1.000	+1164259E+41	+1103361E+43
TRIG	1.	-100.000	100.000	n	1.	1.	0.	0.0	0.000	0.001	0.010	0.	1.000	+1037250E+39	+9789865
RK45 ¹ TTA	1.	-100.000	100.000	n	1.	1.	0.	0.0	0.000	0.001	0.010	0.	1.000	+442161E+39	+4539069E+39
RK45 ² TTA	1.	-100.000	100.000	n	1.	1.	0.	0.0	0.000	0.001	0.010	0.	1.000	+442151E+42	+4539069E+39
TRIG ¹ TTA	1.	-100.000	100.000	n	1.	1.	0.	0.0	0.000	0.001	0.010	0.	1.000	+7521177E+41	+7441665E+41
TRIG ² TTA	1.	-100.000	100.000	n	1.	1.	0.	0.0	0.000	0.001	0.010	0.	1.000	+8681230E+19	0.
<hr/>															
EULER	1.	-10.000	100.000	n	1.	1.	2.	0.0	0.000	0.010	0.001	10.	1.000	+21971162E+27	+913380E+19
HEUS	1.	-110.000	100.000	n	1.	1.	0.	0.0	0.000	0.010	0.001	10.	1.000	+5452097E+28	+113380E+19
TRIG	1.	-100.000	100.000	n	1.	1.	0.	0.0	0.000	0.010	0.001	10.	1.000	+2767978E+18	+113380E+19
RK45 ¹ TTA	1.	-100.000	100.000	n	1.	1.	0.	0.0	0.000	0.010	0.001	10.	1.000	+9060244E+24	+9193380E+19
RK45 ² TTA	1.	-100.000	100.000	n	1.	1.	0.	0.0	0.000	0.010	0.001	10.	1.000	+8106164E+24	+9193380E+19
TRIG ¹ TTA	1.	-100.000	100.000	n	1.	1.	0.	0.0	0.000	0.010	0.001	10.	1.000	+11004247E+29	+9193380E+19
TRIG ² TTA	1.	-100.000	100.000	n	1.	1.	0.	0.0	0.000	0.010	0.001	10.	1.000	+9093380E+19	0.
<hr/>															
EULER	1.	-100.000	100.000	n	1.	1.	3.	0.0	0.000	0.010	0.001	20.	1.000	+2460105E+12	+913380E+19
HEUS	1.	-100.000	100.000	n	1.	1.	0.	0.0	0.000	0.010	0.001	20.	1.000	+6156130E+10	+8457767E+39
TRIG	1.	-100.000	100.000	n	1.	1.	0.	0.0	0.000	0.010	0.001	20.	1.000	+1160683E+27	+9013380E+19
RK45 ¹ TTA	1.	-100.000	100.000	n	1.	1.	0.	0.0	0.000	0.010	0.001	20.	1.000	+1126599E+33	+9093379E+39
RK45 ² TTA	1.	-100.000	100.000	n	1.	1.	0.	0.0	0.000	0.010	0.001	20.	1.000	+1205593E+33	+9093379E+39
TRIG ¹ TTA	1.	-100.000	100.000	n	1.	1.	0.	0.0	0.000	0.010	0.001	20.	1.000	+1679800E+37	+9176532E+39
TRIG ² TTA	1.	-100.000	100.000	n	1.	1.	0.	0.0	0.000	0.010	0.001	20.	1.000	+3093380E+19	0.
<hr/>															
EULER	1.	-10.000	100.000	n	1.	1.	0.	0.0	0.000	0.010	0.001	25.	1.000	+2260227E+14	+913380E+19
HEUS	1.	-100.000	100.000	n	1.	1.	0.	0.0	0.000	0.010	0.001	25.	1.000	+1763524E+41	+1677590E+41
TRIG	1.	-100.000	100.000	n	1.	1.	0.	0.0	0.000	0.010	0.001	25.	1.000	+8162474E+29	+9013380E+19
RK45 ¹ TTA	1.	-100.000	100.000	n	1.	1.	0.	0.0	0.000	0.010	0.001	25.	1.000	+1141944E+35	+913266E+39
RK45 ² TTA	1.	-100.000	100.000	n	1.	1.	0.	0.0	0.000	0.010	0.001	25.	1.000	+1141944E+35	+913266E+39
TRIG ¹ TTA	1.	-100.000	100.000	n	1.	1.	0.	0.0	0.000	0.010	0.001	25.	1.000	+12456130E+39	+7347350E+39
TRIG ² TTA	1.	-100.000	100.000	n	1.	1.	0.	0.0	0.000	0.010	0.001	25.	1.000	+2193380E+19	0.
<hr/>															
EULER	1.	-100.000	100.000	n	1.	1.	0.	0.0	0.000	0.010	0.001	30.	1.000	+4756961E+26	+9013380E+19
HEUS	1.	-100.000	100.000	n	1.	1.	0.	0.0	0.000	0.010	0.001	30.	1.000	+1556367E+44	+1536276E+44
TRIG	1.	-100.000	100.000	n	1.	1.	0.	0.0	0.000	0.010	0.001	30.	1.000	+1194113E+36	+912185E+39
RK45 ¹ TTA	1.	-100.000	100.000	n	1.	1.	0.	0.0	0.000	0.010	0.001	30.	1.000	+6671157E+38	+9124264E+39
RK45 ² TTA	1.	-100.000	100.000	n	1.	1.	0.	0.0	0.000	0.010	0.001	30.	1.000	+6671157E+38	+9124264E+39
TRIG ¹ TTA	1.	-100.000	100.000	n	1.	1.	0.	0.0	0.000	0.010	0.001	30.	1.000	+6756468E+37	+6104755E+41
TRIG ² TTA	1.	-100.000	100.000	n	1.	1.	0.	0.0	0.000	0.010	0.001	30.	1.000	+9093380E+19	0.
<hr/>															
EULER	1.	-100.000	100.000	n	1.	1.	0.	0.0	0.000	0.010	0.001	35.	1.000	+4552500E+24	+9013380E+19
HEUS	1.	-100.000	100.000	n	1.	1.	0.	0.0	0.000	0.010	0.001	35.	1.000	+1178800E+43	+9013380E+19
TRIG	1.	-100.000	100.000	n	1.	1.	0.	0.0	0.000	0.010	0.001	35.	1.000	+1916159E+38	+9013380E+19
RK45 ¹ TTA	1.	-100.000	100.000	n	1.	1.	0.	0.0	0.000	0.010	0.001	35.	1.000	+4477431E+39	+455749E+39
RK45 ² TTA	1.	-100.000	100.000	n	1.	1.	0.	0.0	0.000	0.010	0.001	35.	1.000	+4477431E+39	+455749E+39
TRIG ¹ TTA	1.	-100.000	100.000	n	1.	1.	0.	0.0	0.000	0.010	0.001	35.	1.000	+7615931E+41	+7524465E+41
TRIG ² TTA	1.	-100.000	100.000	n	1.	1.	0.	0.0	0.000	0.010	0.001	35.	1.000	+9093380E+19	0.

$\text{EA} = -9291097E+01$ $\text{ER} = 0.000000$

	R	G	B	AL	Co	SL	LL	X0	Y0	Z0	WN	X1'	Y1'	WN	LA	ER
FL001	1	100.000	1.000	1	1	0	0	0.100	0.100	0.100	25.	1.000	.8530847E+04	.8530847E+04	*****	*****
FL002	1	100.000	1.000	1	1	0	0	0.0000	0.100	0.100	25.	1.000	.1135380E+31	.1135380E+31	*****	*****
FL003	1	100.000	1.000	1	1	0	0	0.0000	0.100	0.100	25.	1.000	.4270003E+16	.4270003E+16	*****	*****
FL004	1	100.000	1.000	1	1	0	0	0.0000	0.100	0.100	25.	1.000	.2976707E+15	.2976707E+15	*****	*****
FL005	1	100.000	1.000	1	1	0	0	0.0000	0.100	0.100	25.	1.000	.2272707E+15	.2272707E+15	*****	*****
FL006	1	100.000	1.000	1	1	0	0	0.0000	0.100	0.100	25.	1.000	.2471630E+08	.2471630E+08	*****	*****
FL007	1	100.000	1.000	1	1	0	0	0.0000	0.100	0.100	25.	1.000	.2471630E+08	.2471630E+08	*****	*****

ER

	R	C	D	BL	CL	VL	LL	X0	Y0	Z0	W0	X1	Y1	EA	ER
FOLK	-1.70000	-1.00000	-0.10000	-1.00000	-0.00000	-0.00000	-0.00000	-0.00000	-0.00000	-0.00000	-0.00000	-1.00000	-1.00000	-1230703E-09	-0.0000000
HEDIN	-0.00000	-1.00000	-1.00000	-0.00000	-0.00000	-0.00000	-0.00000	-0.00000	-0.00000	-0.00000	-0.00000	-1.00000	-1.00000	-1311900E-12	-0.0000000
HUNGE	-1.00000	-1.00000	-1.00000	-1.00000	-0.00000	-0.00000	-0.00000	-0.00000	-0.00000	-0.00000	-0.00000	-2544454E-02	-5088905E-03	-0.0000000	
KALM	-1.00000	-1.00000	-1.00000	-1.00000	-0.00000	-0.00000	-0.00000	-0.00000	-0.00000	-0.00000	-0.00000	-1.00000	-1.00000	-4544747E-12	-0.0000000
PERMITTER	-1.00000	-1.00000	-1.00000	-1.00000	-0.00000	-0.00000	-0.00000	-0.00000	-0.00000	-0.00000	-0.00000	-1.00000	-1.00000	-1984305E-2	-0.0000000
PLAT	-1.00000	-1.00000	-1.00000	-1.00000	-0.00000	-0.00000	-0.00000	-0.00000	-0.00000	-0.00000	-0.00000	-1.00000	-1.00000	-1984305E-2	-0.0000000
PLATE	-1.00000	-1.00000	-1.00000	-1.00000	-0.00000	-0.00000	-0.00000	-0.00000	-0.00000	-0.00000	-0.00000	-1.00000	-1.00000	-1370495E-07	-0.0000001
PLATES	-1.00000	-1.00000	-1.00000	-1.00000	-0.00000	-0.00000	-0.00000	-0.00000	-0.00000	-0.00000	-0.00000	-1.00000	-1.00000	-1920395E-2	-0.0000000

		R	E	PL	PL+	%	Y%						
COLENTIN	1	100	0	1	0	0.0	0.000	0.010	0.100	10	1.000	-334870021+07	*334870021+07
HEMIS	1	100	0	1	0	0.0	0.000	0.010	0.100	10	1.000	-131921171+29	*-131921171+29
BRIDGE	1	100	0	1	0	0.0	0.000	0.010	0.100	10	1.000	-791597654+17	*-791597654+17
PUNGO-KUTA	1	100	0	1	0	0.0	0.000	0.010	0.100	10	1.000	-43408535422	*-43408535422
WITTAZ	1	100	0	1	0	0.0	0.000	0.010	0.100	10	1.000	-43408535422	*-43408535422
CONGO	1	100	0	1	0	0.0	0.000	0.010	0.100	10	1.000	-992999999+29	*-992999999+29
ANALITICA	1	100	0	1	0	0.0	0.000	0.010	0.100	10	1.000	-13191731-01	*-13191731-01
												0.0000000	

	A	B	C	D	BL	CL	WL	WLL	x_0	y_0	z_0	WN	XN	YN	EA	FP
EULER	1.	1.000	10.000	0.	1.	1.	1.	1.0	0.000	0.010	0.010	10.	1.000	$-1015757E-01$	$-5616396E-02$	$1.236771e$
HEUNS	1.	1.000	10.000	0.	1.	1.	1.	1.0	0.000	0.010	0.010	10.	1.000	$-4685146E-02$	$-1440083E-03$	0.0317117
RUNGE	1.	1.000	10.000	0.	1.	1.	1.	1.0	0.000	0.010	0.010	10.	1.000	$-4622149E-02$	$-8097615E-04$	0.0178319
RUNGE-KUTTA	1.	1.000	10.000	0.	1.	1.	1.	1.0	0.000	0.010	0.010	10.	1.000	$-4575306E-02$	$-3412440E-04$	0.0075184
R-KUTTA2	1.	1.000	10.000	0.	1.	1.	1.	1.0	0.000	0.010	0.010	10.	1.000	$-4575307E-02$	$-3492160E-04$	0.0075388
MERSON	1.	1.000	10.000	0.	1.	1.	1.	1.0	0.000	0.010	0.010	10.	1.000	$-3919949E-02$	$-5491862E-03$	1.2026346
ANALITICA	1.	1.000	10.000	0.	1.	1.	1.	1.0	0.000	0.010	0.010	10.	1.000	$-4541175E-02$	0.	$0.000L000$

	A	B	C	D	BL	CL	WL	WLL	x_0	y_0	z_0	WN	XN	YN	EA	FP
EULER	1.	1.000	10.000	0.	1.	1.	1.	1.0	0.000	0.010	0.010	20.	1.000	$-7885494E-02$	$-3344448E-02$	0.7366719
HEUNS	1.	1.000	10.000	0.	1.	1.	1.	1.0	0.000	0.010	0.010	20.	1.000	$-4598446E-02$	$-5751012E-04$	0.0126641
RUNGE	1.	1.000	10.000	0.	1.	1.	1.	1.0	0.000	0.010	0.010	20.	1.000	$-3699243E-02$	$-8419125E-03$	0.1453953
RUNGE-KUTTA	1.	1.000	10.000	0.	1.	1.	1.	1.0	0.000	0.010	0.010	20.	1.000	$-4572966E-02$	$-3140267E-04$	0.0076482
R-KUTTA2	1.	1.000	10.000	0.	1.	1.	1.	1.0	0.000	0.010	0.010	20.	1.000	$-4572944E-02$	$-3140881E-04$	0.0076488
MERSON	1.	1.000	10.000	0.	1.	1.	1.	1.0	0.000	0.010	0.010	20.	1.000	$-4268689E-02$	$-2549468E-03$	0.0056531
ANALITICA	1.	1.000	10.000	0.	1.	1.	1.	1.0	0.000	0.010	0.010	20.	1.000	$-4541175E-02$	0.	$0.000L000$

	A	B	C	D	BL	CL	WL	WLL	x_0	y_0	z_0	WN	XN	YN	EA	FP
EULER	1.	1.000	10.000	0.	1.	1.	1.	1.0	0.000	0.010	0.010	25.	1.000	$-7475946E-02$	$-2034610E-02$	0.6862666
HEUNS	1.	1.000	10.000	0.	1.	1.	1.	1.0	0.000	0.010	0.010	25.	1.000	$-4599174E-02$	$-4799023E-04$	0.0105696
RUNGE	1.	1.000	10.000	0.	1.	1.	1.	1.0	0.000	0.010	0.010	25.	1.000	$-3818197E-02$	$-102937RF-02$	-25256279
RUNGE-KUTTA	1.	1.000	10.000	0.	1.	1.	1.	1.0	0.000	0.010	0.010	25.	1.000	$-4572875E-02$	$-3149967E-04$	0.0066605
R-KUTTA2	1.	1.000	10.000	0.	1.	1.	1.	1.0	0.000	0.010	0.010	25.	1.000	$-4572878E-02$	$-3170219E-04$	0.0066611
MERSON	1.	1.000	10.000	0.	1.	1.	1.	1.0	0.000	0.010	0.010	25.	1.000	$-4344356E-02$	$-1968502E-03$	0.00433479
ANALITICA	1.	1.000	10.000	0.	1.	1.	1.	1.0	0.000	0.010	0.010	25.	1.000	$-4541175E-02$	0.	$0.000L000$

	A	B	C	D	BL	CL	WL	WLL	x_0	y_0	z_0	WN	XN	YN	EA	FP
EULFR	1.	1.000	10.000	0.	1.	1.	1.	1.0	0.000	0.010	0.010	30.	1.000	$-6707797E-02$	$-2166704E-02$	0.4771240
HEUNS	1.	1.000	10.000	0.	1.	1.	1.	1.0	0.000	0.010	0.010	30.	1.000	$-4576884E-02$	$-3565240E-04$	0.0072509
RUNGE	1.	1.000	10.000	0.	1.	1.	1.	1.0	0.000	0.010	0.010	30.	1.000	$-3174956E-02$	$-1364475E-02$	-30051115
RUNGE-KUTTA	1.	1.000	10.000	0.	1.	1.	1.	1.0	0.000	0.010	0.010	30.	1.000	$-4578806E-02$	$-3163069E-04$	0.0066653
R-KUTTA2	1.	1.000	10.000	0.	1.	1.	1.	1.0	0.000	0.010	0.010	30.	1.000	$-4572886E-02$	$-3183085E-04$	0.0066653
MERSON	1.	1.000	10.000	0.	1.	1.	1.	1.0	0.000	0.010	0.010	30.	1.000	$-4458993E-02$	$-822523RF-04$	0.0181126
ANALITICA	1.	1.000	10.000	0.	1.	1.	1.	1.0	0.000	0.010	0.010	30.	1.000	$-4541175E-02$	0.	$0.000L000$

	A	B	C	D	BL	CL	WL	WLL	x_0	y_0	z_0	WN	XN	YN	EA	FP
EULER	1.	1.000	10.000	0.	1.	1.	1.	1.0	0.000	0.010	0.010	80.	1.000	$-6427840E-02$	$-1808454E-02$	0.64171131
HEUNS	1.	1.000	10.000	0.	1.	1.	1.	1.0	0.000	0.010	0.010	80.	1.000	$-4574349E-02$	$-3319338E-04$	0.0073094
RUNGE	1.	1.000	10.000	0.	1.	1.	1.	1.0	0.000	0.010	0.010	80.	1.000	$-3062702E-02$	$-14783R3E-02$	-323525508
RUNGE-KUTTA	1.	1.000	10.000	0.	1.	1.	1.	1.0	0.000	0.010	0.010	80.	1.000	$-4572802E-02$	$-3162266E-04$	0.0066644
R-KUTTA2	1.	1.000	10.000	0.	1.	1.	1.	1.0	0.000	0.010	0.010	80.	1.000	$-4572802E-02$	$-3168869E-04$	0.0066644
MERSON	1.	1.000	10.000	0.	1.	1.	1.	1.0	0.000	0.010	0.010	80.	1.000	$-4591660E-02$	$-3948521E-04$	-0.0081949
ANALITICA	1.	1.000	10.000	0.	1.	1.	1.	1.0	0.000	0.010	0.010	80.	1.000	$-4541175E-02$	0.	$0.000L000$

	A	B	C	D	BL	CL	WL	WLL	x_0	y_0	z_0	WN	XN	YN	EA	FP
EULER	1.	1.000	10.000	0.	1.	1.	1.	1.0	0.000	0.001	0.010	10.	1.000	$-1113779E-02$	$-1716189E-05$	0.0015433
HEUNS	1.	1.000	10.000	0.	1.	1.	1.	1.0	0.000	0.001	0.010	10.	1.000	$-1082046E-02$	$-3000483E-04$	-0.0256814
RUNGE	1.	1.000	10.000	0.	1.	1.	1.	1.0	0.000	0.001	0.010	10.	1.000	$-1119543E-02$	$-2044691E-03$	0.1438641
RUNGE-KUTTA	1.	1.000	10.000	0.	1.	1.	1.	1.0	0.000	0.001	0.010	10.	1.000	$-1107779E-02$	$-4344015E-05$	-0.0303970
R-KUTTA2	1.	1.000	10.000	0.	1.	1.	1.	1.0	0.000	0.001	0.010	10.	1.000	$-1107772E-02$	$-4331080E-05$	-0.0303954
MERSON	1.	1.000	10.000	0.	1.	1.	1.	1.0	0.000	0.001	0.010	10.	1.000	$-1104992E-02$	$-9715172E-04$	-0.0081924
ANALITICA	1.	1.000	10.000	0.	1.	1.	1.	1.0	0.000	0.001	0.010	10.	1.000	$-1112044E-02$	0.	$0.000L000$

	A	B	C	D	BL	CL	WL	WLL	x_0	y_0	z_0	WN	XN	YN	EA	FP
EULFR	1.	1.000	10.000	0.	1.	1.	1.	1.0	0.000	0.001	0.010	20.	1.000	$-8846496E-03$	$-2874012E-04$	-0.2521721

```

RUNGE   1.  1.000  10.000 0. 1. 1. 1. 1. 0. 0.000  0.001  0.010  20. 1.000 +1.157948E+02 -4.458446E-04  0.077142
RUNGE-KUTTA 1.  1.000  10.000 0. 1. 1. 1. 1. 0. 0.000  0.001  0.010  20. 1.000 +1.107742E+02 +4.92081E-05  0.0036596
RKUTTA2 1.  1.000  10.000 0. 1. 1. 1. 1. 0. 0.000  0.001  0.010  20. 1.000 +1.107743E+02 +4.92081E-05  0.0036587
HERSON 1.  1.000  10.000 0. 1. 1. 1. 1. 0. 0.000  0.001  0.010  20. 1.000 +1.044394E+02 +4.770392E-04  0.0426771
ANALITICA 1.  1.000  10.000 0. 1. 1. 1. 1. 0. 0.000  0.001  0.010  20. 1.000 +1.12244E+02 0. 0.000000000

```

	A	B	C	D	BL	CL	ML	MLL	X0	TC	Z0	MN	MN	YN	EA	EP
FULER	-1.	1.000	10.000	0.	-1.	1.	1.	1.0	0.000	0.001	0.010	25.	4.000	*+80161913E-09	+248600RE-03	+0.27501013
HEUNG	1.	1.000	10.000	0.3	1.	1.	1.	1.0	0.000	0.001	0.010	25.	1.000	*+103866E-02	+814790PF-05	+0.0073454
RUNGE	1.	1.000	10.000	0.	1.	1.	1.	1.0	0.000	0.001	0.010	25.	1.000	*+113087E-02	+510030CE-04	+0.0051530
RUNGE-KUTTA	1.	1.000	10.000	0.	-1.	1.	1.	1.0	0.000	0.001	0.010	25.	1.000	*+107757E-02	+429966AE-05	+0.0031637
R-KUTTA	1.	1.000	10.000	0.	1.	1.	1.	1.0	0.000	0.001	0.010	25.	1.000	*+107757E-02	+429626AE-05	+0.0031634
MERSON	1.	1.000	10.000	0.	1.	1.	1.	1.0	0.000	0.001	0.010	25.	1.000	*+073446E-02	+3480545E-04	+0.00347154
ANABIT-TT04	1.	1.000	10.000	0.	-1.	1.	1.	1.0	0.000	0.001	0.010	25.	1.000	*+112844E-02	+00000000	+0.00000000

	A	B	C	D	JL	CL	HL	WLL	X0	Y0	Z0	MN	XN	YN	E4	ER
EULER	1.	1.000	10.000	0.	1.	1.	1.	1.0	0.000	0.001	0.010	50.	1.000	-1.688796E-03	-1.625333E-03	-1.63P24756
HEUNS	1.	1.000	10.000	0.	1.	1.	1.	1.0	0.000	0.001	0.010	50.	1.000	-1.166769E-02	-1.296320E-05	-0.0047429
BUNGE	1.	1.000	10.000	0.	1.	1.	1.	1.0	0.000	0.001	0.018	50.	1.000	-1.08094E-02	-2.110037E-04	-1.0186739
FUNGE-KUTTA 1.	1.	1.000	10.000	0.	1.	1.	1.	1.0	0.000	0.001	0.010	50.	1.000	-1.107793E-02	-4.301070E-05	-0.0038677
R-KUTTAP	1.	1.000	10.000	0.	1.	1.	1.	1.0	0.000	0.001	0.010	50.	1.000	-1.107793E-02	-4.301044E-05	-0.0038677
NERSON	1.	1.000	10.000	0.	1.	1.	1.	1.0	0.000	0.001	0.010	50.	1.000	-1.098868E-02	-2.106632E-04	-0.0185436
ANALITICA	1.	1.000	10.000	0.	1.	1.	1.	1.0	0.000	0.001	0.010	50.	1.000	-1.11204E-02	-0.000000E+00	-0.000000E+00

	A	B	C	D	BL	CL	WL	WLL	X0	Y0	Z0	MN	YN	YN	EA	FR
EULER	1.	1.000	10.000	0.	1.	1.	1.	1.00	0.000	0.001	0.010	80.	1.000	-64617774E-03	4702767E-03	0.4226401
HEUNS	1.	1.008	10.000	0.	1.	1.	1.	1.00	0.000	0.001	0.010	80.	1.000	-1107377E-02	4677109E-05	0.0001458
RUNGE	1.	1.000	10.000	0.	1.	1.	1.	1.00	0.000	0.001	0.010	80.	1.000	-1084948E-02	4768632E-04	0.0024803
RUNGE-KUTTA	1.	1.000	10.000	0.	1.	1.	1.	1.00	0.000	0.001	0.010	80.	1.000	-1107743E-02	4301414E-05	0.0003686
R-KUTTAZ	1.	1.000	10.000	0.	1.	1.	1.	1.00	0.000	0.001	0.010	80.	1.000	-1107743E-02	4301414E-05	0.0003686
MERSON	1.	1.000	104.000	0.	1.	1.	1.	1.00	0.000	0.001	0.010	80.	1.000	-1107743E-02	1469518E-04	0.0132445
ANALITICA	1.	1.000	104.000	0.	1.	1.	1.	1.00	0.000	0.001	0.010	80.	1.000	-1112044E-02	0.	0.0001000

A	B	C	D	DL	EL	WL	WLL	X0	Y0	Z0	W4	WN	YN	EA	FR	
EULER	1.	1.000	10.000	0	1*	1	1	1.0	0.000	0.010	0.001	1.0	1.000	-4105946E-01	-6176320E-02	4.5005473
HEUNS	1.	1.000	10.000	0	1*	1	1	1.0	0.000	0.010	0.001	1.0	1.000	-4071643E-02	-1844139E-03	0.0485198
RUNGE	1.	1.000	10.000	0	1*	1	1	1.0	0.000	0.010	0.001	1.0	1.000	-3767949E-02	-1154153E-02	0.0297414
RUNGE-KUTTA	1.	1.000	10.000	0	1*	1	1	1.0	0.000	0.010	0.001	1.0	1.000	-3392511E-02	-4180165E-04	0.0107652
R-KUTTA2	1.	1.000	10.000	0	1*	1	1	1.0	0.000	0.010	0.001	1.0	1.000	-3025218E-02	-8177564E-04	0.0106849
MERSON	1.	1.000	10.000	0	1*	1	1	1.0	0.000	0.010	0.001	1.0	1.000	-3376246E-02	.5089531E-03	0.1105490
ANALITICA	1.	1.000	10.000	0	1*	1	1	1.0	0.000	0.010	0.001	1.0	1.000	-3388395E-02	-1000000E-02	0.0000000

A	E	C	D	BL	CL	WL	WLL	XQ	YQ	ZQ	MN	XN	ZN	EA	IP	
EULER	1.	1.000	10.000	0.	1.	1.	1.	1.0	0.000	0.010	0.001	20.	1.000	+0.709513E-02	+396294E-02	1.0116675
HEUNS	1.	1.000	10.000	0.	1.	1.	1.	1.0	0.000	0.010	0.001	20.	1.000	+3050P47E-02	+736048E-04	1.0165554
RUNGE	1.	1.000	10.000	0.	1.	1.	1.	1.0	0.000	0.010	0.001	20.	1.000	+202121E-02	+101148E-04	+2065936
RUNGE-KUTTA	1.	1.000	10.000	0.	1.	1.	1.	1.0	0.000	0.010	0.001	20.	1.000	+3922514E-02	+3927500E-04	1.0101140
R-KUTTA2	1.	1.000	10.000	0.	1.	1.	1.	1.0	0.000	0.010	0.001	20.	1.000	+392250E-02	+3928080E-04	1.0101135
HERSON	1.	1.000	10.000	0.	1.	1.	1.	1.0	0.000	0.010	0.001	20.	1.000	+3850941E-02	+2322976E-03	1.0101135
ANALYST TM	1.	1.000	10.000	0.	1.	1.	1.	1.0	0.000	0.010	0.001	20.	1.000	+3850941E-02	+0.59246	

A	B	C	D	BL	CL	ML	MLL	X0	Y0	Z0	WN	XN	YN	EA	FR	
EULER	1.	1.000	10.000	0.	1.	1.	1.	1.00	0.000	0.10	0.001	23.	1.000	-17417301E-02	.3534152E-02	.9101042
HEUNS	1.	1.000	10.000	0.	1.	1.	1.	1.00	0.000	0.10	0.001	23.	1.000	-12844150E-02	.6095505E-02	0.156972
RUNGE	1.	1.000	10.000	0.	1.	1.	1.	1.00	0.000	0.010	0.001	23.	1.000	-8703440E-02	.1179574E-02	0.43037417
RUNGE-KUTTA	1.	1.000	10.000	0.	1.	1.	1.	1.00	0.000	0.010	0.001	23.	1.000	-3922445E-02	.2616632E-04	0.010486
R-KUTTA2	1.	1.000	10.000	0.	1.	1.	1.	1.00	0.000	0.010	0.001	23.	1.000	-12822440E-02	.3916869E-04	1.101042

HEUNS	1.	1.000	10.000	0,	1+	1+	1+	1+	0	0.000	0.010	0.100	10.	1.000	-1.1052049E-01	.3000483E+03	-0.02864014
FUNGE	1.	1.000	10.000	0,	1+	1+	1+	1+	0	0.000	0.010	0.100	10.	1.000	-1.1316943E-01	-2.0448910E-02	0.01836841
RUNGE-KUTTA	1.	1.000	10.000	0,	1+	1+	1+	1+	0	0.000	0.010	0.100	10.	1.000	-1.1107749E-01	-4.344815E-02	-0.00366676
MERSON	1.	1.000	10.000	0,	1+	1+	1+	1+	0	0.000	0.010	0.100	10.	1.000	-1.1107749E-01	-4.333180E-02	-0.00365984
ANALITICA	1.	1.000	10.000	0,	1+	1+	1+	1+	0	0.000	0.010	0.100	10.	1.000	-1.1112044E-01	-9.71817PE-03	-0.00587324
																0.00000000	

	A	B	C	D	BL	CL	WL	WLL	X0	Y0	Z0	MN	XN	YN	EA	ER	
EULER	1.	1.000	10.000	0,	1+	1+	1+	1+	0	0.000	0.010	0.100	20.	1.000	-0.8446528E-02	-0.474012E-03	-0.02224723
HEUNS	1.	1.000	10.000	0,	1+	1+	1+	1+	0	0.000	0.010	0.100	20.	1.000	-1.1101749E-01	-1.034799E-03	-0.00939447
RUNGE	1.	1.000	10.000	0,	1+	1+	1+	1+	0	0.000	0.010	0.100	20.	1.000	-1.119748E-01	-0.4828467E-03	0.0771948
RUNGE-KUTTA	1.	1.000	10.000	0,	1+	1+	1+	1+	0	0.000	0.010	0.100	20.	1.000	-1.1107748E-01	-4.2922041E-04	-0.00365996
R-KUTTA2	1.	1.000	10.000	0,	1+	1+	1+	1+	0	0.000	0.010	0.100	20.	1.000	-1.1107748E-01	-4.091111E-04	-0.00365887
MERSON	1.	1.000	10.000	0,	1+	1+	1+	1+	0	0.000	0.010	0.100	20.	1.000	-1.1084249E-01	-4.7703982E-03	-0.00426771
ANALITICA	1.	1.000	10.000	0,	1+	1+	1+	1+	0	0.000	0.010	0.100	20.	1.000	-1.1112044E-01	0.	0.00000000

	A	B	C	D	BL	CL	WL	WLL	X0	Y0	Z0	MN	XN	YN	EA	ER	
EULER	1.	1.000	10.000	0,	1+	1+	1+	1+	0	0.000	0.010	0.100	25.	1.000	-0.861913E-02	-2.0586608E-02	-0.02751613
HEUNS	1.	1.000	10.000	0,	1+	1+	1+	1+	0	0.000	0.010	0.100	25.	1.000	-1.1152791E-01	-0.4400732439	0.0456388
RUNGE	1.	1.000	10.000	0,	1+	1+	1+	1+	0	0.000	0.010	0.100	25.	1.000	-1.1163047E-01	-0.4107030E-03	0.0456388
RUNGE-KUTTA	1.	1.000	10.000	0,	1+	1+	1+	1+	0	0.000	0.010	0.100	25.	1.000	-1.1107749E-01	-4.7906688E-04	-0.00365837
R-KUTTA2	1.	1.000	10.000	0,	1+	1+	1+	1+	0	0.000	0.010	0.100	25.	1.000	-1.1107749E-01	-4.8860548E-04	-0.00365834
MERSON	1.	1.000	10.000	0,	1+	1+	1+	1+	0	0.000	0.010	0.100	25.	1.000	-1.1073446E-01	-3.8860548E-03	-0.00347154
ANALITICA	1.	1.000	10.000	0,	1+	1+	1+	1+	0	0.000	0.010	0.100	25.	1.000	-1.1112044E-01	0.	0.00000000

	A	B	C	D	BL	CL	WL	WLL	X0	Y0	Z0	MN	XN	YN	EA	ER	
EULER	1.	1.000	10.000	0,	1+	1+	1+	1+	0	0.000	0.010	0.100	30.	1.000	-0.8482333E-02	-0.3823278E-03	-0.02864014
HEUNS	1.	1.000	10.000	0,	1+	1+	1+	1+	0	0.000	0.010	0.100	30.	1.000	-1.1106741E-01	-0.2624205E-04	-0.00484858
RUNGE	1.	1.000	10.000	0,	1+	1+	1+	1+	0	0.000	0.010	0.100	30.	1.000	-1.1090942E-01	-0.2110003E-03	0.0186739
RUNGE-KUTTA	1.	1.000	10.000	0,	1+	1+	1+	1+	0	0.000	0.010	0.100	30.	1.000	-1.1107748E-01	-0.4301127E-04	-0.00365877
R-KUTTA2	1.	1.000	10.000	0,	1+	1+	1+	1+	0	0.000	0.010	0.100	30.	1.000	-1.1107748E-01	-0.4301124E-04	-0.00365877
MERSON	1.	1.000	10.000	0,	1+	1+	1+	1+	0	0.000	0.010	0.100	30.	1.000	-1.1090942E-01	-0.1666399E-03	0.0186436
ANALITICA	1.	1.000	10.000	0,	1+	1+	1+	1+	0	0.000	0.010	0.100	30.	1.000	-1.1112044E-01	0.	0.00000000

	A	B	C	D	BL	CL	WL	WLL	X0	Y0	Z0	MN	XN	YN	EA	ER	
EULER	1.	1.000	10.000	0,	1+	1+	1+	1+	0	0.000	0.010	0.100	40.	1.000	-0.8017791E-02	-0.4702747E-02	-0.02864014
HEUNS	1.	1.000	10.000	0,	1+	1+	1+	1+	0	0.000	0.010	0.100	40.	1.000	-1.1107748E-01	-0.4877169E-04	-0.00484858
RUNGE	1.	1.000	10.000	0,	1+	1+	1+	1+	0	0.000	0.010	0.100	40.	1.000	-1.1107748E-01	-0.4249839E-03	-0.00426701
RUNGE-KUTTA	1.	1.000	10.000	0,	1+	1+	1+	1+	0	0.000	0.010	0.100	40.	1.000	-1.1107748E-01	-0.4301414E-04	-0.00365860
R-KUTTA2	1.	1.000	10.000	0,	1+	1+	1+	1+	0	0.000	0.010	0.100	40.	1.000	-1.1107748E-01	-0.4301410E-04	-0.00365860
MERSON	1.	1.000	10.000	0,	1+	1+	1+	1+	0	0.000	0.010	0.100	40.	1.000	-1.1073446E-01	-0.1669518E-03	-0.010132165
ANALITICA	1.	1.000	10.000	0,	1+	1+	1+	1+	0	0.000	0.010	0.100	40.	1.000	-1.1112044E-01	0.	0.00000000

	A	B	C	D	BL	CL	WL	WLL	X0	Y0	Z0	MN	XN	YN	EA	ER	
EULER	1.	1.000	10.000	0,	1+	1+	1+	1+	0	0.000	0.010	0.100	50.	1.000	-0.1004976E+00	-0.4232312E-01	-0.016325871
HEUNS	1.	1.000	10.000	0,	1+	1+	1+	1+	0	0.000	0.010	0.100	50.	1.000	-1.1041030E-01	-0.43882345E-02	-0.028505193
RUNGE	1.	1.000	10.000	0,	1+	1+	1+	1+	0	0.000	0.010	0.100	50.	1.000	-0.3688236E-01	-0.1359544E-02	-0.003953742
RUNGE-KUTTA	1.	1.000	10.000	0,	1+	1+	1+	1+	0	0.000	0.010	0.100	50.	1.000	-1.1086091E-01	-0.4221104E-03	-0.01111743
R-KUTTA2	1.	1.000	10.000	0,	1+	1+	1+	1+	0	0.000	0.010	0.100	50.	1.000	-1.1086091E-01	-0.4221104E-03	-0.01111743
MERSON	1.	1.000	10.000	0,	1+	1+	1+	1+	0	0.000	0.010	0.100	50.	1.000	-1.10314715E-01	-0.5097298E-02	-0.01316987
ANALITICA	1.	1.000	10.000	0,	1+	1+	1+	1+	0	0.000	0.010	0.100	50.	1.000	-1.1017445E-01	0.	0.00000000

	A	B	C	D	BL	CL	WL	WLL	X0	Y0	Z0	MN	XN	YN	EA	ER	
EULER	1.	1.000	10.000	0,	1+	1+	1+	1+	0	0.000	0.010	0.100	20.	1.000	-1.1280193E-01	-0.4398478E-01	-0.016327854
HEUNS	1.	1.000	10.000	0,	1+	1+	1+	1+	0	0.000	0.010	0.100	20.	1.000	-0.7521824E-01	-0.4721824E-03	-0.016327854
FUNGE	1.	1.000	10.000	0,	1+	1+	1+	1+	0	0.000	0.010	0.100	20.	1.000	-0.7521824E-01	-0.4721824E-03	-0.016327854

	A	B	C	D	BL	CL	NL	WLL	x0	y0	z0	MN	XN	YN	EA	EP
HERSON	1.	1.000	10.000	0.	1.	1.	1.	1.0	0.000	0.100	0.001	20.	1.000	-3387373E-01	2300726E-02	0.0000000
ANALITICA	1.	1.000	10.000	0.	1.	1.	1.	1.0	0.000	0.100	0.001	20.	1.000	-3817445E-01	0.	0.0000000

	A	B	C	D	BL	CL	NL	WLL	x0	y0	z0	MN	XN	YN	EA	EP
EULER	1.	1.000	10.000	0.	1.	1.	1.	1.0	0.000	0.100	0.001	25.	1.000	-7411931E-01	399986E-01	0.9410899
HEUNS	1.	1.000	10.000	0.	1.	1.	1.	1.0	0.000	0.100	0.001	25.	1.000	-4387687E-01	3999172E-01	0.0103072
RUNGE	1.	1.000	10.000	0.	1.	1.	1.	1.0	0.000	0.100	0.001	25.	1.000	-2622946E-01	3999172E-01	0.310207
RUNGE-KUTTA	1.	1.000	10.000	0.	1.	1.	1.	1.0	0.000	0.100	0.001	25.	1.000	-2887194E-01	3999129E-01	0.0104554
R-KUTTA2	1.	1.000	10.000	0.	1.	1.	1.	1.0	0.000	0.100	0.001	25.	1.000	-3857341E-01	3999132E-01	0.0104560
HERSON	1.	1.000	10.000	0.	1.	1.	1.	1.0	0.000	0.100	0.001	25.	1.000	-3641448E-01	3760328E-01	0.01044140
ANALITICA	1.	1.000	10.000	0.	1.	1.	1.	1.0	0.000	0.100	0.001	25.	1.000	-3817445E-01	0.	0.0000000

	A	B	C	D	BL	CL	NL	WLL	x0	y0	z0	MN	XN	YN	EA	EP
EULER	1.	1.000	10.000	0.	1.	1.	1.	1.0	0.000	0.100	0.001	50.	1.000	-6680342E-01	287280AE-01	6.7525735
HEUNS	1.	1.000	10.000	0.	1.	1.	1.	1.0	0.000	0.100	0.001	50.	1.000	-384280AE-01	4536346E-03	0.0116433
RUNGE	1.	1.000	10.000	0.	1.	1.	1.	1.0	0.000	0.100	0.001	50.	1.000	-98259AE-01	1895179E-01	0.1907871
RUNGE-KUTTA	1.	1.000	10.000	0.	1.	1.	1.	1.0	0.000	0.100	0.001	50.	1.000	-2887194E-01	3994194E-03	0.0104384
R-KUTTA2	1.	1.000	10.000	0.	1.	1.	1.	1.0	0.000	0.100	0.001	50.	1.000	-3857341E-01	43984139E-03	0.0104387
HERSON	1.	1.000	10.000	0.	1.	1.	1.	1.0	0.000	0.100	0.001	50.	1.000	-374931AE-01	6812710E-03	0.0176463
ANALITICA	1.	1.000	10.000	0.	1.	1.	1.	1.0	0.000	0.100	0.001	50.	1.000	-3817445E-01	0.	0.0000000

	A	B	C	D	BL	CL	NL	WLL	x0	y0	z0	MN	XN	YN	EA	EP
EULER	1.	1.000	10.000	0.	1.	1.	1.	1.0	0.000	0.100	0.001	80.	1.000	-46438914E-01	2422340E-01	0.8866433
HEUNS	1.	1.000	10.000	0.	1.	1.	1.	1.0	0.000	0.100	0.001	80.	1.000	-3857341E-01	4108845E-03	0.0106994
RUNGE	1.	1.000	10.000	0.	1.	1.	1.	1.0	0.000	0.100	0.001	80.	1.000	-222890E-01	158850AE-01	0.4181263
RUNGE-KUTTA	1.	1.000	10.000	0.	1.	1.	1.	1.0	0.000	0.100	0.001	80.	1.000	-385732AE-01	38373715E-03	0.0104250
R-KUTTA2	1.	1.000	10.000	0.	1.	1.	1.	1.0	0.000	0.100	0.001	80.	1.000	-3857341E-01	3991718E-03	0.0104286
HERSON	1.	1.000	10.000	0.	1.	1.	1.	1.0	0.000	0.100	0.001	80.	1.000	-378971AE-01	8763388E-03	0.0072447
ANALITICA	1.	1.000	10.000	0.	1.	1.	1.	1.0	0.000	0.100	0.001	80.	1.000	-3817445E-01	0.	0.0000000

	A	B	C	D	BL	CL	NL	WLL	x0	y0	z0	MN	XN	YN	EA	EP
EULER	1.	1.000	10.000	0.	1.	1.	1.	1.0	0.000	0.100	0.010	10.	1.000	-1018719E-01	541830E-02	1.8367715
HEUNS	1.	1.000	10.000	0.	1.	1.	1.	1.0	0.000	0.100	0.010	10.	1.000	-468510AE-02	1440083E-03	0.0317117
RUNGE	1.	1.000	10.000	0.	1.	1.	1.	1.0	0.000	0.100	0.010	10.	1.000	-482219AE-02	8057619E-04	0.0126415
RUNGE-KUTTA	1.	1.000	10.000	0.	1.	1.	1.	1.0	0.000	0.100	0.010	10.	1.000	-457538E-02	3412440E-04	0.0075184
R-KUTTA2	1.	1.000	10.000	0.	1.	1.	1.	1.0	0.000	0.100	0.010	10.	1.000	-457530E-02	3422160E-04	0.0075358
HERSON	1.	1.000	10.000	0.	1.	1.	1.	1.0	0.000	0.100	0.010	10.	1.000	-39919AE-02	5810182E-03	0.1201348
ANALITICA	1.	1.000	10.000	0.	1.	1.	1.	1.0	0.000	0.100	0.010	10.	1.000	-4941195E-02	0.	0.0000000

	A	B	C	D	BL	CL	NL	WLL	x0	y0	z0	MN	XN	YN	EA	EP
EULER	1.	1.000	10.000	0.	1.	1.	1.	1.0	0.000	0.100	0.010	20.	1.000	-7885624E-02	334444AE-02	0.7364719
HEUNS	1.	1.000	10.000	0.	1.	1.	1.	1.0	0.000	0.100	0.010	20.	1.000	-458864E-02	5751012E-04	0.0126401
RUNGE	1.	1.000	10.000	0.	1.	1.	1.	1.0	0.000	0.100	0.010	20.	1.000	-359973AE-02	8419195E-03	0.1853593
RUNGE-KUTTA	1.	1.000	10.000	0.	1.	1.	1.	1.0	0.000	0.100	0.010	20.	1.000	-457267AE-02	3140881E-04	0.0075132
R-KUTTA2	1.	1.000	10.000	0.	1.	1.	1.	1.0	0.000	0.100	0.010	20.	1.000	-457267AE-02	3140881E-04	0.0075145
HERSON	1.	1.000	10.000	0.	1.	1.	1.	1.0	0.000	0.100	0.010	20.	1.000	-4280679E-02	2345468E-03	0.00561531
ANALITICA	1.	1.000	10.000	0.	1.	1.	1.	1.0	0.000	0.100	0.010	20.	1.000	-4541195E-02	0.	0.0000000

	A	B	C	D	BL	CL	NL	WLL	x0	y0	z0	MN	XN	YN	EA	EP
EULER	1.	1.000	10.000	0.	1.	1.	1.	1.0	0.000	0.100	0.010	25.	1.000	-742594AE-02	2934810E-02	0.6462086
HEUNS	1.	1.000	10.000	0.	1.	1.	1.	1.0	0.000	0.100	0.010	25.	1.000	-4589719E-02	4799823E-04	0.0105696
RUNGE	1.	1.000	10.000	0.	1.	1.	1.	1.0	0.000	0.100	0.010	25.	1.000	-3519176E-02	1025978E-02	0.0255279
RUNGE-KUTTA	1.	1.000	10.000	0.	1.	1.	1.	1.0	0.000	0.100	0.010	25.	1.000	-4572675E-02	3170219E-04	0.0066005
R-KUTTA2	1.	1.000	10.000	0.	1.	1.	1.	1.0	0.000	0.100	0.010	25.	1.000	-4572675E-02	3170219E-04	0.006601811
HERSON	1.	1.000	10.000	0.	1.	1.	1.	1.0	0.000	0.100	0.010	25.	1.000	-4344929E-02	1048302E-03	0.00433479
ANALITICA	1.	1.000	10.000	0.	1.	1.	1.	1.0	0.000	0.100	0.010	25.	1.000	-4541173E-02	0.	0.0000000

PUNGE-PUTTA	1.	100.000	1.000 0. 1. 1. 1. 1. 1.0	0.000	0.010	0.100	10. 1.000	-3072155E+29	-3072155E+29	*****
KEPSON	1.	100.000	1.000 0. 1. 1. 1. 1. 1.0	0.000	0.010	0.100	10. 1.000	-1142496E+34	-1142496E+34	*****
ANALITICA	1.	100.000	1.000 0. 1. 1. 1. 1. 1.0	0.000	0.010	0.100	10. 1.000	.2258317E+15	0.	0.0000000

A	B	C	D	BL	CL	HL	HLL	X0	Y0	Z0	WN	XN	YN	EA	ER
EULER	1.	100.000	1.000 0. 1. 1. 1. 1. 1.0	0.000	0.010	0.100	20. 1.000	-1078082E+10	-2258328E+15	-1.0000000					
HEUNS	1.	100.000	1.000 0. 1. 1. 1. 1. 1.0	0.000	0.010	0.100	20. 1.000	-1328111E+47	-1328111E+47	*****					
RUNGE	1.	100.000	1.000 0. 1. 1. 1. 1. 1.0	0.000	0.010	0.100	20. 1.000	-1450209E+38	-1450209E+38	*****					
MILNE	1.	100.050	1.000 0. 1. 1. 1. 1. 1.0	0.000	0.010	0.100	20. 1.000	-1240794E+08	-2258317E+15	-1.0000000					
RUNGE-PUTTA	1.	100.000	1.000 0. 1. 1. 1. 1. 1.0	0.000	0.010	0.100	20. 1.000	-2059062E+35	-2059062E+35	*****					
MRSON	1.	100.000	1.000 0. 1. 1. 1. 1. 1.0	0.000	0.010	0.100	20. 1.000	-6642666E+36	-6642666E+36	*****					
ANALITICA	1.	100.000	1.000 0. 1. 1. 1. 1. 1.0	0.000	0.010	0.100	20. 1.000	.2258317E+15	0.	0.0000000					

A	B	C	D	BL	CL	HL	HLL	X0	Y0	Z0	WN	XN	YN	EA	ER
EULER	1.	100.000	1.000 0. 1. 1. 1. 1. 1.0	0.000	0.010	0.100	35. 1.000	-2557219E+07	-2258317E+15	-1.0000000					
HEUNS	1.	100.000	1.000 0. 1. 1. 1. 1. 1.0	0.000	0.010	0.100	35. 1.000	-2976812E+47	-2976812E+47	*****					
RUNGE	1.	100.000	1.000 0. 1. 1. 1. 1. 1.0	0.000	0.010	0.100	35. 1.000	-4116370E+38	-4116370E+38	*****					
MILNE	1.	100.000	1.000 0. 1. 1. 1. 1. 1.0	0.000	0.010	0.100	35. 1.000	-1958759E+08	-2258317E+15	-99999999					
PUNGE-PUTTA	1.	100.000	1.000 0. 1. 1. 1. 1. 1.0	0.000	0.010	0.100	35. 1.000	-3070516E+25	-3070516E+25	*****					
MRSON	1.	100.000	1.000 0. 1. 1. 1. 1. 1.0	0.000	0.010	0.100	35. 1.000	.1159237E+17	.1159237E+17	50.331904E+17					
ANALITICA	1.	100.000	1.000 0. 1. 1. 1. 1. 1.0	0.000	0.010	0.100	35. 1.000	.2258317E+15	0.	0.0000000					

A	B	C	D	BL	CL	HL	HLL	X0	Y0	Z0	WN	XN	YN	EA	ER
EULER	1.	100.000	1.000 0. 1. 1. 1. 1. 1.0	0.000	0.010	0.100	50. 1.000	.9900479E+02	-2258317E+15	-1.0000000					
HEUNS	1.	100.000	1.000 0. 1. 1. 1. 1. 1.0	0.000	0.010	0.100	50. 1.000	.3904692E+38	.3904692E+38	*****					
RUNGE	1.	100.000	1.000 0. 1. 1. 1. 1. 1.0	0.000	0.010	0.100	50. 1.000	.4974801E+29	.4974801E+29	*****					
MILNE	1.	100.000	1.000 0. 1. 1. 1. 1. 1.0	0.000	0.010	0.100	50. 1.000	.3122145E+09	-2258320E+15	-1.0000014					
PUNGE-PUTTA	1.	100.000	1.000 0. 1. 1. 1. 1. 1.0	0.000	0.010	0.100	50. 1.000	.7642133E+03	-2258317E+15	-1.0000000					
MRSON	1.	100.000	1.000 0. 1. 1. 1. 1. 1.0	0.000	0.010	0.100	50. 1.000	.1086959E+01	-2258317E+15	-1.0000000					
ANALITICA	1.	100.000	1.000 0. 1. 1. 1. 1. 1.0	0.000	0.010	0.100	50. 1.000	.2258317E+15	0.	0.0000000					

A	B	C	D	BL	CL	HL	HLL	X0	Y0	Z0	WN	XN	YN	EA	ER
EULER	1.	100.000	1.000 0. 1. 1. 1. 1. 1.0	0.000	0.010	0.100	70. 1.000	.1089172E+01	-2258317E+15	-1.0000000					
HEUNS	1.	100.000	1.000 0. 1. 1. 1. 1. 1.0	0.000	0.010	0.100	70. 1.000	.2082928E+06	-2258317E+15	-1.0000000					
RUNGE	1.	100.000	1.000 0. 1. 1. 1. 1. 1.0	0.000	0.010	0.100	70. 1.000	.1214324E+03	-2258317E+15	-1.0000000					
MILNE	1.	100.000	1.000 0. 1. 1. 1. 1. 1.0	0.000	0.010	0.100	70. 1.000	.6943357E+11	-2258317E+15	-1.0000075					
PUNGE-PUTTA	1.	100.000	1.000 0. 1. 1. 1. 1. 1.0	0.000	0.010	0.100	70. 1.000	.1088211E+01	-2258317E+15	-1.0000000					
MRSON	1.	100.000	1.000 0. 1. 1. 1. 1. 1.0	0.000	0.010	0.100	70. 1.000	.1087158E+01	-2258317E+15	-1.0000000					
ANALITICA	1.	100.000	1.000 0. 1. 1. 1. 1. 1.0	0.000	0.010	0.100	70. 1.000	.2258317E+15	0.	0.0000000					

A	B	C	D	BL	CL	HL	HLL	X0	Y0	Z0	WN	XN	YN	EA	ER
EULER	1.	100.000	1.000 0. 1. 1. 1. 1. 1.0	0.000	0.010	0.100	100. 1.000	.1089172E+01	-2258317E+15	-1.0000000					
HEUNS	1.	100.000	1.000 0. 1. 1. 1. 1. 1.0	0.000	0.010	0.100	100. 1.000	.1088403E+01	-2258317E+15	-1.0000000					
RUNGE	1.	100.000	1.000 0. 1. 1. 1. 1. 1.0	0.000	0.010	0.100	100. 1.000	.1137140E+07	-2258317E+15	-1.0000000					
MILNE	1.	100.000	1.000 0. 1. 1. 1. 1. 1.0	0.000	0.010	0.100	100. 1.000	.1369361E+15	.3627677E+15	-1.8063635					
PUNGE-PUTTA	1.	100.000	1.000 0. 1. 1. 1. 1. 1.0	0.000	0.010	0.100	100. 1.000	.1088210E+01	.2258317E+15	-1.0000000					
MRSON	1.	100.000	1.000 0. 1. 1. 1. 1. 1.0	0.000	0.010	0.100	100. 1.000	.1089404E+01	-2258317E+15	-1.0000000					
ANALITICA	1.	100.000	1.000 0. 1. 1. 1. 1. 1.0	0.000	0.010	0.100	100. 1.000	.2258317E+15	0.	0.0000000					

A	B	C	D	BL	CL	HL	HLL	X0	Y0	Z0	WN	XN	YN	EA	ER
EULER	1.	100.000	1.000 0. 1. 1. 1. 1. 1.0	0.000	0.010	0.100	10. 1.000	.6967556E+05	.4512349E+13	-1.0000000					
HEUNS	1.	100.000	1.000 0. 1. 1. 1. 1. 1.0	0.000	0.010	0.100	10. 1.000	.2545534E+33	.12545534E+33	*****					
RUNGE	1.	100.000	1.000 0. 1. 1. 1. 1. 1.0	0.000	0.010	0.100	10. 1.000	.1727816E+23	.1727816E+23	*****					
MILNE	1.	100.000	1.000 0. 1. 1. 1. 1. 1.0	0.000	0.010	0.100	10. 1.000	.6160846E+07	.4512355E+13	-1.0000014					

	A	B	C	D	BL	CL	HL	WLL	X0	Y0	Z0	W1	X1	TN	E4	ER
EULER	1.	1.000	100.000	0	0	0	0	0	0.000	0.001	0.010	20.	1.000	-6.660145E-02	-9.009595E-02	6.9717719
HEUNIS	1.	1.000	100.000	0	0	0	0	0	0.000	0.001	0.010	20.	1.000	-5.019224E-03	-5.205795E-04	-0.00000073
RUNGE	1.	1.000	100.000	0	0	0	0	0	0.000	0.001	0.010	20.	1.000	-5.091294E-03	-4.453595E-04	5.0316379
TRIE	1.	1.000	100.000	0	0	0	0	0	0.000	0.001	0.010	20.	1.000	-3.663489E-01	-3.977371E-01	35.104855
RUNGE-KUTTA	1.	1.000	100.000	0	0	0	0	0	0.000	0.001	0.010	20.	1.000	-8.513093E-03	-1.000000E-03	-0.0028180
MERSON	1.	1.000	100.000	0	0	0	0	0	0.000	0.001	0.010	20.	1.000	-6.376837E-03	-9.223687E-03	-0.00282293
ANALITICA	1.	1.000	100.000	0	0	0	0	0	0.000	0.001	0.010	20.	1.000	-4.531584E-03	0.	0.0000000

	A	B	C	D	BL	CL	HL	WLL	X0	Y0	Z0	W1	X1	TN	E4	ER
EULER	1.	1.000	100.000	0	0	0	0	0	0.000	0.001	0.010	35.	1.000	-3.339948E-02	-2.966689E-02	8.9145491
HEUNIS	1.	1.000	100.000	0	0	0	0	0	0.000	0.001	0.010	35.	1.000	-3.344593E-03	-3.344593E-03	-0.0000000
RUNGE	1.	1.000	100.000	0	0	0	0	0	0.000	0.001	0.010	35.	1.000	-1.030977E-02	-1.177880E-03	0.3083617
MILNE	1.	1.000	100.000	0	0	0	0	0	0.000	0.001	0.010	35.	1.000	-1.270357E-03	-1.147818E-03	1.074944707
RUNGE-KUTTA	1.	1.000	100.000	0	0	0	0	0	0.000	0.001	0.010	35.	1.000	-5.530729E-03	-1.147818E-03	20.0001353
MERSON	1.	1.000	100.000	0	0	0	0	0	0.000	0.001	0.010	35.	1.000	-7.248694E-03	-1.248900E-03	26.1904667
ANALITICA	1.	1.000	100.000	0	0	0	0	0	0.000	0.001	0.010	35.	1.000	-4.531584E-03	0.	0.0000000

	A	B	C	D	BL	CL	HL	WLL	X0	Y0	Z0	W1	X1	TN	E4	ER
EULER	1.	1.000	100.000	0	0	0	0	0	0.000	0.001	0.010	35.	1.000	-2.287433E-02	-1.174244E-02	1.0810408
HEUNIS	1.	1.000	100.000	0	0	0	0	0	0.000	0.001	0.010	35.	1.000	-5.597799E-03	-3.485724E-03	-0.0000039
RUNGE	1.	1.000	100.000	0	0	0	0	0	0.000	0.001	0.010	35.	1.000	-1.007983E-02	-1.124794E-03	0.1614308
MILNE	1.	1.000	100.000	0	0	0	0	0	0.000	0.001	0.010	35.	1.000	-3.825900E-01	-4.454591E-01	5.3927181
RUNGE-KUTTA	1.	1.000	100.000	0	0	0	0	0	0.000	0.001	0.010	35.	1.000	-5.531699E-03	-1.32879E-07	-0.0000027
MERSON	1.	1.000	100.000	0	0	0	0	0	0.000	0.001	0.010	35.	1.000	-7.615273E-03	-1.946111E-04	-0.1074336
ANALITICA	1.	1.000	100.000	0	0	0	0	0	0.000	0.001	0.010	35.	1.000	-4.531584E-03	0.	0.0000000

	A	B	C	D	BL	CL	HL	WLL	X0	Y0	Z0	W1	X1	TN	E4	ER
EULER	1.	1.000	100.000	0	0	0	0	0	0.000	0.001	0.010	70.	1.000	-1.743030E-02	-8.901044E-03	1.0431631
HEUNIS	1.	1.000	100.000	0	0	0	0	0	0.000	0.001	0.010	70.	1.000	-8.515392E-03	-1.102813E-03	-0.00108814
RUNGE	1.	1.000	100.000	0	0	0	0	0	0.000	0.001	0.010	70.	1.000	-1.0721853E-03	-1.149989E-03	0.1398732
MILNE	1.	1.000	100.000	0	0	0	0	0	0.000	0.001	0.010	70.	1.000	-6.8161994E-02	-7.719589E-02	-8.0032019
RUNGE-KUTTA	1.	1.000	100.000	0	0	0	0	0	0.000	0.001	0.010	70.	1.000	-1.8931848E-03	-1.371792E-03	-0.00000042
MERSON	1.	1.000	100.000	0	0	0	0	0	0.000	0.001	0.010	70.	1.000	-7.0677019E-04	-1.0510285E-04	-0.00778172
ANALITICA	1.	1.000	100.000	0	0	0	0	0	0.000	0.001	0.010	70.	1.000	-4.531584E-03	0.	0.0000000

	A	B	C	D	BL	CL	HL	WLL	X0	Y0	Z0	W1	X1	TN	E4	ER
EULER	1.	1.000	100.000	0	0	0	0	0	0.000	0.010	0.001	10.	1.000	-4.687231E-01	-1.1433978E-01	7.0031006
HEUNIS	1.	1.000	100.000	0	0	0	0	0	0.000	0.010	0.001	10.	1.000	-4.928722E-02	-1.472289E-02	-0.1985152
RUNGE	1.	1.000	100.000	0	0	0	0	0	0.000	0.010	0.001	10.	1.000	-1.040339E-02	-4.320151E-02	-0.0113743
MILNE	1.	1.000	100.000	0	0	0	0	0	0.000	0.010	0.001	10.	1.000	-3.234629E-01	-3.4141384E-01	-5.7500752
RUNGE-KUTTA	1.	1.000	100.000	0	0	0	0	0	0.000	0.010	0.001	10.	1.000	-3.966693E-02	-5.792299E-04	-0.0108512
MERSON	1.	1.000	100.000	0	0	0	0	0	0.000	0.010	0.001	10.	1.000	-2.931912E-02	-2.798674E-02	-0.0088938
ANALITICA	1.	1.000	100.000	0	0	0	0	0	0.000	0.010	0.001	10.	1.000	-5.324484E-02	0.	0.0000000

	A	B	C	D	BL	CL	HL	WLL	X0	Y0	Z0	W1	X1	TN	E4	ER
EULER	1.	1.000	100.000	0	0	0	0	0	0.000	0.010	0.001	20.	1.000	-6.0201904E-01	-1.9507456E-01	10.0478922
HEUNIS	1.	1.000	100.000	0	0	0	0	0	0.000	0.010	0.001	20.	1.000	-6.038404E-02	-1.713722E-03	-0.1340029
RUNGE	1.	1.000	100.000	0	0	0	0	0	0.000	0.010	0.001	20.	1.000	-7.9867242E-02	-1.8023338E-02	-0.4964493
MILNE	1.	1.000	100.000	0	0	0	0	0	0.000	0.010	0.001	20.	1.000	-5.419441E-01	-1.5747689E-01	-0.0000000
RUNGE-KUTTA	1.	1.000	100.000	0	0	0	0	0	0.000	0.010	0.001	20.	1.000	-5.3353544E-02	-1.1035873E-04	-0.0019831
MERSON	1.	1.000	100.000	0	0	0	0	0	0.000	0.010	0.001	20.	1.000	-3.9897975E-02	-1.20511E-02	-0.2491342
ANALITICA	1.	1.000	100.000	0	0	0	0	0	0.000	0.010	0.001	20.	1.000	-5.324484E-02	0.	0.0000000

	A	B	C	D	BL	CL	HL	NLL	X0	Y0	Z0	H1	X1	Y1	E4	ER
EULER	1.	1.000	100.000	0°	J.	0°	0°	0.0	0.000	0.010	J.001	35.	1.000	-2301119E-01	-0.168742E-01	3.3219016
HEUNS	1.	1.000	100.000	0°	J.	0°	0°	0.0	0.000	0.010	J.001	35.	1.000	-5575481E-02	-0.2309451E-03	0.0471397
RUNDE	1.	1.000	100.000	0°	J.	0°	0°	0.0	0.000	0.010	J.001	35.	1.000	-7450838E-02	-0.2526352E-02	0.0499878
WILHE	1.	1.000	100.000	0°	J.	0°	0°	0.0	0.000	0.010	J.001	35.	1.000	-2515756E-01	-0.3485293E-01	-5.7248805
RUNDE-KUITA	1.	1.000	100.000	0°	J.	0°	0°	0.0	0.000	0.010	J.001	35.	1.000	-5324184E-02	-0.1979478E-03	0.0000154
VERSON	1.	1.000	100.000	2°	J.	0°	0°	0.0	0.000	0.010	J.001	35.	1.000	-4556498E-02	-0.799879E-03	0.1445357
ANALITICA	1.	1.000	100.000	0°	J.	0°	0°	0.0	0.000	0.010	J.001	35.	1.000	-5324484E-02	0.	0.0000000

	A	B	C	D	BL	CL	HL	NLL	X0	Y0	Z0	H1	X1	Y1	E4	ER
EULER	1.	1.000	100.000	0°	J.	0°	0°	0.0	0.000	0.010	J.001	50.	1.000	-1464539E-01	-0.9229418E-02	1.7521788
HEUNS	1.	1.000	100.000	0°	J.	0°	0°	0.0	0.000	0.010	J.001	50.	1.000	-5447980E-02	-0.1443934E-02	0.0231767
RUNDE	1.	1.000	100.000	0°	J.	0°	0°	0.0	0.000	0.010	J.001	50.	1.000	-6806324E-02	-0.1581642E-02	0.2730371
WILHE	1.	1.000	100.000	0°	J.	0°	0°	0.0	0.000	0.010	J.001	50.	1.000	-7267733E-01	-0.720978E-00	*****
RUNDE-KUITA	1.	1.000	100.000	2°	J.	0°	0°	0.0	0.000	0.010	J.001	50.	1.000	-5324938E-02	-0.1217904E-06	0.0000089
VERSON	1.	1.000	100.000	0°	J.	0°	0°	0.0	0.000	0.010	J.001	50.	1.000	-4781214E-02	-0.432785E-03	0.1620329
ANALITICA	1.	1.000	100.000	0°	J.	0°	0°	0.0	0.000	0.010	J.001	50.	1.000	-5324484E-02	0.	0.0000000

	A	B	C	D	BL	CL	HL	NLL	X0	Y0	Z0	H1	X1	Y1	E4	ER
EULER	1.	1.000	100.000	0°	J.	0°	0°	0.0	0.000	0.010	J.001	70.	1.000	-1048987E-01	-0.5244185E-02	1.0375057
HEUNS	1.	1.000	100.000	0°	J.	0°	0°	0.0	0.000	0.010	J.001	70.	1.000	-5387470E-02	-0.6491864E-04	0.0118168
RUNDE	1.	1.000	100.000	0°	J.	0°	0°	0.0	0.000	0.010	J.001	70.	1.000	-6333484E-02	-0.115978E-02	0.1849977
WILHE	1.	1.000	100.000	0°	J.	0°	0°	0.0	0.000	0.010	J.001	70.	1.000	-4112544E+00	-0.42998E+00	76.322235
RUNDE-KUITA	1.	1.000	100.000	0°	J.	0°	0°	0.0	0.000	0.010	J.001	70.	1.000	-5324612E-02	-0.1560272E-06	0.0000236
VERSON	1.	1.000	100.000	0°	J.	0°	0°	0.0	0.000	0.010	J.001	70.	1.000	-4934398E-02	-0.303804E-03	0.0733198
ANALITICA	1.	1.000	100.000	0°	J.	0°	0°	0.0	0.000	0.010	J.001	70.	1.000	-5324484E-02	0.	0.0000000

	A	B	C	D	BL	CL	HL	NLL	X0	Y0	Z0	H1	X1	Y1	E4	ER
EULER	1.	1.000	100.000	0°	J.	0°	0°	0.0	0.000	0.100	J.100	10.	1.000	-2525373E+00	-1.163767E+00	3.4966932
HEUNS	1.	1.000	100.000	0°	J.	0°	0°	0.0	0.000	0.100	J.100	10.	1.000	-3910644E-01	-1.05424E-01	0.03036687
RUNDE	1.	1.000	100.000	0°	J.	0°	0°	0.0	0.000	0.100	J.100	10.	1.000	-2622890E-02	-0.5223780E-01	-0.9532949
WILHE	1.	1.000	100.000	0°	J.	0°	0°	0.0	0.000	0.100	J.100	10.	1.000	-3389108E-01	-0.311349E-01	34.848096
RUNDE-KUITA	1.	1.000	100.000	0°	J.	0°	0°	0.0	0.000	0.100	J.100	10.	1.000	-5512312E-01	-0.155358E-02	-0.0184748
VERSON	1.	1.000	100.000	0°	J.	0°	0°	0.0	0.000	0.100	J.100	10.	1.000	-2892924E-01	-0.226143E-01	-0.0047063
ANALITICA	1.	1.000	100.000	0°	J.	0°	0°	0.0	0.000	0.100	J.100	10.	1.000	-5816068E-01	0.	0.0000000

	A	B	C	D	BL	CL	HL	NLL	X0	Y0	Z0	H1	X1	Y1	E4	ER
EULER	1.	1.000	100.000	0°	J.	0°	0°	0.0	0.000	0.100	J.100	35.	1.000	-2395814E+00	-0.543774E+00	10.0849881
HEUNS	1.	1.000	100.000	0°	J.	0°	0°	0.0	0.000	0.100	J.100	35.	1.000	-5838431E-01	-0.2403834E-02	0.0392380
RUNDE	1.	1.000	100.000	0°	J.	0°	0°	0.0	0.000	0.100	J.100	35.	1.000	-7730104E-01	-0.219465E-01	0.3778348
WILHE	1.	1.000	100.000	0°	J.	0°	0°	0.0	0.000	0.100	J.100	35.	1.000	-9261748E-01	-0.5997982E+00	15.4912342
RUNDE-KUITA	1.	1.000	100.000	0°	J.	0°	0°	0.0	0.000	0.100	J.100	35.	1.000	-5617490E-01	-0.121684E-04	0.00002332
VERSON	1.	1.000	100.000	0°	J.	0°	0°	0.0	0.000	0.100	J.100	35.	1.000	-4799432E-01	-0.108153E-02	0.1434070
ANALITICA	1.	1.000	100.000	0°	J.	0°	0°	0.0	0.000	0.100	J.100	35.	1.000	-5916068E-01	0.	0.0000000

	A	B	C	D	BL	CL	HL	NLL	X0	Y0	Z0	H1	X1	Y1	E4	ER
EULER	1.	1.000	100.000	0°	J.	0°	0°	0.0	0.000	0.100	J.100	35.	1.000	-2395814E+00	-0.543774E+00	3.2656428
HEUNS	1.	1.000	100.000	0°	J.	0°	0°	0.0	0.000	0.100	J.100	35.	1.000	-5838431E-01	-0.2403834E-02	0.0392380
RUNDE	1.	1.000	100.000	0°	J.	0°	0°	0.0	0.000	0.100	J.100	35.	1.000	-7730104E-01	-0.219465E-01	0.3778348
WILHE	1.	1.000	100.000	0°	J.	0°	0°	0.0	0.000	0.100	J.100	35.	1.000	-9261748E-01	-0.5997982E+00	15.4912342
RUNDE-KUITA	1.	1.000	100.000	0°	J.	0°	0°	0.0	0.000	0.100	J.100	35.	1.000	-5617490E-01	-0.121684E-04	0.00002332
VERSON	1.	1.000	100.000	0°	J.	0°	0°	0.0	0.000	0.100	J.100	35.	1.000	-4799432E-01	-0.108153E-02	0.1434070
ANALITICA	1.	1.000	100.000	0°	J.	0°	0°	0.0	0.000	0.100	J.100	35.	1.000	-5916068E-01	0.	0.0000000